

МИНИСТЕРСТВО ГЕОЛОГИИ СССР
МИНИСТЕРСТВО ГЕОЛОГИИ РСФСР
ДАЛЬНЕВОСТОЧНОЕ ГЕОЛОГИЧЕСКОЕ УПРАВЛЕНИЕ

ЭКЗ. № 100

ГЕОЛОГИЧЕСКАЯ
КАРТА СССР

масштаба 1:200000

Серия Нижне-Амурская

Лист М-53-VI

Объяснительная записка

Составитель Н. К. Осипова
Редактор А. И. Савченко

Утверждено Научно-редакционным советом ВСЕГЕИ 9 января 1964 г.



ИЗДАТЕЛЬСТВО «НЕДРА»
МОСКВА 1970

ВВЕДЕНИЕ

Территория листа М-53-VI расположена по левобережью р. Амура к северу от г. Комсомольска-на-Амуре, в верховьях рек Боктора и Харпина, левых притоков р. Горина, и ограничена координатами $51^{\circ}20' - 52^{\circ}00'$ с. ш. и $137^{\circ}00' - 138^{\circ}00'$ в. д. По административному делению она входит в префектуру Комсомольского и, частично, Ульчского районов Хабаровского края РСФСР.

Рельеф большей части рассматриваемой территории представляет собой плоскогорье, переходящее по правобережью р. Боктора в резко расчлененное среднегорье.

В юго-юго-западном направлении через всю территорию листа протягиваются три хребта, являющиеся водоразделами рек Эвура — Харпичикана, Харпичикана — Харпина, Харпина — Боктора. Поверхности хребтов имеют округлые слаженные очертания. Выражены они цепочками куполовидных возвышенностей, разделенных неглубокими широкими седловинами. Слоны их пологие вогнутые, постепенно переходящие в широкие заболоченные аллювиальные равнины с абсолютными отметками 50—330 м. В юго-восточной, наиболее возвышенной, части площади листа располагается горный массив, являющийся водоразделом р. Лимури и левых притоков р. Боктора. Состоит он из цепи конусовидных возвышенностей с крутыми выпуклыми склонами, разделенных узкими глубокими седловинами. Абсолютные отметки вершин здесь колеблются от 750 до 1417 м, а относительные превышения составляют 300—850 м.

Широко развитая речная сеть относится к бассейну р. Амура. Наиболее крупными реками являются Харпин, Харпичикан и Боктор — левые притоки р. Горина. В северо-восточной части территории листа расположены истоки р. Бичи, впадающей в озеро Удыль. Наиболее крупными притоками р. Бичи являются реки Мал. и Лев. Бичи, р. Харпина — рр. Джолокон, Делян, Лев. и Прав. Хосоми, а р. Боктора — рек Ниран, Сияни, Ниж. и Верх. Игдоми. Протяженность этих притоков 20—40 км. Все реки района, кроме р. Боктора и ее притоков, текут по широким заболоченным долинам, имеющим корытообразный поперечный профиль. Русла их шириной до 10—30 м сильно меандрируют и имеют крутые, местами отвесные берега. Глубина рек в малую воду не превышает 1—1,5 м. Скорость течения в их верховьях 0,2—0,3 м/сек. В периоды дождей реки выходят из берегов и затопляют широкую пойму, имеющую множество озер-стариц, старых русел, вымоин. Все это заполняется водой и сливается с основным руслом в единый поток. Передвижение через долины рек в это время невозможно. Река Боктор типичная горная река. Ширина русла реки в пределах площади листа достигает 25—30 м, глубина не превышает 2—3 м, скорость течения 0,6—2 м/сек. Долина р. Боктора, шириной 2—5 км, имеет четко выраженное асимметричное строение: правый борт долины кругой обрывистый, а левый — пологий. В периоды сильных дождей р. Боктор быстро выходит из берегов и затапляет пойму. Бурлящий поток несет большое количество обломочного материала и вырванные с корнем деревья. Переправа через реку в это время опасна даже на плесах.

Климатические условия, характеризующиеся коротким теплым летом и суровой продолжительной зимой, позволяют проводить полевые геологич-

ские исследования с июня по сентябрь включительно. Среднегодовая температура воздуха, по данным Бокторской и Бичинской метеостанций за 1956—1961 гг. в среднем $-2,6^{\circ}\text{C}$, при максимуме в июле ($+27^{\circ}\text{C}$) и минимуме в январе (-37°C). Отрицательная среднегодовая температура воздуха приводит к образованию островной многолетней мерзлоты.

Территория листа по характеру растительности относится к зоне тайги с реликтами маньчжурской флоры. На большей ее части, в пределах низкогорья, произрастают смешанные леса (лиственница, ель, пихта, береза, осина, ольха, редко дуб) и бересковые рощи, похожие на парки. Они лищены подлеска и валежни, а почва в них покрыта травой. Обширные площади леса с высокой сочной травой в бассейнах рек Харпичикана и Харпина представляют большую ценность в качестве кормовой базы. Здесь возможна организация животноводческих совхозов. По левобережью р. Боктора значительные площади заняты тенистыми елово-пихтовыми лесами, сменяющимися в верхних частях склонов (с высоты 700—800 м) зарослями кедрового стланника. Заболоченные пространства — мари в речных долинах и на обширных аллювиальных равнинах поросли редкой, часто угнетенной, лиственницей и покрыты коккарником. В поймах рек произрастают береза, ольха, ива, черемуха, яблоня, ель, редко клен, ясень и тополь. Густой труднопроходимый подлесок представлен ерником, красноталом, шиповником, таволгой, аралией. Из лиановых в южной части площади листа отмечаются лимонник и актинидия.

Животный мир богат, но однообразен. Из парнокопытных в лесах водятся в большом количестве лось (сахатый), редко изюбель, северный олень, кабарга. Из хищных обитают черный и бурый медведи, волк. Пушной зверь представлен белкой, колонком, лисицей, соболем и выдвой. Реки богаты чистиковой рыбой. В пойме р. Харпина гнездятся гуси и утки; в бору водятся рябчики и глухари.

Обнаженность рассматриваемой территории неравномерная. На большей ее части, в области низкогорья обнажения коренных пород в виде плоских останцов выветривания устанавливаются только на гребнях водоразделов. В области среднегорья, по левобережью р. Боктора, обнаженность хорошая. Коренные выходы горных пород здесь часто встречаются как на гребнях хребтов, так и в бортах речных долин.

Экономически район не освоен. Наличие пушного зверя привлекает земельных охотников из колхозов, расположенных по рекам Горину и Амуру. Единственный населенный пункт — поселок поисково-разведочной партии ДВГУ на Харпичиканском рудопроявлении киновари — находится в истоках р. Харпичикана. Он соединен тракторной дорогой, протяженностью около 200 км, с поселком Кондон, расположенным в 1,5 км от железной дороги Комсомольск — Дуки. На большей части рассматриваемого района нет не только дорог, но даже хороших троп. Передвижение внутри возможно лишь на лошадях вьючно. Кроме того, по р. Харпину в среднюю воду на моторной лодке можно подняться до устья р. Лев. Хосоми.

Первые сведения о геологическом строении описываемой площади изложены в работе Е. В. Павловского и И. А. Ефремова (1933). Геологические построения этих авторов весьма схематичны, а их заключение о палеозойском возрасте пород района последующими исследованиями не подтверждилось.

В 1944 г. Н. П. Саврасовым (1945ф), а в 1951 г. С. Я. Николаевым (1952ф) и П. Д. Шкляевым (1952ф) восточная часть площади листа, включающая бассейны рек Бичи и Боктора, была покрыта геологической съемкой масштаба 1 : 200 000*.

Н. П. Саврасов, С. Я. Николаев и П. Д. Шкляев полагали, что наиболее древними, предположительно палеозойскими, образованиями в районе являются кремнистые сланцы, на размытой поверхности которых залегает мощ-

* Все эти геологические карты соответствуют по современным кондициям 1 : 500 000.

ная толща морских терригенных отложений, сопоставлявшаяся ими с амгунской серией юрского — нижнемелового возраста **.

В 1954 г. западная часть площади листа, до этого остававшаяся в геологическом отношении «белым пятном», была закартирована в масштабе 1 : 1 000 000 (Шлагин, 1955ф; Грайман, 1955 ф).

Этими авторами было установлено, что кремнистые сланцы, относимые предыдущими исследователями к палеозою, залегают согласно с вмещающими их терригенными образованиями амгунской серии в виде прослоев и линз. К палеозою ими были условно отнесены лишь интенсивно дислокированные вулканогенно-кремнистые образования, слагающие полосу субширотного направления, протягивающуюся от Амгуни на западе, до Харпичикана на востоке. А. Ф. Шлагиным впервые на площади листа при шлиховом опробовании алювия гидросети были выявлены ореолы рассеяния киновари и открыты минеральные источники «Наймука», «Сухой» и «Малотка».

В 1954—1955 гг. территория листа была покрыта аэромагнитной съемкой масштаба 1 : 200 000 (Иванов, 1955ф, 1956ф).

В 1958 г. эта территория перекрывается аэрогеофизической съемкой того же масштаба (Шапочка и др., 1960ф), а в 1959 г. — аэрогеофизической съемкой масштаба 1 : 25 000 (Головко и др., 1960ф). Этими работами установлены сложно дифференцированные аномалии магнитного поля над площадями распространения верхнемеловых и кайнозойских эфузивов основного и среднего состава.

С 1960 г. на территории описываемого листа в связи с перспективностью ее на ртуть начинается планомерное комплексное геологическое картирование масштаба 1 : 200 000 (Осипов, 1961ф; 1962; 1963ф). Открытие в 1960 г. в верховьях Харпичикана и Харпина ртутныхrudопроявлений послужило основанием для постановки в районе геологосъемочных работ масштаба 1 : 50 000 (Осипов, 1962ф; Осипов и Матвеев, 1963ф). Этой съемкой на 1 января 1963 г. покрыто 900 км² территории листа. В связи с подготовкой к изданию геологической карты и карты полезных ископаемых листа, автором в 1962 г. на площади, ранее закартированной С. Я. Николаевым (1952ф), были произведены редакционно-увязочные маршруты (Осипова, 1963ф).

При составлении геологической карты и карты полезных ископаемых для территории листа в основу положены геологические карты масштаба 1 : 200 000, составленные автором, геологические карты масштаба 1 : 50 000, составленные Н. Г. Осиповым и Б. Г. Матвеевым, а также материалы по редакционно-увязочным маршрутам, проведенным автором записи и первичная документация (полевые журналы, шлифы) С. Я. Николаева.

Результаты всех этих работ с учетом исследований, проведенных в целях издания сопредельных листов (Е. Б. Бельтенев; И. Я. Зытнер; Н. К. Осипова, Н. Г. Осипов и др.), позволили разработать стратиграфическую схему осадочных отложений и наметить основные этапы магматической деятельности в том виде, в каком они изложены в настоящей записке. Кроме перечисленных работ для разрешения этих вопросов большую роль сыграли многолетние исследования А. И. Савченко (1959, 1962ф), Э. П. Изоха (1962ф), В. В. Онихимовского (1962, 1962ф).

В процессе подготовки к изданию листа М-53-VI выяснились также некоторые неувязки с геологическими картами сопредельных районов. В частности, по границе с листом М-53-XII (Бельтенев, Исакова, 1960) на нашей территории дополнительно выявлены два разрыва и уточнены контуры падалинской и силинской свит на правобережье р. Боктора. Восточную границу с геологической картой листа М-54-I (Бельтенев, Савченко и др., 1960) вообще увязать не удалось. Маршруты, проведенные автором по восточной границе площади листа, не позволяют принять большую часть границ, показанных на геологической карте листа М-54-I. Так, например, в северной части М-54-I не зарегистрированы базальты, которые на территории листа М-54-I установлены между листами выявлены.

** Амгунская серия была выделена Л. И. Красным в 1940 г. к северо-востоку от описываемой территории.

лись резкие расхождения контуров эфузивного покрова и так далее. Это объясняется тем, что геологическая карта листа М-54-1 составлялась по устаревшим материалам С. Я. Николаева, П. Д. Шкляева и других, в большинстве своем соответствующих масштабу 1 : 500 000.

СТРАТИГРАФИЯ ДЕВОНСКАЯ СИСТЕМА Средний отдел

Верхнесивакская (?) подсвита ($D_2sv_2?$).

Верхнесивакская подсвита обнажается по правобережью р. Харпичикана в виде узкой (2—3 км) полосы северо-восточного направления. Нижняя часть подсвиты, мощностью около 600 м, сложена преимущественно песчаниками полимиктовыми, реже кварцево-полевошпатовыми мелко- и среднезернистыми с редкими маломощными (от 0,1 до 2 м) прослойями алевролитов. Верхняя ее часть, мощностью 550—600 м, состоит примерно в равном количестве из рассланцованных алевролитов и песчаников, содержащих редкие линзы кремнистых сланцев серого цвета. Нижняя граница верхнесивакской (?) подсвиты в районе неизвестна, а верхняя принимается по подошве горизонта кремнистых сланцев, слагающего низы берендинской (?) свиты. Общая мощность свиты более 1200 м.

В описываемых отложениях на исследованной территории органических остатков не обнаружено. Однако на простирации их в бассейне р. Нилана, где сивакская свита была выделена впервые (Осипов, 1960), в нижнесивакской подсвите собраны плохой сохранности брахиоподы, мшанки и морские лилии *Hexacrinus mamillatus* Yelt. et I. Dubat., *Entrochus dentatus* Queen., *En. biarticulatus* Queen. (определения Г. Р. Шишкной), описанные ранее Р. С. Ельышевой из эйфельских и живетских отложений Амурской области.

Средний и верхний отделы объединенные

Берендинская свита ($D_{2+3}br?$).

Берендинская (?) свита установлена в междуречье Харпичикана — Эвура, где слагает три полосы северо-восточного направления, шириной до 4 км каждая. В строении свиты принимают участие диабазы, диабазовые порфиры, спилиты, рассланцованные алевролиты, песчаники, кремнистые и глинисто-кремнистые сланцы. Кремнистыми сланцами и основными палеотинными эфузивами сложено почти 70% объема свиты, благодаря чему берендинская свита хорошо отделяется при картировании от нижележащей сивакской и свиты хорошо отделяется при картировании от нижележащей сивакской и вышележащей крестовой свиты. Литологический состав свиты по простиранию выдержан, так как эфузивы и кремнистые породы часто фационально замещают друг друга. Строение берендинской свиты, изученное по коренным обнажениям и элювиально-делювиальным высыпкам на гребне хр. Таракан, в 6—8 км севернее горы Магнитной, следующее.*

1. Кремнистые сланцы, переслаивающиеся (через 1—5 м) с зеленовато-серыми диабазами и с единичными прослойками (до 3 м) рассланцованных алевролитов и песчаников 100 м
2. Алевролиты темно-серые рассланцованные с будинами кремнистых сланцев 70 "
3. Песчаники кварцево-полевошпатовые мелкозернистые 12 "
4. Алевролиты темно-серые с прослойками (до 32 м) спилитов и диабазов зеленовато-серых 195 "

* Описание разрезов, кроме четвертичных отложений, приводится от древних пород к молодым.

5. Песчаники кварцево-полевошпатовые среднезернистые с редкими маломощными (до 1 м) прослойями алевролитов	45 "
6. Кремнистые и глинисто-кремнистые сланцы темно-серые, до желтовато-серых с прослойями алевролитов, спилитов и диабазов, мощностью до 10 м	50 "
7. Песчаники серые среднезернистые	20 "
8. Алевролиты темно-серые	15 "
9. Спилиты зеленовато-серые с редкими маломощными (1—2 м) прослойями кремнистых сланцев	240 "
10. Алевролиты темно-серые рассланцованные	80 "
11. Кремнисто-глинистые сланцы светло-серого цвета с редкими маломощными (до 1,5 м) прослойями спилитов	15 "
12. Диабазовые порфириты зеленовато-серые	35 "
13. Алевролиты рассланцованные с редкими прослойями кремнисто-глинистых сланцев, мощностью до 0,5 м	25 "
14. Спилиты зеленовато-серые	112 "
15. Алевролиты темно-серые	16 "
16. Переслаивающиеся (через 0,2—10 м) спилиты, кремнисто-глинистые сланцы, песчаники и алевролиты	70 м

Общая мощность разреза 1100 м.

По литологическому составу и по положению в разрезе описываемые отложения хорошо сопоставляются с берендинской свитой, впервые выделенной Н. Г. Осиповым на простирации этих отложений в бассейне р. Нилана. Н. Г. Осиповым (1960) в линзах известняков собраны кораллы и мшанки, среди которых Е. Ф. Дубатовым определены табуляты семейства *Socinidae* (род *Tyrqanolites*) из Западной Сибири, в Средней Азии и в Китае характеризуют средний девон. Н. Я. Спасским из этой же коллекции определен коралл *Rugosa* из семейства *Lindstromidae*, характеризующий средний палеозой, скорее девон, и коралл *Rugosa*, сходный с кораллами, жившими в визейский век.

Нижнекрестовая подсвита ($D_{2+3}kr?$) слагает три полосы субширотного простирания в Эвур-Харпичиканском междуречье. Нижняя часть подсвиты, мощностью 500—550 м, сложена алевролитами и в меньшей мере песчаниками, которые содержат прослой кремнистых и глинисто-кремнистых сланцев. Верхняя часть подсвиты, мощностью 480—500 м, представлена серыми полимиктовыми песчаниками с редкими прослойками спилитов, диабазов, кремнистых и глинисто-кремнистых сланцев. Литологический состав свиты по простирации довольно устойчив. Строение нижнекрестовой подсвиты, изученное с помощью горных выработок по гребню Эвур — Харпичиканского водораздела, в 8 км на северо-запад от горы Магнитной, следующее:

1. Алевролиты темно-серые рассланцованные с маломощными (до 1—2 м) и редкими слоями кремнистых, кремнисто-глинистых сланцев и песчаников	165—195 м
2. Спилиты зеленовато-серые	15—20 м
3. Переслаивающиеся (через 8—10 м) кремнистые сланцы и среднезернистые серые песчаники	36 "
4. Переслаивающиеся (через 8—50 м) пачки алевролитов, иногда с нитевидными прослойками и будинами кремнистых сланцев, и пачки песчаников от мелко- и до среднезернистых серых, с редкими прослойками алевролитов и кремнисто-глинистых сланцев, мощностью до 1 м	141 "
5. Кремнисто-глинистые сланцы желтовато-серого цвета, интенсивно рассланцованные с редкими маломощными (до 0,2 м) прослойками песчаников	40 "
6. Алевролиты темно-серые	40 "
7. Кремнистые сланцы темно-серые	55 "
8. Алевролиты темно-серые рассланцованные	22 "
9. Песчаники среднезернистые	70 "

10. Переслаивающиеся (через 6—16 м) темно-серые алевролиты, зеленовато-серые спилиты, глинисто-кремнистые и кремнистые сланцы	76 „
11. Песчаники полимиктовые серые от мелко- до среднезернистых	15 „
12. Кремнистые сланцы серые	10 „
13. Песчаники полимиктовые неравномерно среднезернистые серого цвета	75—90 „
14. Алевролиты темно-серые	40 „
15. Переслаивающиеся (через 5—20 м) и мелкозернистые серые кварцево-полевошпатовые песчаники и темно-серые алевролиты, иногда с будинами песчаников	93 „
16. Диабазы серовато-зеленого цвета	12 „
17. Переслаивающиеся (через 10—25 м) песчаники от мелко- до среднезернистых серого цвета и темно-серые алевролиты	65 „

Общая мощность разреза 950—1000 м.

Выше залегают кремнисто-глинистые сланцы верхнекрестовой подсвиты.

Граница между описываемой подсвитой и нижележащей берендинской (?) свитой проводится по кровле горизонта кремнистых сланцев, диабазов и спилитов, слагающих верхи берендинской свиты. Граница между двумя подсвิตами крестовой (?) свиты принимается по подошве горизонта кремнистых сланцев, диабазов и спилитов, залегающих в основании верхнекрестовой (?) подсвиты.

Органических остатков в рассматриваемых отложениях на площади листа не установлено. Однако западнее на простирации этих отложений, в нижнем течении р. Нилана (Осипов, 1960ф), собраны многочисленные, но плохо сохранившиеся, остатки брахиопод из рода *Spirifer* (определения Г. Р. Шишкевой), единичные экземпляры которого с дихотомирующими ребрами встречаются в среднем девоне. Наиболее широко этот род *Spirifer* распространен в верхнем девоне и переходит в нижний карбон.

Верхнекрестовая (?) подсвита ($D_{2+3}kr_2$) на территории листа имеет весьма незначительное распространение. Она обнажается в ядрах синклиналей на двух участках в междуречье Харпичикана — Эвура. Сложена подсвита пестрым по составу комплексом пород, представленных спилитами, диабазами, кремнистыми, кремнисто-глинистыми сланцами, песчаниками, алевролитами, редко глинистыми и серцито-кремнистыми сланцами. Песчаники, спилиты и диабазы в составе подсвиты преобладают над другими породами.

Строение верхнекрестовой (?) подсвиты, изученное с помощью горных выработок по правобережью р. Харпичикана, в 8—10 км севернее горы Магнитной, следующее:

1. Кремнисто-глинистые сланцы	7 м
2. Спилиты, диабазы серовато-зеленые	20 „
3. Серцито-кремнистые сланцы серые	20 „
4. Спилиты буровато-зеленые	50 „
5. Песчаники мелко- и среднезернистые с прослойями темно-серых алевролитов, мощностью до 7 м	128 „
6. Кремнистые сланцы темно-серые	6 „
7. Песчаники серые среднезернистые	10 „
8. Спилиты, диабазы с редкими прослойями алевролитов, мощностью до 3 м	20 „
9. Алевролиты темно-серые с будинами песчаника	15 „
10. Спилиты зеленовато-серые с прослойями кремнистых сланцев, мощностью 10 м	48 „
11. Песчаники мелкозернистые серые	6 „
12. Глинистые сланцы зеленовато-серые с прослоем спилитов, мощностью 10 м	100 „

13. Кремнистые и глинисто-кремнистые сланцы зеленовато-серые с прослоем кварцево-полевошпатового мелкозернистого песчаника, мощностью 8 м более 120 м

Общая мощность разреза более 550 м. Приведенный разрез подсвиты неполный, так как верхов ее в районе не наблюдалось.

Органических остатков в отложениях верхнекрестовой подсвиты до сих пор еще нигде не установлено, но учитывая, что она согласно перекрывает нижнекрестовую подсвиту, возраст ее условно принимается как средне-верхнедевонский.

ЮРСКАЯ СИСТЕМА

Нижний отдел

Будюрская свита (J_1bd). Будюрская свита наблюдается только в верхнем течении р. Харпичикана, где она обрамляет выступ девонских образований, повсеместно отделяясь от них тектоническими разрывами. Поэтому нижние слои будюрской свиты в районе не обнажены. Однако, на сопредельных к юго-западу территориях, в частности в бассейне р. Кура, где автором записи впервые была выделена описываемая свита, установлено, что будюрская свита с угловым несогласием залегает на пермских и каменоугольных образованиях.

Будюрская свита сложена преимущественно полимиктовыми, реже кварцево-полевошпатовыми мелко- и среднезернистыми песчаниками, содержащими единичные маломощные (до 1—2 м) прослои алевролитов. В нижней части свиты, судя по разрозненным коренным обнажениям и делювиальным высотникам, песчаники чаще всего среднезернистые серые или зеленовато-серые, содержащие почти повсеместно включения мелких (1—3 мм) обломков черных алевролитов. В верхах свиты изредка встречаются прослои алевролитов, мощностью до 10—20 м.

Строение верхней части свиты, изученное с помощью горных выработок в истоках р. Харпичикана ($51^{\circ}59' с. ш., 137^{\circ}25' в. д.$) следующее:

1. Песчаники среднезернистые темно-серые с редкими маломощными (до 0,15 м) прослоями алевролитов	380 м
2. Алевролиты темно-серые	20 „
3. Песчаники мелкозернистые темно-серые с прослойями алевролитов, мощностью до 3 м	240 „

Общая мощность 640 м.

Выше согласно залегает пачка алевролитов хурбинской свиты. Максимальная видимая мощность свиты более 1000 м.

Ископаемых органических остатков в отложениях свиты не обнаружено. Учитывая, что она несогласно залегает на палеозойских образованиях и согласно перекрывает хурбинской свитой, охарактеризованной остатками среднеюрских иноцерамов, возраст ее принимается как нижнеюрский.

Средний отдел

Хурбинская свита (J_2hr). Отложения, объединенные в хурбинскую свиту, установлены в верховьях р. Харпичикана и в среднем течении р. Боктора. На первом участке ими сложен целый ряд полос субширотного направления и небольших, изолированных друг от друга площадей, чаще всего приуроченных к ядрам синклиналей. В бассейне р. Боктора хурбинская свита обнажается в виде сравнительно широкой полосы восток-северо-восточного направления, прослеживающейся от левых притоков р. Харпина до долины р. Верхней Игдомы.

Сложена свита разнозернистыми полимиктовыми и кварцево-полевошпатовыми песчаниками, алевролитами, пачками ритмично чередующихся алев-

ролитов и песчаников, кремнистыми и кремнисто-глинистыми сланцами, гравелитами, в истоках р. Харпичикана переходящими в мелкогалечниковые конгломераты. В междуречье Харпичикана — Эвура, в верхах свиты в пачке алевролитов залегает маломощный (до 10 м) прослой мергелистых темно-серых известняков, внешне сходных с алевролитами.

Непрерывного разреза, вскрывающего всю мощность хурбинской свиты, в районе не встречено. О строении ее нижней части можно судить по частным разрезам, полученным с помощью горных выработок в истоках р. Харпичикана ($51^{\circ}59'$ с. ш., $137^{\circ}25'$ в. д.) и на водоразделе последнего с р. Харпином ($51^{\circ}48'$ с. ш., $137^{\circ}21'$ в. д.). На Харпин — Харпичиканском водоразделе на песчаниках будюрской свиты согласно залегают:

1. Алевролиты темно-серые с будинами песчаника	45 м
2. Пачка переслаивающихся (через 10—45 м) алевролитов и мелкозернистых серых песчаников	115 "
3. Алевролиты с будинами песчаника размером 1—3 см по длиной оси	15 "
4. Песчаники среднезернистые серые	20 "
5. Алевролиты темно-серые	10 "
6. Песчаники мелкозернистые серые с маломощными (до 1—2 м) прослойками темно-серых алевролитов	30 "
7. Переслаивающиеся (через 5—20 м) песчаники мелкозернистые серые с черными кремнистыми сланцами	60 "
8. Песчаники мелко- и среднезернистые с маломощными (до 1—2 м) прослойками алевролитов и зеленовато-серых кремнисто-глинистых сланцев	160 "
9. Алевролиты с пачками ритмичного чередования алевролитов и песчаников и единичными маломощными (от 0,2 до 4 м) прослойками глинисто-кремнистых сланцев зеленовато-серого цвета	80 "
10. Песчаники мелкозернистые серые	90 "
11. Алевролиты темно-серые с маломощными (от 0,05 до 2 м) прослойками мелкозернистых серых песчаников	60 "
12. Песчаники среднезернистые серые с нитевидными прослойками алевролитов	200 "
Мощность разреза 885 м.	
Верхняя часть свиты обнажается в коренных обнажениях правого берега р. Боктора, между реками Ялтой Нижней и Ялтой Верхней. Строение ее здесь следующее:	
1. Алевролиты темно-серые тонкополосчатые	22 м
2. Песчаники мелкозернистые серые	11 "
3. Алевролиты темно-серые тонкополосчатые	17 "
4. Песчаники полимиктовые средне- и крупнозернистые светло-серые с маломощными (0,2—2,0 м) прослойками темно-серых алевролитов	48 "
5. Песчаники полимиктовые мелко- и среднезернистые светло-серые, иногда с включением мелких (1—2 мм) обломков алевролитов	88 "
6. Алевролиты темно-серые полосчатые	16 "
7. Песчаники мелкозернистые зеленовато-серые, содержащие изредка скопления обуглившегося растительного детрита и маломощные (0,1—0,3 м) прослои темно-серых алевролитов	300 "
8. Песчаники полимиктовые мелкозернистые светло-серые с единичными маломощными (до 0,5 м) прослойками темно-серых алевролитов	263 "
Общая мощность 765 м.	

Общая мощность хурбинской свиты 1600—1650 м.

Вышеприведенные разрезы по простирианию в общих чертах выдерживаются.

Граница между будюрской и хурбинской свитами нечеткая и проводится по подошве первого, более или менее мощного горизонта алевролитов, выше которого в разрезе количество алевролитов резко возрастает.

В пределах площади листа каких-либо органических остатков в хурбинской свите не обнаружено. Однако, учитывая находку автором записки (Осипова, 1959ф) в верховых р. Ульбина, на площади листа М-53-XVII в аналогичных отложениях среднеюрских иноцерамов, возраст хурбинской свиты устанавливается как среднеюрский.

Ульбинская свита (J_2uI) в виде нескольких изолированных полос северо-восточного или почти широтного простириания установлена в центральной и южной частях площади листа. Сложена свита алевролитами, песчаниками, кремнистыми и глинисто-кремнистыми сланцами, спилитами. Кремнистые породы совместно с алевролитами образуют два горизонта, один из которых залегает в низах свиты, а второй — в верхах ее. Наиболее мощным (до 100 м и более) и выдержаным по простирианию является верхний горизонт. В нем отмечаются пластовые тела спилитов буровато-зеленого цвета, мощностью 15—40 м, длиной 1—4 км. Литологический состав этих горизонтов по простирианию не выдержан: кремнистые сланцы фациально замещаются кремнисто-глинистыми сланцами, а последние — алевролитами. Более изменчив состав нижнего горизонта, по подошве которого проводится граница между ульбинской и хурбинской свитами. В местах, где этот горизонт в условиях плохой обнаженности не прослеживается, граница между свитами показана предполагаемой.

Почти полный разрез ульбинской свиты и согласное залегание ее на хурбинской свите наблюдается на правом берегу р. Боктора вблизи устья р. Никиткина. Строение описываемой свиты здесь следующее:

1. Глинисто-кремнистые сланцы зеленовато-серого и буровато-красного цвета	92 м
2. Алевролиты темно-серые	18 "
3. Песчаники мелкозернистые серые	более 14 "
4. Алевролиты полосчатые темно-серые	23 "
5. Пачка ритмично переслаивающихся (через 0,1—2,0 м) песчаников мелкозернистых серых и темно-серых алевролитов	11 "
6. Алевролиты темно-серые	22 "
7. Песчаники мелкозернистые зеленовато-серые	3 "
8. Алевролиты тонкополосчатые темно-серые	32 "
9. Песчаники неравномернозернистые от мелко- до среднезернистых, содержащие включения мелких (до 5 мм) обломков алевролитов и маломощные (до 0,4—1,5 м) прослои темно-серых алевролитов	153 ,
10. Песчаники мелкозернистые серые	13 ,
11. Алевролиты темно-серые	2 ,
12. Песчаники полимиктовые среднезернистые с включением мелких (до 1—2 мм) обломков алевролитов	60 ,
13. Алевролиты темно-серые полосчатые	10 ,
14. Песчаники полимиктовые мелкозернистые светло-серого и серого цвета с маломощными (до 0,1—0,4 м) прослоями алевролитов	91 ,
15. Пачка ритмично переслаивающихся (через 0,1—2,0 м) песчаников мелкозернистых серых с алевролитами темно-серыми тонкополосчатыми	16 ,
16. Песчаники полимиктовые мелко- и среднезернистые серого и светло-серого цвета с прослойками алевролитов, мощностью до 24 м	217 ,
17. Глинисто-кремнистые сланцы зеленовато-серые	38 ,
18. Песчаники мелкозернистые зеленовато-серые, слегка окремневые	6 ,
19. Глинисто-кремнистые сланцы буровато-красного и зеленовато-серого цвета с обильными, хорошей сохранности остатками радиолярий	102 ,
Мощность более 923 м.	

Выше согласно залегает пачка флишоидного переслаивания алевролитов и песчаников силинской свиты.

В междуречье Харпина — Харпичикана количество кремнистых пород в описываемой свите несколько увеличивается и появляются пластовые тела спилитов.

Общая мощность ульбинской свиты на территории листа обычно составляет 1100—1200 м.

Характерными особенностями ульбинской свиты, позволяющими легко выделять ее при геологическом картировании, является наличие во многих местах в разрезе значительного количества кремнистых и глинисто-кремнистых сланцев и алевролитов, а также пластовых тел спилитов.

В глинисто-кремнистых сланцах из верхов свиты во многих местах в пределах площади листа собраны радиолярий хороших сохранности, среди которых установлены *Cenosphaera sphaerogetica* Zh. m., *Hagiastrum* (*Histiastrum*) sp., *Tricolocapsa leptoderma* Zh. m., (msc.), *Saturnalis* sp., *Dictyomitra* sp. 1, *Dictyomitra* sp., *Caprosphaera* sp., *Trisphaera bicarinispinosa* Zh. m., *Stauropora* ? sp., *Porodiscus* sp. indet., *Crucidiscus pachyspinosus* Zh. m., *Theosyringium* sp., *Lithostrobus* ?

По мнению А. И. Жамойды, этот комплекс радиолярий характеризует включающие его слои как позднеюрские — раннемеловые.

На территории смежного листа М-53-XII, вблизи южной границы исследованного района (Бельтенев, Исакова, 1960), в низах ульбинской свиты обнаружены *Ostrea* sp., *Nilssonia* sp., плохая сохранность которых не позволяет также точно определить возраст этих отложений. Однако согласное залегание ульбинской свиты на породах хурбинской свиты с остатками средненеокорских иноцерамов, а также согласное перекрытие ее силинской свитой верхнеюрского возраста, дают основание отнести ульбинскую свиту к средней юре.

Верхний отдел

Силинская свита (*J_{3sl}*) пользуется широким площадным распространением в среднем течении рек Харпина и Харпичикана. Сложена она в основном разнозернистыми полимиктовыми песчаниками, содержащими включения мелких (до 5 мм) обломков черных алевролитов и обуглившийся растительный детрит. В низах свиты среди песчаников отмечаются единичные прослои гравелитов, седиментационных брекчий и алевролитов. В верхней части свиты значительное место принадлежит пачкам ритмичного флишоидного* переслаивания алевролитов и песчаников.

Граница между силинской и согласно подстилающей ее ульбинской свитой проводится по краю горизонта кремнистых сланцев, венчающего разрез ульбинской свиты. Строение низов силинской свиты достаточно полно просматривается в береговых обрывах правого берега р. Боктора, между реками Верх. Ялтой и Ниж. Ялтой, где на горизонте кремнистых сланцев ульбинской свиты согласно залегают:

- | | |
|---|---------|
| 1. Пачка ритмично чередующихся (через 0,2—0,8 м) алевролитов и песчаников. На нижних поверхностях песчаниковых слоев видны иероглифы | 28 м |
| 2. Песчаники мелкозернистые светло-серые | 94 „ |
| 3. Алевролиты полосчатые темно-серые, с прослоем песчаника мощностью 1,5 м | 26,5 „ |
| 4. Песчаники полимиктовые мелко- и среднезернистые, часто неравномерно-зернистые, содержащие включения мелких (1—3 мм) обломков алевролитов | 310,5 м |
| 5. Алевролиты темно-серые с маломощными (до 0,6 м) прослойками неравномерно-мелкозернистых песчаников | 8 „ |
| 6. Песчаники полимиктовые от мелко- до среднезернистых с редкими прослойками алевролитов, мощностью до 5 м | 369 „ |

* Во всех свитах, выделенных среди юрских и нижнемеловых морских ритмично слоистых терригенных образований, ритм двухкомпонентный, причем нижний компонент обычно песчаниковый, а верхний алевролитовый.

7. Алевролиты полосчатые темно-серые	20 м
8. Песчаники полимиктовые среднезернистые светло-серые	58 „
9. Алевролиты полосчатые темно-серые	23 „
10. Песчаники полимиктовые среднезернистые светло-серые	11 „
11. Алевролиты темно-серые полосчатые	14 „
12. Песчаники полимиктовые мелко- и среднезернистые светло-серые	40 „
Мощность разреза 970 м.	

Строение верхней части силинской свиты, наблюдаемое по правому берегу р. Бактора к югу от устья р. Ниж. Ялты, следующее:

1. Песчаники полимиктовые мелко- и среднезернистые светло-серые с маломощными (0,1—0,4 м) прослойками темно-серых полосчатых алевролитов	60 м
2. Песчаники полимиктовые от мелко- до среднезернистых, часто с включениями мелких (до 5 мм) обломков алевролитов, реже седиментационных брекчий, мощностью 0,1—2 м	370 „
3. Алевролиты темно-серые полосчатые со скролуповатой отдельностью	20 „
4. Песчаники полимиктовые мелко- и среднезернистые, часто неравномерно-зернистые серые с редкими прослойками гравелитов и седиментационных брекчий	350 м
5. Ритмичное чередование алевролитов и песчаников. Мощность ритма 0,1—1,0 м. Песчаниковый компонент всегда несколько преобладает над алевролитовым	50 „
6. Песчаники мелкозернистые серые	20 „
7. Ритмичное чередование песчаников и алевролитов	50 „
Мощность разреза 920 м.	

Общая мощность силинской свиты 1800—1900 м.

На исследованной территории в силинской свите встречены только неопределенные обугленные растительные остатки. На территории смежного листа М-53-XII, в ур. Коу-Гоу, в средней части силинской свиты найдены остатки *Inoceramus* sp. indet., *Aucella* sp. indet. Присутствие в породах силинской свиты ископаемой фауны *Aucella* sp. indet. (определенение К. М. Худолея) указывает, что возраст ее не может быть древнее верхней юры и моложе нижнего мела. На простирации рассматриваемых отложений, на площади листа М-53-XI, вблизи железнодорожной станции Хурмула М. К. Абрамяном (Савченко, 1962) в силинской свите найден аммонит *Perisphinctidae* (*Steinmanni* определение Е. П. Брудницкой), указывающий на верхнеюрский возраст включающих его осадков.

Падалинская свита (*J_{3pd}*). В виде многочисленных полос северо-восточного направления падалинская свита распространена преимущественно в южной части площади листа. Сложена свита алевролитами, песчаниками, пачками ритмично чередующихся алевролитов и песчаников с кремнистыми и глинисто-кремнистыми сланцами. Последние в виде линз или выдержаных по простирации горизонтов прослеживаются в низах и в верхах свиты, при этом количество их в различных частях района крайне неравномерно. По левобережью р. Боктора кремнистые и глинисто-кремнистые сланцы в низах падалинской свиты слагают мощный (до 70 м) горизонт, протягивающийся на десятки километров. В междуречье Харпина — Харпичикана и Харпина — Боктора кремнистые фации практически отсутствуют. Здесь в верхах и низах свиты прослеживается мощный (до 200 м) горизонт алевролитов с пачками ритмично чередующихся алевролитов и алевроловых песчаников, в котором лишь изредка наблюдаются линзы кремнистых и глинисто-кремнистых сланцев. Граница между падалинской и силинской свитами проводится по подошве горизонта кремнистых сланцев или алевролитов, залегающего в низах падалинской свиты.

По литологическому составу падалинская свита грубо может быть разделена на три части. Нижняя часть свиты сложена полосчатыми алевролитами темно-серого цвета, содержащими линзы или выдержаные по простианию прослои кремнистых и глинисто-кремнистых сланцев, а также прослои песчаников и пачки ритмичного чередования алевролитов и песчаников. Мощность этой части свиты ориентировочно определяется в 450—500 м. Средняя часть свиты, мощностью около 500—550 м, преимущественно песчаниковая. Встречающиеся среди песчаников прослои алевролитов, гравелитов и седиментационных брекчий не превышают 0,5—30 м. Верхняя часть свиты мощностью около 500 м сложена преимущественно алевролитами, содержащими иногда линзы гравелитов с пачками ритмично чередующихся алевролитов и песчаников. В самых верхах свиты, на границе с горюнской свитой, редко встречаются линзы кремнистых и глинисто-кремнистых сланцев. Непрерывный разрез, вскрывающий всю мощность падалинской свиты, в районе не встречен.

Согласное залегание силинской и падалинской свит, а также строение нижней части последней наблюдались в коренном залегании в истоках р. Верх. Игдоми. Здесь, на пачке ритмично чередующихся алевролитов и песчаников, венчающей разрез силинской свиты, согласно залегают:

1. Кремнистые сланцы серые	15 м
2. Глинисто-кремнистые сланцы пепельно-серого цвета	60 „
3. Глинисто-кремнистые сланцы сургучного цвета с радиоляриями	10 „
4. Пачка переслаивающихся (через 1—10 м) песчаников с алевролитами темно-серыми	60 „
5. Песчаники полимиктовые мелко- и среднезернистые серые	185 „
Мощность разреза 330 м.	

По правому берегу р. Боктора, к югу от устья р. Сененны, кремнистые фации отсутствуют и разрез свиты начинается с пачки алевролитов, мощностью более 50 м. Строение нижней и средней части свиты здесь следующее:

1. Алевролиты полосчатые темно-серые	65 м
2. Песчаники мелкозернистые серые	150 „
3. Алевролиты темно-серые	210 „
4. Песчаники мелкозернистые серые с частыми прослойками темно-серых алевролитов, мощностью от 0,4 до 10 м	145 „
5. Песчаники мелкозернистые серые	190 „
6. Алевролиты темно-серые	15 „
7. Песчаники мелкозернистые серые с маломощными (0,2—0,4 м) прослойками алевролитов и седиментационных брекчий	160 „
8. Алевролиты полосчатые темно-серые, содержащие маломощные (до 0,5 м) прослой седиментационных брекчий	35 м
Мощность свиты 970 м.	

Верхняя часть свиты, наблюдаемая по коренным обнажениям правого берега р. Боктора в 3 км ниже устья р. Нирана, имеет следующее строение:

1. Пачка ритмично чередующихся полосчатых алевролитов и алевритовых песчаников. Мощность ритма 5—15 см	13 м
2. Песчаники мелкозернистые серые с линзовидными скоплениями обугленного растительного детрита	85 „
3. Толща ритмично чередующихся алевролитов и песчаников. На нижней поверхности ритмов видны гиероглифы. Мощность ритма 10—80 см	100 „
4. Пачка ритмично чередующихся алевролитов и алевритовых песчаников. Мощность ритма 5—10 см. В алевролитах найден обломок аммонита, сходного с аммонитом из рода <i>Pavlovia</i>	8 „
5. Пачка ритмично чередующихся алевролитов и песчаников при мощности ритма 15—100 см	14 „

6. Толща ритмично чередующихся алевролитов и алевритовых песчаников при мощности ритма 5—16 см 250 м
Мощность свиты 470 м.

Выше по разрезу залегает горизонт неравномерно-среднезернистых песчаников горюнской свиты.

Суммарная мощность падалинской свиты 1500—1600 м.

Берхнеурский возраст падалинской свиты устанавливается по найденному в ее верхах обломку аммонита, сходного с аммонитом из рода *Pavlovia* (определение Е. П. Брудницкой), жившего в нижневолжское время. Западнее, на территории листа М-53-ХI возле железнодорожной станции Хурмулы в падалинской свите найден обломок аммонита из семейства *Perisphinctidae* Steinmann (*Lithacoceras* (?) sp. indet.), по заключению К. М. Худолея, с ребристостью, характерной только для верхнеурских форм (Савченко, 1962).

МЕЛОВАЯ СИСТЕМА

Нижний отдел

Валанжинский ярус

Горюнская свита (*Crigr*) наблюдается в виде двух крупных полос северо-восточного простирания, протягивающихся от р. Харпина в истоки р. Бичи на небольшом участке в верховьях р. Хосоми. Сложена свита разнозернистыми полимиктовыми песчаниками с прослойями алевролитов и пачками ритмично чередующихся алевролитов и песчаников. В бассейне р. Хосоми в низовьях ее встречены мелкогалечниковые конгломераты.

Строение нижней части свиты по разрозненным коренным обнажениям и элювиально-деловиальным высыпкам наблюдалось по правобережью р. Боктора против устьев рек Нирана и Верх. Игдоми.

Здесь на пачке ритмично слоистых осадков, венчающих разрез падалинской свиты, судя по замерам элементов залегания, согласно залегает толща мелко- и среднезернистых серых, иногда полосчатых полимиктовых песчаников, мощностью около 400 м. В верхах пачки наблюдались прослои своеобразных неравномернозернистых полимиктовых песчаников с пятнистой текстурой, обусловленной наличием в них более или менее изометричных скоплений, размером от 3 до 10 мм, состоящих из сравнительно крупных (до 1 мм) остроугольных и угловатых зерен кварца, микроклина, ортоклаза, плагиоклаза. Эти скопления имеют более светлую окраску и четко выступают на темно-сером или зеленовато-сером фоне песчаника. Выше этих песчаников залегает пачка, мощностью 80—100 м, сложенная преимущественно неравномернозернистыми среднезернистыми, реже мелкозернистыми полимиктовыми песчаниками с включениями мелких (до 2—5 мм) обломков черных алевролитов и линзами грубозернистых песчаников, мощностью 5—7 м, переходящими по простиранию в гравелиты. Венчает нижнюю часть горюнской свиты пачка темно-серых алевролитов, мощностью около 30 м.

Средняя часть свиты обнажается по правому берегу р. Нирана вблизи устья. Строение ее здесь следующее:

1. Песчаники полимиктовые мелкозернистые серые	более 300 м
2. Пачка ритмично чередующихся алевритовых песчаников и алевролитов темно-серые. Мощность ритма 5—15 см	40 „
3. Песчаники мелкозернистые серые	160 „
4. Алевритовые песчаники полосчатые темно-серые	8 „
5. Песчаники полимиктовые мелко- и среднезернистые серые	140 „
6. Песчаники алевритовые темно-серые	12 „
7. Песчаники полимиктовые мелкозернистые зеленовато-серые	120 „
8. Пачка ритмично чередующихся (через 0,1—0,3 м) алевритовых песчаников, алевролитов и мелкозернистых песчаников	40 „
9. Песчаники мелкозернистые серые	65 „

10. Песчаники алевритовые темно-серые	55 м
11. Пачка ритмично чередующихся (через 0,1—0,2 м) алевролитов и алевритовых песчаников	50 „
12. Песчаники полимиктовые зеленовато-серые	более 60 „
Мощность разреза более 1185 м.	

Верхние горизонты описываемой свиты на территории листа отсутствуют. Максимальная видимая мощность горюнской свиты составляет 1600—1700 м.

Ископаемых органических остатков в отложениях свиты в районе не обнаружено. Однако согласное залегание ее на падалинской свите и наличие в аналогичных образованиях на территории смежного листа М-53-XII многочисленных остатков *Aucella keyserlingi* L. h., A. cf. *uncitoides* Pavl., A. cf. *crassa* Pavl. A. cf. *infilata* (Toula) L. h. и др. позволяет возраст горюнской свиты считать валахинским.

Холдоминская (?) свита (*Gr1chl?*). Вулканогенно-осадочные образования, условно объединяемые в холдоминскую (?) свиту, представлены кварцевыми и фельзитовыми порфирами, лавобрекчиями фельзит-порфиров, ксенолавобрекчиями* кварцевых порфиров, дакитами, туфами, туфопесчаниками, туфоконгломератами, внутриформационными брекчиями. Эти образования повсеместно с угловым несогласием перекрывают морские терригенные осадки юры и нижнего мела (валахина), а в истоках р. Сияни (Бельтенев, 1958) с размывом залегают на гранитоидах предположительно раннемелового возраста. Ими сложено пять разобщенных покровов, наиболее крупный (250 км²) из которых, уходящий за пределы рассматриваемой территории, расположен в истоках рек Сияни, Лимури, Верх. и Ниж. Игдоми.

Строение холдоминской (?) свиты в различных покровах неодинаково. Туфогенно-осадочные породы установлены преимущественно по правобережью Бичи, в бассейне р. Джолоконе и в истоках рек Лимури, Верх. и Ниж. Игдоми. В бассейне р. Сияни отмечены, главным образом, ксенолавобрекции кварцевых порфиров, в основании которых наблюдаются туфогенные конгломераты, мощностью около 20 м с галькой (5—10 см) песчаников, кремнистых сланцев, роговиков и гранодиоритов. Чаще же в основании холдоминской свиты залегает пачка туфогенно-осадочных пород, мощностью 100—150 м, с прослойями дакитов, фельзит-порфиров, кварцевых порфиров. Выше по разрезу наблюдается пачка, в строении которой существенное место занимают фельзит-порфирь, их лавобрекции и ксенолавобрекции кварцевых порфиров. Строение этой части разреза свиты, установлено в коренном залегании в истоках р. Лимури (51°26' с. ш., 137°59' в. д.), следующее:

1. Ксенолавобрекции кварцевых порфиров серого цвета, содержащие до 30—40% обломков алевролитов и песчаников	более 50 м
2. Фельзит-порфирь тонкополосчатые светло-серые	15—20 „
3. Ксенолавобрекции кварцевых порфиров серого цвета	30—40 „
4. Туфоконгломераты, состоящие из гальки (1—10 см) песчаников, спилитов, гранит-порфиров, кварцевых порфиров и др., скементированных пьемитовым туфом кварцевого порфира	8—10 „
5. Ксенолавобрекции кварцевого порфира серые	25 „
6. Пачка переслаивающихся (через 0,2—10 м) туфопесчаников, ксенотуфов и ксенолавобрекций кварцевых порфиров	48 „
7. Фельзит-порфирь и их лавобрекции светло-серые	130 „
8. Ксенолавобрекции кварцевых порфиров	50 „
9. Внутриформационные брекции песчаниковые	10 „
Мощность свиты	366—383 м.

* Названия «ксенолавобрекция», «ксенотуф» взяты из «Классификации вулканогенных обломочных пород», изданной в 1962 г. по предложению комиссии, избранной на Первом Всесоюзном вулканологическом совещании. Под ксенолавобрекцией и ксенотуфом понимаются соответственно лавы или туфы, содержащие более 5% обломков чужеродных пород.

Разрез более высоких горизонтов свиты, наблюдаемый в коренном залегании в истоках р. Верх. Игдоми, следующий:

1. Ксенолавобрекции кварцевых порфиров, содержащих до 50% угловатых обломков песчаников, алевролитов, фельзит-порфиров, размером от долей миллиметра до 1—2 см и более	более 100 м
2. Пачка переслаивающихся (через 10—15 м) туфопесчаников, внутриформационных брекций алевролитовых. В основании пачки слой пеплового туфита пепельно-серого цвета, мощностью 2—3 см	100 „
3. Ксенолавобрекции кварцевых порфиров серовато-зеленого цвета	20 „
4. Пачка переслаивающихся (через 1—2 м) туфопесчаников, внутриформационных брекций алевролитовых и песчаниковых	10 „
5. Ксенолавобрекции кварцевых порфиров, реже кварцевые порфирь серовато-зеленого цвета с небольшим (до 5%) количеством обломков песчаников и алевролитов	10 „
6. Внутриформационные конгломерато-брекчи, содержащие прослои ксенолавобрекций, кварцевых порфиров, мощностью 0,5 м. Конгломерато-брекчи состоят из обломков и гальки алевролитов, песчаников, реже кварцевых порфиров и их ксенолавобрекций, размером от нескольких миллиметров до 5—10 см. Связующая масса представлена песчано-глинистым материалом темно-серого цвета, в котором видны обломки зерен кварца, белых полевых шпатов	30 „
7. Кварцевые порфирь и их ксенолавобрекции зеленовато-светло-серого цвета	30 „
8. Внутриформационные брекчи алевролитовые и песчаниковые с косой слоистостью	70 „
9. Ксенолавобрекции кварцевых порфиров, содержащие до 30% обломков песчаников, алевролитов, фельзит-порфиров	30 „
10. Внутриформационные брекчи алевролитовые и песчаниковые, туфогенные песчаники	50 „
Мощность более 450 м.	

Суммарная мощность холдоминской (?) свиты 800—900 м.

Кварцевые порфирь имеют порфировую структуру со стекловатой, реже микропилитовой структурой основной массы. Порфировые выделения — кварц, плагиоклаз, калиевый полевой шпат (ортоклаз), содержатся в количестве 30—50%. Аксессорные минералы — циркон, апатит; из рудных — магнетит. Вторичные минералы — серцит, хлорит, эпидот. По данным силикатного анализа кварцевые порфирь имеют следующий состав (в %): SiO₂ 71,71, TiO₂ 0,31, Al₂O₃ 13,29, Fe₂O₃ 0,28, FeO 2,95, MnO 0,07, MgO 0,76, CaO 0,88, Na₂O 2,97, K₂O 4,66, SO₃ 0,06, P₂O₅ 0,1, CO₂ 1,38, H₂O 1,18, сумма 100,42.

Внутриформационные брекчи песчаниковые состоят из угловатых обломков мелкозернистых кварцево-полевошпатовых песчаников, размером от долей миллиметра до 5—10 см, которые скементированы тем же кварцево-полевошпатовым песчаником.

Внутриформационные брекчи алевролитовые состоят соответственно из угловатых обломков алевролитов и алевритовых песчаников, скементированых алевролитом. Ископаемых органических остатков в породах холдоминской свиты на площиади листа не обнаружено. Абсолютный возраст кварцевых порфиров из бассейна р. Сияни, определенный аргоновым методом в лаборатории ВСЕГЕИ под руководством Н. И. Полевой, равен 100 млн. лет, что соответствует примерно границе верхнего и нижнего мела.

Предыдущими исследователями (Е. Б. Бельтеневым, А. И. Исаковой и др.) эти эфузивы на соседней территории (листы М-54-I и М-53-XII) условно относились к верхнему мелу. Однако, учитывая, что рассматривающие вулканогенно-осадочные образования несогласно перекрыты андезитами, сходными с андезитами амутской свиты, охарактеризованной остатками позднемеловой флоры, формирование их, по нашему мнению, происходило в конце

раннего мела. По петрографическому составу и по положению в разрезе эти образования сопоставляются с холдоминской свитой хр. Мяо-Чан, в которой обнаружены растительные остатки, характерные для сравнительно высоких горизонтов нижнего мела.

Верхний отдел

Амутская свита (Cr_2am). Наибольшее площадное распространение описываемая свита имеет в верховых рек Харпина, Харпичикана и Боктора. Сложена она андезитами, реже порфиритами и их туфами. В верховых рек Верх. и Ниж. Игдоми, где амутская свита несогласно залегает на солинской, падалинской, горюнской и холдоминской (?) свитах, а также на гранодиорит-порфирах раннемелового возраста, в основании ее разреза имеют место ксенолавобрекции кварцевых порфиритов и туфогенные конгломераты, мощностью до 20—30 м. Галька в туфоконгломератах в различной степени окатанная, размером 0,5—3 см и более. Представлена она песчаниками, алевролитами, кварцевыми порфирами, фельзит-порфирами. Цементом служит туфогенный песчаник, в котором наблюдается повышенное содержание (до 1—2%) циркона, апатита и магнетита. Эти минералы в качестве аксессорных отмечаются в холдоминской свите и в раннемеловых гранодиорит-порфирах. Стратиграфически выше туфоконгломератов залегают буровато-зеленовато-серые роговообманковые и биотит-пироксеновые кварцодержащие андезиты и порфиры, мощностью 200—250 м. Самые верхи покрова в этом месте сложены темно-серыми пироксеновыми андезитами с небольшим количеством порфировых выделений белого полевого шпата. Мощность амутской свиты на этом участке, подсчитанная графическим путем, составляет 350—400 м.

Наиболее полный разрез амутской свиты наблюдался в коренном залегании и по делювию на правом берегу р. Нирана, в среднем ее течении. Здесь свита имеет следующее строение:

1. Ксенолавобрекции порфиритов зеленовато-серые	более 40 м
2. Порфириты пироксеновые буровато-серые полосчатые с мелкими (до 1 мм) порфировыми выделениями белого полевого шпата	50—75 „
3. Андезиты пироксеновые буровато-серые с крупными (до 3—5 мм) и редкими порфировыми выделениями полевого шпата	50 „
4. Порфириты пироксеновые зеленовато-серые с прослоями лавобрекций порфиритов, мощностью 5—8 м	80—100 „
5. Порфириты пироксеновые зеленовато-серые с многочисленными мелкими (до 1—2 мм) порфировыми выделениями белого полевого шпата	75 „
6. Андезиты биотит-амфибол-пироксеновые темно-серые с редкими крупными (до 5 мм) порфировыми выделениями полевого шпата	80—100 „
7. Андезиты биотит-пироксеновые розовато- и сиренево-серые с большим количеством крупных (до 3—5 мм) порфировых выделений полевого шпата	300 „
8. Андезиты биотит-амфибол-пироксеновые розовато- и темно-серые	5 „
9. Андезиты пироксен-амфиболовые темно-серые	10 м
10. Андезиты пироксеновые серые или коричневато-серые с единичными порфировыми выделениями белого полевого шпата	75 „
Мощность 865—930 м.	
В истоках рек Харпина и Харпичикана в разрезе амутской свиты значительное место принадлежит туфам. Сводный разрез амутской свиты следующий:	
1. Агломератовые туфы, состоящие из угловатых обломков и глыб спилитов, диабазов, рассланцеванных алевролитов, песчаников, размером до 1 м, cementированных пакситовыми туфом андезита	1—10 м

2. Пакситовые туфы андезита с редкими маломощными линзами пакситовых туфов и углистых туфоаргиллитов, с обугленными растительными остатками	70—100 м
3. Андезиты роговообманковые коричневато- или зеленовато-серые с крупными порфировыми выделениями белого полевого шпата, содержащие маломощные (0,2—1 м) прослои пакситовых светло-серых туфов	70 „
4. Андезиты биотитово-роговообманковые темно-серые	20 „
5. Андезиты роговообманковые темно-серые с зеленоватым оттенком	30 „
6. Андезиты пироксеново-роговообманковые серые, зеленовато-серые и розовато-серые	80 „
7. Пачка переслаивающихся (через 0,2—20,0 м) ксенотуфов андезитов с пакситовыми туфами андезитов светло-серого и серого цвета, содержащих линзы углистых аргиллитов и обугленные растительные остатки, среди которых установлены (определения М. М. Кошман): <i>Cladophlebis frigida</i> (Heer) Sew., <i>C. arctica</i> (Heer) Krysh., <i>C. sp.</i> , <i>Cephalotaxopsis heterophylla</i> Hollick, <i>Sequoia ambigua</i> Heer sp., <i>Nilssonia cf. yukonensis</i> Hollick, <i>Taeniopteris cf. spatulata</i> Me C., <i>Menispermites</i> sp., <i>Osmunda</i> sp.	65 м
8. Ксенолавобрекции и ксенотуфы андезитов	20 „
Мощность разреза 356—395 м.	

Суммарная мощность амутской свиты 800—1000 м.

Андезиты являются порфировыми породами с большим (до 50%) количеством порфировых выделений. Последние представлены плагиоклазом № 35—60, ромбическим (гиперстен) и моноклинным пироксенами, базальтической роговой обманкой, биотитом и редко кварцем. Главная роль среди вкраплениников принадлежит плагиоклазу. Для роговых обманок, биотита и гиперстена характерны опацитовые каймы. Роговые обманки иногда замещаются магнетитом на цело. Основная масса чаще всего пилотакситовая и микропойкилитовая, реже гиалопилитовая. Нередко она имеет флюктуационное строение. Аксессорные минералы представлены апатитом, цирконом, магнетитом.

Порфириты от андезитов отличаются лишь наличием вторичных минералов — серицита, хлорита, из которых первый интенсивно замещает плагиоклаз, а второй — биотит.

Пакситовые туфы андезитов внешне сходны с туфогенными песчаниками. Они имеют мелко- или среднезернистую пакситовую, реже алевропакситовую структуру и состоят на 50—60% из остроугольных зерен плагиоклаза, роговой обманки, пироксена, размером 0,05—1,7 мм, погруженных в зеленовато-бурую, почти изотропную массу, представленную хлоритом и опалом. Кластический материал в туфах в значительной степени отсортирован, что свидетельствует о формировании их, скорее всего, в водной среде.

Химические анализы биотит-пироксеновых кварцодержащих андезитов (табл. I, пор. № 5, 6) указывают на пересыщенность их глиноzemом и на повышенное содержание железа и магния. Количество кремнезема в них достигает 58—60%, а щелочей 7,3% и не опускается ниже 5%, причем, содержание окиси натрия везде немного выше окиси калия.

Химический анализ роговообманковых андезитов (табл. № 1, пор. № 4) указывает на принадлежность их к породам нормального ряда, очень близким по составу с позднемеловыми диоритовыми порфиритами.

Собранные в породах амутской свиты растительные остатки, по мнению М. М. Кошман, принадлежат позднемеловому времени. В спорово-пыльцевом комплексе, обнаруженному в углистых аргиллитах совместно с остатками растений, А. И. Мячиной отмечается содержание большого количества (до 48%) пыльцы из семейства таксидиевых, наличие *Glyptostrobus*, *Sequoia*, а также

единичные экземпляры покрытосеменных из семейства ильмовых и крушино-вых типа палиурус, что также указывает на верхнемеловой возраст вмещающих их отложений.

ПАЛЕОГЕНОВАЯ СИСТЕМА

Эоцен

Кузнецковская (?) свита ($Pg_2kz?$). В кузнецковскую (?) свиту объединены базальты, андезито-базальты, реже андезиты, их туфы, слагающие покровы, несогласно залегающие на юрских и меловых образованиях, включая позднемеловые диоритовые порфиры. Эти эфузивы распространены в верховьях рек Харпина, Бичи, Боктора и некоторых других пунктах. Строение свиты на различных участках района неодинаково. Наиболее широко распространены базальты и андезито-базальты. Андезиты и пирокластические разности установлены только в бассейне р. Пакто (левый приток р. Харпина), где строение нижней части свиты следующее:

1. Андезито-базальты роговообманковые серого цвета афировые	15 м
2. Андезито-базальты, редко андезиты пироксеновые, пироксеново-роговообманковые серого и коричневато-серого цвета порфировой структуры	130 „
3. Андезито-базальты пироксеновые коричневого цвета афировые	50 „
4. Андезито-базальты, реже андезиты, пироксеновые крупнопорфировой структуры	110 „
5. Псаммитовые туфы, реже ксенотуфы андезитов и андезито-базальтов серого цвета	25 „
6. Базальты оливиновые смоляно-черные	более 70 „
Мощность разреза более 400 м.	

Наиболее полный разрез свиты преимущественно по коренным обнажениям наблюдался в верховьях р. Боктора, где на андезитах амутской свиты залегают:

1. Андезито-базальты пироксеновые коричневато-серые с четко выраженной тонкоплитчатой отдельностью	150 м
2. Базальты коричневато-серые и буровато-красные пористые	50—75 „
3. Базальты пироксен-оливиновые и оливиновые смоляно-черные с шаровой отдельностью. Среди них встречаются прослои лавобрекчий базальтов, мощностью 10—30 м	200—225 „
4. Базальты пироксеновые серые с миндалекаменной текстурой. Встречаются потоки базальтовых амидалоидов серого цвета, состоящих из 70—80% из миндалин эллипсоидальной формы, размером до 3 см, сложенных халцедоном, опалом и хлоритом	175—200 „
Мощность разреза 500—650 м.	

Андезиты и андезито-базальты имеют порфировую, реже афировую структуру с гиалопилитовой, пилотакситовой структурами основной массы. Количество порфировых выделений составляет 30—50%. Представлены они моноклинным и ромбическим (гиперстен) пироксенами, плагиоклазами № 40—70 и изредка базальтической роговой обманкой. Пироксены обычно образуют громеропорфировые скопления изометричной формы, размером до 1—2 см. В качестве примеси в породе присутствует 1—2% магнетита. Вторичные минералы отсутствуют.

Для базальтов характерна порфировая, реже афировая структуры с интерсертальной структурой основной массы. Количество порфировых выделений, представленных плагиоклазами № 60—80, оливином и моноклинным пироксеном (авгитом), незначительно (10—20%). Из вторичных минералов встречается иддингсит, обычно замещающий оливин. Основная масса состоит

из беспорядочно ориентированных лейст основного плагиоклаза, погруженных в бурое вулканическое стекло.

Нижняя возрастная граница рассматриваемых эфузивов определяется несогласным залеганием их на позднемеловых диоритовых порфириях, прорывающих и контактирующих метаморфизующих андезиты амутской свиты. Верхняя возрастная граница устанавливается благодаря залеганию на них липаритов и их туфов, охарактеризованных бедным спорово-пыльцевым комплексом, указывающим лишь на их палеогеновый — неогеновый возраст.

По петрографическому составу и по положению в разрезе описываемые эфузивы хорошо сопоставляются с кузнецковской свитой Сихотэ-Алиня, содержащей многочисленные остатки эоценовой флоры.

Олигоцен (?)

Липариты, дациты, их туфы, туфоконгломераты, аргиллиты ($Pg_3?$). Из рассматриваемых образований наиболее широко распространены липариты и их туфы. В верховье р. Боктора и по левобережью р. Харпина ими сложено несколько небольших ($2-10 \text{ км}^2$) по площади горизонтально залегающих покровов, перекрытых базальтами кизинской свиты. В основании липаритовых покровов обычно наблюдается горизонт псефитовых ксенотуфов липаритов, мощностью до 5—10 м, состоящих на 70—80% из угловатых обломков андезитов, песчаников, базальтов, алевролитов. Мощность липаритов и их туфов здесь достигает 100—150 м.

Дациты, туфогенные конгломераты и аргиллиты встречаются редко. Ими сложено лишь два небольших (менее 1 км^2) по площади покрова в бассейне р. Пакто. В верховьях р. Пакто на андезитах и туфах амутской свиты залегают:

1. Туфоконгломераты, состоящие из хорошо окатанной гальки андезитов, их туфов, алевролитов, размером до 3 см, сцепленных туфогенным песчаником	0,2 м
2. Аргиллиты углистые черного цвета	0,2 „
3. Псаммитовые туфы липаритов белого и светло-серого цвета	5,4 „
4. Аргиллиты туфогенные темно-серые	2,0 „
5. Туфоконгломераты, состоящие из хорошо окатанной гальки андезитов, их туфов, вторичных кварцитов, сцепленных псаммитовым туфом липарита	3,6 „
6. Пачка переслаивающихся (через 0,1—0,3 м) аргиллитов, туфов липаритов, содержащих обугленные растительные остатки	1,6 „
7. Пепловые туфы липаритов белого и пепельно-серого цвета	3,2 „
8. Пачка переслаивающихся (через 0,05—0,2 м) аргиллитов с обугленным растительным детритом, ксенотуфов и пепловых туфов липаритов	4,8 „
9. Пачка переслаивающихся (через 0,2—0,3 м) ксенотуфов и пепловых туфов липаритов и редко туфогенных гравелитов	2,3 „
10. Аргиллиты туфогенные темно-серые с обугленным растительным детритом	10,3 „
11. Аргиллиты туфогенные с линзами и маломощными (5—20 см) прослоями черных аргиллитов	6 „
12. Ксенотуфы дацитов	4,8 „
13. Туфогенные аргиллиты с маломощными прослоями углистых аргиллитов	2,8 „
Мощность разреза 47,2 м.	

Несколько иной состав низы эфузивного покрова имеют вблизи устья р. Пакто. Здесь на андезитах и андезито-базальтах кузнецковской (?) свиты залегают:

1. Дациты светло-серые с прослоями ксенотуфов, мощностью 0,5 м	2,5 м
2. Агломератовые туфы дацитов	0,7 „

3. Пачка переслаивания (через 2—5 м) дацитов и их ксенотуфов светло-серого цвета	35 м
4. Псаммитовые туфы липаритов зеленовато-желтого цвета	1 "
5. Ксенотуфы липаритов	0,9 "
6. Ксенотуфы липаритов желтовато-бурового цвета с маломощными (до 0,15 м) прослойками черных углистых аргиллитов	1,4 "
Мощность разреза 41,5 м.	

Липариты являются порфировыми породами обычно белого, бледно-розового или сиреневого цвета, содержащими большое (до 50%) количество крупных (до 5 мм) порфировых выделений дымчатого кварца, водяно-прозрачных плагиоклазов № 30—42, анортоклаза или ортоклаза и единичные пластинки темно-бурового биотита. Основная масса липаритов имеет гиалиновую структуру, часто с флюктуационным строением. Аксессорные минералы представлены цирконом, орбитом и магнетитом.

По данным силикатного анализа, липариты имеют следующий состав (в %): SiO_2 76,79, TiO_2 0,15, Al_2O_3 11,44, Fe_2O_3 0,25, FeO 1,54, MnO 0,02, MgO 0,49, CaO 0,68, Na_2O 2,82, K_2O 4,66, P_2O_5 0,01, CO_2 0,38, H_2O 0,92, сумма 100,15.

Дациты имеют порфировую структуру с гиалиновой структурой основной массы. Порфировые выделения в них представлены роговой обманкой бурого цвета, плагиоклазами № 30—45, редко биотитом и кварцем, содержание которых не превышает 5—10%.

Туфы липаритов, в отличие от туфов дацитового состава содержат большое количество обломков зерен дымчатого кварца, характерного в районе только для липаритов. В истоках р. Пакто в углистых аргиллитах палинологическим анализом (определение М. Зивы) установлены единичные зерна *Ginkgo* sp., *Taxodiaceae*, *Taxodium* sp., *Magnolia* sp., *Picea* sp. (мелозойского облика), *Ulmus* sp., *Filicales*, *Gleichenia* sp., *Leiotrichites* sp.

По такому бедному как в количественном, так и в качественном отношении спорово-пыльцевому комплексу можно лишь предположительно говорить о палеогеновом — неогеновом возрасте включающих его осадков. Но, учитывая, что они несогласно залегают на эфузивных кузнецковской (?) свиты эоценового возраста и несогласно перекрываются базальтами кизинской свиты, возраст рассматриваемых образований условно принимается как олигоценовый. По петрографическому составу и по положению в разрезе они сопоставляются с хуцинской свитой Сихотэ-Алиня.

НЕОГЕНОВАЯ СИСТЕМА

Кизинская свита (N ks). В кизинскую свиту объединены базальты, их лавобрекчи, реже андезито-базальты и туфы, слагающие покровы, несогласно залегающие на юрских, меловых и палеогеновых осадочных и вулканогенных образованиях в районе, включая липариты, дациты и их туфы. Эфузивы кизинской свиты в виде узких полос (10—12 км) располагаются вдоль долин рек Харпина и Харличикана, а также слагают несколько небольших (1—2 км²) по площади покровов в верховьях р. Боктора.

Почти повсеместно в основании свиты залегают афировые оливиновые базальты серого или темно-серого цвета с тонкоплитчатой отдельностью, мощностью около 50 м.

Стратиграфически выше их лежат светло-серые микрокристаллические-зернистые пироксеновые или оливин-пироксеновые базальты часто с четко выраженной флюидальностью. Мощность этого потока не более 40 м.

На этих базальтах в низовых р. Харпина лежит поток переслаивающихся массивных и пористых оливиновых и оливин — пироксеновых базальтов черного и коричневато-серого цветов, мощностью около 60 м. В среднем течении р. Харпина, вблизи устья р. Джолокона на микрокристаллические-зернистых базальтах залегает поток серых гиперстеновых андезито-базальтов и их лавобрекций, мощностью 40—50 м. Последние перекрываются пачкой темно-серых, иногда сиренево-серых, бурых плотных и пористых базальтов.

В трех местах по левобережью р. Пакто и в истоках р. Харпина, в строении кизинской свиты значительное место занимают туфы и лавобрекчи. Разрез свиты, составленный по коренным обнажениям на левобережье р. Харпина, ниже устья р. Пакто, имеет следующий вид:

1. Базальты оливин-пироксеновые афировые темно-серые	20 м
2. Ксенолавобрекции пироксеновых базальтов, состоящие из угловатых обломков базальтов, андезитов, размером 0,5—2 см, которые погружены в пузыристую лаву пироксеновых базальтов желтовато-серого цвета	4 "
3. Базальты серые миндалекаменные	12 "
4. Агломератовые туфы базальтов, состоящие из угловатых обломков стекловатых смоляно-черных и серых пироксеновых базальтов, размером 0,5—30 см и более, сцепленных пироксеновым базальтовым туфом желтовато-зеленого и розово-желтого цвета	25 ,
5. Базальты пироксеновые афировой структуры смоляно-черные	40 ,
6. Лавобрекции пироксеновых смоляно-черных базальтов с пачками агломератовых туфов базальтов	100—150 ,

Мощность разреза 200—250 м. Описываемые породы встречаются на небольших (1—3 км²) площадях округлой формы и сформировались, скорее всего, вблизи очагов излияния лавы.

Максимальная мощность кизинской свиты, судя по разнице гипсометрических отметок ложа эфузивного покрова и максимальных отметок вершин, сложенных базальтами, составляет 150—250 м.

Базальты и андезито-базальты имеют афировую, реже порфировую структуру с пилотакситовой или интерсертальной структурой основной массы. Для микрокристаллических разностей базальтов из низов свиты характерна основная масса с микродолеритовой и микропойкилофитовой структурами. Порфировые выделения в базальтах представлены моноклинным пироксеном и оливином, а в андезито-базальтах — плагиоклазами № 60—65, базальтической роговой обманкой, гиперстеном. Количество фенокристаллов не превышает 10—15%. Основная масса обычно состоит из микролитов или лейст основного плагиоклаза, между которыми расположены мелкие зерна пироксенов, магнетита (до 2%) и бурового вулканического стекла. В разностях с микропойкилофитовой структурой основной массы фенокристаллы цементируются сравнительно крупными (0,5—1 мм) зернами моноклинного пироксена, содержащими пойкилитовые вrostки плагиоклаза короткопризматической формы.

По данным силикатного анализа, оливиновые базальты имеют следующий состав (в %): SiO_2 53,41, TiO_2 1,26, Al_2O_3 16,18, Fe_2O_3 5,54, FeO 4,96, MnO 0,2, MgO 3,98, CaO 7,12, Na_2O 3,59, K_2O 1,82, P_2O_5 1,2, SO_3 0,53, сумма 99,97.

От раннечетвертичных плато-базальтов широко распространенных к юго-западу от района, рассматриваемые базальты отличаются меньшим содержанием окиси титана, темноцветных компонентов, «анортитовой» молекулы и большим количеством алюмосиликатов (Осипова, 1955ф, 1963ф).

Эфузивы кизинской свиты, так же как и эфузивы амутской и кузнецковской свит, четко фиксируются на аэромагнитных картах-графиках ДТ в виде площадных резко дифференцированных знакопеременных магнитных аномалий с диапазоном изменения напряженности магнитного поля от —1000 до +2500 гамм (рис. 1).

Исконемых органических остатков в описываемых эфузивах в районе не найдено. По петрографическому составу и по положению в разрезе эти эфузивы хорошо сопоставляются с базальтами кизинской свиты неогенового возраста, выделенными на Северном Сихотэ-Алине (Плахотник, 1962). Установлены они также на территории смежных листов М-53-Х и М-53-ХI, где среди них обнаружен богатый спорово-пыльцевой комплекс, указывающий на неогеновый возраст осадков (Колодезный, Евтушенко, 1963ф; Зытнер, 1960).

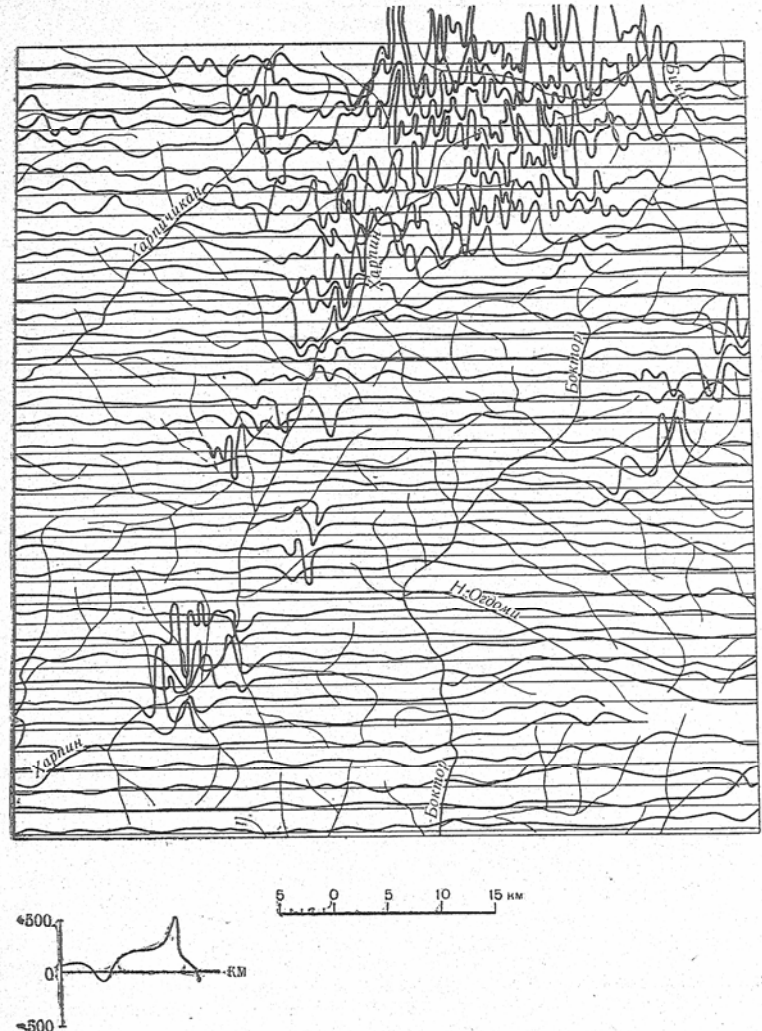


Рис. 1. Карта аномального магнитного поля территории листа М-53-VI в графиках ΔT (вертикальный масштаб 1 см — 500 гамм, горизонтальный — 1 : 500 000), составленная сотрудниками геофизической экспедиции ДВГУ
Л. И. Винник и Л. С. Метелевой по материалам Г. М. Иванова

ЧЕТВЕРТИЧНАЯ СИСТЕМА

Нижнечетвертичные (?) отложения (Q_{II})

К нижнечетвертичным отложениям четвертичной системы условно отнесены ожелезненные галечники, пески и глины, установленные в трех местах на Боктор — Бичинском и Боктор — Харпинском водоразделах. На последнем ими сложена площадь около 0,5 км². Среди ожелезненных галечников наблюдались линзы конгломератов и песчаников с железистым цементом. Цвет пород желтовато-бурый. Галька хорошо окатана, размером 0,5—5 см. Сложена она песчаниками, алевролитами и кремнистыми сланцами. Описываемые образования в настоящее время интенсивно размываются, о чем свидетельствуют многочисленные находки обломков песчаников и конгломератов с железистым цементом в истоках рек Дялюмка, Сарничку и Мал. Делян. Истинная мощность древнего аллювия не установлена. Он был вскрыт шурфом лишь на глубину 1,4 м.

Органических остатков в рассматриваемых отложениях в районе не установлено. По данным Я. М. Гройсмана (1955ф), аналогичные отложения в Эворонской депрессии залегают в основании рыхлых четвертичных образований. Возраст их условно принимается как раннечетвертичный.

Среднечетвертичные отложения (Q_{II})

К среднечетвертичным отложениям четвертичной системы относятся отложения 12—25-метровой второй надпойменной террасы, развитой в долинах рек Боктора, Харпина, Харпичанка и Бичи, а также аллювиальные отложения, установленные на поверхности водоразделов, возвышающейся над уровнем воды в современных реках на 20—25 м.

Рассматриваемые образования представлены преимущественно гравийно-галечниковыми накоплениями с примесью песка, супеси и глины. Наиболее хорошо изучен разрез бокторской террасы, расположенный по правому берегу р. Боктора, вблизи устья руч. Никиткина. Разрез этой террасы следующий:

1. Почвенно-растительный слой	0,15 м
2. Суглинок серовато-желтый с примесью небольшого количества гравия	0,5 "
3. Глина светло-серая	0,05 "
4. Суглинок с гравием	1,4 "
5. Гравийно-галечниковый материал с супесью (до 40%)	0,55 "
6. Глина светло-серая	0,05 "
7. Супесь желтовато-серая	0,5 "
8. Супесь с гравием и песком	0,4 "
9. Суглинок желтовато-серый с редкой мелкой галькой и гравием	0,15 "
10. Глина бурая с редкой мелкой галькой и гравием	0,10 "
11. Суглинок желтовато-серого цвета с примесью (до 30%) вулканического материала	2,2 "
12. Галечники сильно ожелезненные	0,5 "
13. Гравийно-галечниковый материал с примесью щебня, окрашенный гидроокислями железа в желтовато-бурый цвет. Галька, размером от 1 до 10 см хорошо окатана и представлена песчаниками, алевролитами, кремнистыми сланцами, андезитами, базальтами, кварцевыми порфиритами, порфиритами	5 "
Мощность разреза	11,5 м.

Ниже залегают коренные породы, представленные песчаниками и алевролитами ульбинской свиты.

Среднечетвертичные аллювиальные отложения на водоразделе Харпина и Бичи имеют следующее строение:

1. Галечники слабо сцепментированные с примесью (до 20%) песчано-глинистого материала. Размер гальки 1—10 см. Галька хорошо окатана и представлена песчаниками, базальтами, андезитами и т. д.	3 м
	25

2. Галечники с линзами темно-серой глины	0,3 м
3. Галечники ожелезненные	0,6 „
Мощность 3,9 м.	

Рассматриваемые отложения возвышаются над долиной р. Лев. Бичи на 25 м. В них установлен спорово-пыльцевой комплекс, характерный, по заключению палинолога ДВГУ И. Б. Мамонтовой, преимущественно для теплолюбивой флоры. Наиболее распространена пыльца древесных и особенно сережкоцветных (березы, ивы, ольхи, лещины). Встречается пыльца восковника, граба, дуба, клена. Пыльца хвойных (ели и сосны) находится в небольшом количестве. Спорово-пыльцевой комплекс содержит также пыльцу злаковых, кипарисовых, осоковых, лотиковых, марлевых, гречишных и других и споры кочедыжниковых, мхов, хвощей и ужовниковых. Рассматриваемый спорово-пыльцевой комплекс позволяет сделать предположение, что описываемые осадки формировались в условиях оптимального климата, скорее всего, в среднечетвертичную эпоху.

Верхнечетвертичные отложения (QIII)

Верхнечетвертичные отложения представлены галечниками, песками, суглинками, глинами, часто ожелезненными, слагающими 2—10-метровую террасу, занимающую обширные площади в долинах всех крупных рек района. В низовье р. Харпина и по левобережью р. Эвуря в разрезе такой террасы преобладают пески, суглины и глины. Наиболее хорошо аллювиальные отложения первой надпойменной террасы обнажены в долине р. Боктора. Разрез этой террасы у устья р. Куре Ялты следующий:

1. Почвенно-растительный слой	0,15 м
2. Песок и супесь желтовато-светло-серого цвета	0,6 „
3. Глина комковатая коричневато-серая пестро окрашенная	0,25 „
4. Галечник, состоящий из гальки и валунов, размером 2—15 см.	
Галька и валуны хорошо окатаны и представлены разнообразными песчаниками. В галечнике содержится до 15% глинистого песка и линзы пепельно-серой вязкой глины	2,8 „
5. Галечник ожелезненный	0,5 „
6. Песок желтовато-бурый мелкозернистый часто переслаивающийся (через 1—3 см) с темно-серой песчанистой глиной	0,2 „
7. Глина темно-серая песчанистая с растительным детритом. В глине присутствует до 15% гальки песчаников, размером до 10 см	0,4 „
8. Галечник с линзами песчанистой глины	0,2 „
Мощность разреза 5,1 м.	

В долине р. Харпина, в 4 км южнее устья р. Лев. Хосоми, эта же терраса имеет следующее строение:

1. Почвенно-растительный слой	0,1 м
2. Глина комковатая бурая с конкрециями (до 1 см) бурого железистого	1,2 „
3. Песок илистый тонкозернистый коричневато-желтый	0,5 „
4. Глина светло-серая иловатая с многочисленными ходами илоедов, иногда со скоплениями растительного детрита и линзами желтовато-бурого среднезернистого песка, вокруг которых отмечаются корки бурого лимонита с тонкополосчатой текстурой	0,9 „
5. Песок среднезернистый иловатый, обогащенный растительным детритом	0,3 „
6. Песок бурый сильно ожелезненный с линзами бурого лимонита тонкополосчатой текстуры	0,14 „
7. Глина вязкая темно-серая с синим оттенком, содержащая линзы среднезернистого пепельно-серого песка, обогащенного растительным детритом и полуокатанную сильно разрушенную гальку песчаника	0,86 „
Мощность разреза 4,0 м.	

Повсеместно в описываемых отложениях собраны богатые спорово-пыльцевые комплексы, содержащие споры и пыльцу позднечетвертичного времени (определения А. И. Мячиной). Среди спор в этих комплексах наиболее широко распространены сфагновый мох и папоротникообразные; плауны, плавунковые и ужовниковые представлены единичными экземплярами. Из пыльцы древесных пород самыми обильными являются сережкоцветные (береза, ольха, лещина). В виде единичных экземпляров встречается пыльца широколистенных пород: дуба, вяза, маньчжурского ореха. Из хвойных присутствует пыльца сосны, ели, лиственницы и кедрового стланика.

Верхнечетвертичные и современные отложения объединенные (QIII+IV)

Объединенные верхнечетвертичные и современные отложения представлены пролювиально-делювиальными глинами, суглинками со щебнем и дресвой. Они часто образуют мощные пласти, сползающие с пологих склонов, окаймляющих депрессионные участки долин рек Харпинка, Харпина, Бичи и Боктора, перекрываю алювий речных террас и переслаивающиеся с ним. Мощность этих образований, вскрытая скважинами, пробуренными по северо-западной окраине Харпинской мари, вблизи южной границы исследованной площади (Грайсман, 1955ф), более 10 м. На площади листа пролювиально-делювиальных отложений изучались с помощью шурfov лишь на глубину до 3,5 м.

Образование щебня, щебнистых суглинков и глин на Дальнем Востоке связывается с морозным выветриванием, имевшим место в период максимального походления в позднечетвертичную эпоху. Поскольку образование пролювиально-делювиальных шлейфов происходит и в настоящее время, возраст их принимается как объединенный позднечетвертичный и современный.

Современные отложения (QIV)

Отложения современного отдела четвертичной системы представлены кофовым, русловым и пойменным аллювием *. В поймах рек Харпина, Харпичикана, Лев. и Мал. Бичи современные аллювиальные отложения представлены разнообразными песками, суглинками и реже глинами, содержащими линзы гравия и галечников. Аллювий о. Боктора, а также рек Харпина и Харпичикана в их верховых представлена плохо отсортированным песчано-галечниковым или валунно-галечниковым материалом, степень окатанности которого уменьшается при движении вверх по течению.

Накопление описываемых осадков происходит в настоящее время. Мощность их не превышает 5—10 м.

ИНТРУЗИВНЫЕ ОБРАЗОВАНИЯ

Интузивные породы в районе распространены весьма незначительно. Ими занята площадь около 25 км². Относятся интузии к четырем возрастным комплексам: раннемеловому, позднемеловому, палеогеновому и неогеновому.

Раннемеловые интузии

К раннемеловым интузиям отнесены гранодиориты и гранодиорит-порфиры.

* Широко развитые на заболоченной поверхности депрессий торфяники и глины, охарактеризованные современными спорами и пыльцой, ввиду их малой мощности (до 2 м) на геологической карте не отображены.

Гранодиориты ($\text{уд} \text{Cr}_1$) наблюдаются лишь в истоках левого притока р. Сияни, где ими сложен массив, прорывающий и контактирует метаморфизующий породы падалинской свиты и почти полностью перекрытый вулканогенно-осадочными образованиями холдоминской свиты. На аэромагнитных картах масштаба 1:200 000 этот массив фиксируется в виде положительной аномалии магнитного поля порядка 150—250 гамм (Шапочка и др. 1960г) *. Площадь интрузивного массива, судя по площади аномалии, установленной над ним, составляет 3—4 км².

Гранодиориты являются серыми полнокристаллическими равномерно-среднезернистыми, реже порфировидными породами. Они обладают гипидиоморф-назернистой структурой и состоят из плагиоклаза № 25 (40%), кварца (20%), калиевого полевого шпата (15%) и биотита (10%). Кварц и калиевые полевые шпаты часто образуют микропегматитовые срастания. Из аксессорных минералов отмечаются циркон, апатит и турмалин. Вторичные изменения выражены в хлоритизации биотита, биотитизации роговой обманки, серицитизации плагиоклаза и пелитизации калиевых полевых шпатов. Контактовый метаморфизм привел к образованию алевролитам и песчаникам биотитовых роговиков.

Раннемеловой возраст рассматриваемых интрузивных образований устанавливается на том основании, что они прорывают и контактируют метаморфизуют отложения падалинской свиты и с размывом перекрываются холдоминской свитой.

Гранодиорит-порфиры ($\text{уд} \text{Cr}_1$) пространственно и генетически связаны с кварцевыми порфирами и дацитами холдоминской свиты. Ими сложены три интрузивных массива и дайка северо-восточного направления, мощностью около 10 м. Наиболее крупный из массивов, расположенный в истоках рек Верх. и Ниж. Игдоми, имеет длину 7 км при ширине 0,5—1,0 км. Строение интрузивных массивов неоднородное. Центральные части их обычно сложены гранодиорит-порфирами, а краевые — кварцевыми порфирами.

Гранодиорит-порфиры являются полнокристаллическими-порфировыми зеленовато-серыми породами с криптовой, микропризматической или микроплитовой структурой основной массы. Составляет она из плагиоклаза (45—55%), калиевого полевого шпата (25—35%), кварца (5—10%) и биотита (10—15%). Порфировые выделения составляют 30—50% породы и представлены крупными (до 7 мм) фенокристаллами плагиоклазами № 38—40, калиевого полевого шпата и биотита. Из аксессорных минералов присутствуют циркон, апатит и магнетит, содержание которых достигает 2—3%, что весьма характерно для рассматриваемых пород. Из вторичных минералов постоянно присутствуют и довольно в значительных количествах серицит, хлорит, эпидот, карбонат.

Кварцевые порфиры от гранодиорит-порфиров отличаются лишь меньшей степенью раскрытия основной массы. Основная масса пилотак-ситовая или микропойкилитовая.

Судя по химическим анализам, ** гранодиорит-порфиры являются породами нормального ряда, либо несколько пересыщены глиноzemом. От средних типов пород по Дели гранодиорит-порфиры нормального ряда отличаются большим содержанием щелочных алюмосиликатов и темноцветных компонентов. У разностей, пересыщенных глиноzemом, щелочных алюмосиликатов еще больше, но зато меньше анонтитовой молекулы и темноцветных компонентов. Содержание окиси калия и окиси натрия в породах почти равное.

Описываемые гранодиорит-порфиры являются, по-видимому, жерловой фацией кварцевых порфиров и дацитов холдоминской свиты. Не исключена

* Осадочные породы юры и нижнего мела, а также образования холдоминской свиты немагнитны, поэтому прорывающие их интрузивные породы, обладающие заметной магнитностью, отчетливо дешифруются на аэромагнитных картах, даже на некоторой глубине от поверхности.

** Химические анализы пересчитаны на числовые характеристики по методу А. Н. Заварецкого и приведены в табл. 1, (№ 1, 2).

возможность, что часть из них образует пластовые интрузивные тела внутри эфузивного покрова. Эти субвуликанические интрузии, вероятно, приурочены к зонам разломов северо-восточного направления, о чем свидетельствует форма некоторых интрузивных тел в плане. Контактовый метаморфизм гранодиорит-порфиров проявился очень слабо. Песчаники, алевролиты и внутриформационные брекчи на контакте с ними лишь слегка осветлены и окварцованны. В кварцевых порфирах, фельзит-порфирах и дацитах на контакте с ними каких-либо изменений не наблюдалось.

Раннемеловой возраст субвуликанических гранодиорит-порфиров определяется на том основании, что они прорывают раннемеловые гранодиориты и перекрыты вернемеловыми образованиями амутской свиты *. Абсолютный возраст гранодиорит-порфиров из верховьев Верх. и Ниж. Игдоми, определенный Т. К. Ковалечук в лаборатории ДВГУ аргоновым методом, равен 71—73 млн. лет, а абсолютный возраст перекрывающих их андезитов амутской свиты 80 млн. лет **. Чем объясняется подобное несоответствие цифр абсолютного возраста рассматриваемых пород не вполне ясно. Скорее всего оно связано с тем, что гранодиорит-порфирь, из которых был отобран образец на определение абсолютного возраста, претерпели интенсивные гидротермальные изменения.

Позднемеловые интрузии

К позднемеловым интрузиям *** на территории листа относятся гранодиорит-порфирь, гранит-порфирь, диоритовые и кварцево-диоритовые порфириты.

Гранодиорит-порфирь ($\text{уд} \text{Cr}_2$) слагают небольшой (0,5 км²) горючесланцевой свиты в радиусе 500—600 м от интрузии превращены в биотитовые роговики и ороговикованные породы. Последние отмечаются также в 3 км восточнее рассматриваемого массива. Это свидетельствует о том, что здесь на глубине, вероятно, имеется крупное интрузивное тело, имеющее крайне неровную складчатую поверхность.

Гранодиорит-порфирь представляют собой светло-серые полнокристаллические-порфировые породы с микророганитовой структурой основной массы. Порфировые выделения в них представлены плагиоклазом № 40, калиевым полевым шпатом, обыкновенной роговой обманкой, биотитом и кварцем. Из аксессорных минералов, в отличие от раннемеловых гранодиорит-порфиров, отмечаются лишь единичные кристаллы циркона реже апатита и магнетита. Вторичные изменения выражены в серицитизации плагиоклазов.

Гранит-порфирь ($\text{уд} \text{Cr}_2$) слагают несколько небольших (до 2,5 км²) по площади массивов и серии даек в бассейне рек Верх. и Ниж. Игдоми, Сияни, Лимури и Джолокона. Они прорывают и контактируют метаморфизуют все образования района, включая холдоминскую свиту и раннемеловую гранодиорит-порфирь. Взаимоотношение их с андезитами амутской свиты неясно. Ширина контактовых ореолов достигает 1 км. По песчаникам, алевролитам и внутриформационным брекчиям образуются биотитовые и турмалиново-биотитовые роговики и ороговикованные породы. Почти все массивы гранит-порфирь ориентированы в субширотном направлении, приурочиваясь, вероятно, к зонам разрывных нарушений. Дайки гранит-порфиров имеют преимущественно северо-восточное простирание и круговое (60—80°) падение. Мощность их не превышает 10—20 м, а длина 1—2 км.

Гранит-порфирь представляют собой светло-серые или розовато-желтые, почти лейкократовые породы с четко выраженной полнокристаллическими-пор-

* Приводимые автором данные скорее указывают на позднемеловой возраст гранодиорит-порфиров. Прим. ред.

** Поправки на воздушный аргон сделаны в лаборатории ВСЕГЕИ под руководством Н. И. Полевой в 1963 г.

*** Все эти интрузии более правильно рассматривать как палеогеновые. Прим. ред.

фировой структурой. Структура основной массы обычно микрогранитовая, реже аплитовая или микрографическая. Порфировые выделения, слагающие 20–30% породы, представлены плагиоклазом № 37, калиевым полевым шпатом (микроклин, ортоклаз), кварцем и темно-бурым биотитом. Калиевые полевые шпаты и плагиоклазы часто образуют глымеропорфировые скопления, размером до 7 мм. Аксессорные минералы представлены цирконом и магнетитом. Из вторичных минералов в незначительном количестве присутствуют серцит, хлорит, эпидот. В краевых частях даек гранит-порфиры иногда переходят в кварцевые порфиры, отличающиеся от гранит-порфиров лишь наличием стекловатой основной массы и меньшим (до 10–20%) количеством порфировых выделений. Иногда эти кварцевые порфиры слагают самостоятельные дайки.

Химический анализ гранит-порфиров (табл. 1) свидетельствует о том, что они пересыщены глиномоземом и близки к аляскитам по Дели и Трегеру (Заварицкий, 1956). По сравнению с аляскитами в описываемых гранит-порфирах больше темноцветных компонентов и меньше щелочных алюмосиликатов. Для них характерно почти полное отсутствие аортитовой составляющей (*c*) и равные значения a' : t' , в то время как для аляскитов в цветной части магнезиально-железистые компоненты составляют очень малую часть, а аортитовая составляющая с 0,5–1,2.

Кварцево-диоритовые и диоритовые порфириты ($\delta\mu\text{Cr}_2$) слагают ряд небольших (до 1–2 км²) по площади массивов и серию даек в верховьях р. Харпина. Массивы, сложенные описываемыми породами, расположаются только среди андезитов амутской свиты и являются, скорее всего, их жерловой фацией, но возможны и близповерхностные согласно залегающие пластовые тела. В верховьях р. Пакто на контакте интрузии были встречены эруптивные брекчи, состоящие из обломков роговообманковых андезитов, сцепленных диоритовым порфиритом.

Кварцево-диоритовые и диоритовые порфириты имеют светло-серую, серую или зеленовато-серую окраску. Структура их поликристаллическая-порфировая или полипорфировая (невадитовая) с микрограмитовой, микропойкилитовой, микропизматически-зернистой структурами основной массы. Количество порфировых выделений составляет 30–70% состава породы. Представлены они плагиоклазом № 35–70, обыкновенной роговой обманкой, биотитом, кварцем и редко гиперстапоном. Из аксессорных минералов отмечаются апатит, циркон и рудные минералы (ильменит, магнетит), содержание которых повсеместно равно 0,5–2%. Вторичные изменения выражены в частичной хлоритизации биотита, серicitизации плагиоклаза и замещении роговой обманки агрегатом биотита и актинолита. Кварцево-диоритовые порфириты местами переходят в гранодиорит-порфиры, отличающиеся от первых лишь более кислым плагиоклазом № 35–37 и большим количеством кварца в порфировых выделениях.

Каких-либо следов контактового изменения в андезитах амутской свиты на границе с рассматриваемыми субвулканическими интрузиями не наблюдалось. Однако в этих интрузиях присутствуют ксенолиты роговиков по андезитам розовато-темно-серого цвета, состоящих из плагиоклаза (43%), кварца (40%), биотита (10%), турмалина (5%) и магнетита (2%).

Дайки диоритовых и кварцево-диоритовых порфиритов имеют северо-восточное и субмеридиональное направление. Мощность их не превышает 20–30 м. Судя по делювиальным свалам, длина их не более 1–2 км. Падение даек крутое (70–80°) до вертикального. Встречаются они обычно вблизи выходов позднемеловых интрузий, прорывая все образования района, включая амутскую свиту. По структуре и по составу они не отличимы от диоритовых и кварцево-диоритовых порфиритов, слагающих массивы.

Химические анализы позднемеловых гранодиорит-порфиров, диоритовых и кварцево-диоритовых порфиритов указывают, что это породы нормального ряда. Кварцевые диоритовые порфириты от типичных гранодиоритов по Дели отличаются большим содержанием темноцветных компонентов. Эти породы по химизму весьма близки к роговообманковым андезитам амутской свиты.

На аэромагнитных картах масштаба 1:25 000 (Головко, 1959ф) над рассматриваемыми интрузиями в бассейнах рек Пакто и Джолокона наблюдаются линейно вытянутые пилообразные полосы с максимальными значениями пик графиков ΔT (от –1000 до +3000 гамм), по-видимому, соответствующие корням эфузивного покрова (см. рис. 1).

Позднемеловой возраст описываемых субвулканических интрузий определяется тем, что они прорывают и контактируют андезиты амутской свиты и перекрываются базальтами и андезито-базальтами кузнецковской свиты. Абсолютный возраст образца кварцевых диоритовых порфиритов с левобережья р. Пакто, определенный аргоновым методом в лаборатории ДВГУ Т. К. Ковалчук, равен 67 млн. лет, что соответствует примерно низам палеогена.

Гидротермальные проявления, связанные с позднемеловым магматическим циклом, представлены низкотемпературными вторичными кварцитами и породами типа пропилитов. Вторичные кварциты занимают обширные площади в верховьях рек Харпина и Харпичанка и в бассейне р. Сиячки. Небольшие разобщенные массивы этих пород установлены также по правобережью р. Бичи и в среднем течении р. Боктора. В осадочных породах палеозоя и юры, а также в согласно залегающих среди них спилитах, диабазах, диабазовых порфиритах гидротермально измененные породы образуют линейно вытянутые зоны, приуроченные к разрывным нарушениям преимущественно северо-восточного и реже северо-западного направлений. В эфузивах же амутской свиты они имеют плоское распространение.

Среди вторичных кварцитов установлены следующие минеральные фации: кварцево-алунитовая, монокварцевая, каолинито-диккитовая и турмалино-серicitовая. Процесс образования вторичных кварцитов в районе завершается рудной минерализацией, на которую накладываются пропилитовые изменения: опализация, альбитизация, карбонатизация и хлоритизация. Между отдельными минеральными фациями отмечаются постепенные переходы с проявлением минералов, свойственных соседним фациям. Наиболее широко проявлены каолинито-диккитовая и монокварцевая фации. Кварцево-алунитовые породы в коренном залегании не наблюдались. Встречены они лишь в виде гальки в галечнике среднесетчатичного возраста, залегающем на водоразделе Нирана и его крупного правого притока среди поля андезитов амутской свиты. Содержание алунита в породе достигает 40%.

Монокварциты и окварцованные породы имеют светло-серый цвет, метасоматическую порфировую или псаммитовую структуру и брекчевую текстуру. Состоят они частично или полностью из криптокристаллического и микроперистого халцедоновидного вторичного кварца с пылью и бесформенными выделениями бурых гидроокислов железа, чешуйками серицита, мелкими зернами рутила и скоплениями минералов из группы каолинита-диккита. Изредка в них встречаются мелкие (до 0,2 мм) розетки бледно-зеленого турмалина, адуляра, анатаза, барита и пирита. Содержание пирита в монокварцитах из верховьев р. Пакто достигает 10%. Окварцованные породы постепенно переходят в каолинито-диккитовые породы, состоящие из каолинита диккита, гидрослюд и криптокристаллического кварца.

Каолинито-диккитовые вторичные кварциты представляют собой светло-окрашенные (осветленные) монолитные или кавернозные породы с потеками бурых гидроокислов железа и иногда с видимой вкрапленностью сульфидов (пирита, киновари, метациннабарита). Метасоматические реликтовые структуры в них выражены наиболее отчетливо.

Турмалино-серicitовые вторичные кварциты установлены только в междуречье Джолокона и Ниж. Джолокона. Внешне эти породы не отличимы от каолинито-диккитовых вторичных кварцитов. Они состоят из криптокристаллического кварца, серицита, радиально лучистых микроскопических скоплений бледно-зеленого турмалина и ярозита по пириту. В разностях, переходных к каолинито-диккитовым вторичным кварцитам, наблюдается диккит, каолинит, гидрослюды и адуляр.

Вторичные кварциты пересечены прожилками киновари или кварца, содержащего киноварь и метациннабарит в виде вкрапленности. Внешняя про-

пилитовая фация в районе проявлена слабо. Наиболее четко она выражена на площади Харпичиканского рудопроявления и в истоках р. Пакто, где в гидротермально измененных породах отмечаются кальцит, хлорит, опал и халцедон. Карбонатно-халцедоново-опаловые прожилки секут вторичные кварциты с вкрапленностью киновари.

Образование вторичных кварцитов на исследованной площади произошло, в основном, в конце позднего мела, благодаря проявлению газогидротермальной деятельности, связанной с формированием средних эфузивов амутской свиты и с внедрением интрузий гранитоидов. Источниками наиболее активных газогидротерм были, по-видимому, корневые части вулканических аппаратов, давших породы амутской свиты. Какая-либо пространственная связь вторичных кварцитов с глубинными интрузиями на территории листа отсутствует. Наличие узких зон гидротермально измененных пород с вкрапленностью киновари и пирита в андезито-базальтах кузнецковской свиты свидетельствует о том, что формирование вторичных кварцитов и рудопроявлений киновари продолжалось также и в палеогене, но, вероятно, в более слабой степени.

Обособленно от полей вторичных кварцитов, в юго-восточной части территории листа расположен массив гидротермально измененных пород типа пропилитов. Он простирается от истоков р. Лимури к истокам Верх. и Ниж. Игдоми на расстоянии 15 км при ширине около 8 км. Характер пропилитовых изменений здесь зависит от состава исходных пород. По вулканогенно-осадочным породам холмоминской свиты и по песчаникам и алевролитам юры и нижнего мела развиты вторичный кварц, кальцит, реже доломит, пирит, серцит, а по раннемеловым гранодиорит-порфирам, кварцевым порфирам и андезитам амутской свиты — хлорит (пеннин), кальцит, доломит, эпидот, кварц, серцит и пирит. Пропилитовые изменения пород на рассматриваемой площади образованы, вероятно, газогидротермами, связанными с постмагматической деятельностью крупного интрузивного тела, глубина залегания кровли которого составляет 4—4,2 км *. На наличие этого тела указывает установленная над ним магнитная аномалия (см. рис. 1), характеризующаяся плавным повышенным полем графиков ΔT , достигающим в максимуме 320 гамм. Расчетная величина суммарного намагничения пород, слагающих это тело, составляет 3000×10^{-6} CGSM, т. е. имеет тот же порядок, что и намагничение позднемеловых интрузий гранитоидов, расположенных восточнее на площади листа М-54-1 (Шапочка и др., 1960).

Палеогеновые интрузии

Базальты (βPg) и андезито-базальты ($\alpha\beta Pg$). Эти интрузии представлены дайками базальтов и андезито-базальтов, являющихся, по-видимому, корнями эфузивных покровов, кузнецковской свиты. Дайки располагаются среди осадочных пород палеозоя, юры и эфузивов амутской свиты, обычно вблизи базальтовых покровов. Простирание даек преимущественно северо-восточное, но встречается северо-западное и субмеридиональное. Падение их крутное (60 — 80°) до вертикального. Мощность даек колеблется в пределах 2—20 м, а длина их, судя по делювиальным свалам, не превышает 0,5—1,5 км.

Интрузивные базальты и андезито-базальты макро- и микроскопически не отличимы от плотных разностей аналогичных пород кузнецковской свиты. Для них характерна порфировая структура с микродолеритовой и интерсертальной структурами основной массы. Порфировые выделения, составляющие 20—30% породы, представлены плагиоклазом № 45—80, пироксенами и базальтической роговой обманкой. Плагиоклазы № 45—60, ромбический пироксен (гиперстен) и роговая обманка отмечаются обычно в андезито-базальтах.

* Расчет выполнен интегральным способом Т. Н. Симоненко для двухмерного тела.

Неогеновые интрузии

Долериты (βN). Неогеновые интрузии представлены дайкой долеритов, установленной среди поля липаритов и их туфов на Боктор-Ниранском междууречье. Простирание дайки северо-восточное (70 — 80°), падение почти вертикальное. Мощность дайки около 25 м, по длине она прослежена на 200 м.

Долериты темно-серые полнокристаллические-порфировые породы с долеритовой структурой основной массы. Порфировые выделения представлены единичными мелкими (до 1 мм) фенокристаллами водяно-прозрачного плагиоклазами № 65—75 и ромбического пироксена.

ТЕКТОНИКА

В региональном структурном плане территория листа расположена в пределах Горинского синклиниория, входящего в состав Сихотэ-Алинской складчатой области (Л. И. Красный, «Тектоническая карта Хабаровского края и Амурской области»). Этот синклиниорий сформировался, в основном, в раннем мелу и характеризуется наличием линейно вытянутых складок юрских и валанжинских пород. В последующее время, по-видимому, до конца неогена включительно, на территории района господствовали резкие дифференцированные движения, сопровождавшиеся интенсивной магматической деятельностью, продукты извержения которой образовали несколько структурных этажей. В результате в современном структурном плане территория листа имеет чрезвычайно сложное, блоковое строение.

В северо-западной его части, в междууречье Харпичикана — Эвура, в горстообразном тектоническом блоке вскрываются структуры нижнего или первого структурного этажа, образованные средне- и верхнедевонскими отложениями (верхнесивакская подсвита, берендинская и крестовая свиты). Эти образования во время проявления фазы складчатости, имевшей место, скорее всего, в раннекаменноугольную эпоху, собраны в линейные складки северо-восточного, близкого к широтному простиранию с углами падения слоев на крыльях от 30° до 90° . Среди палеозойских отложений установлено две антиклинали и одна синклиналь, осевые линии которых ориентированы в востоко-северо-восточном направлении. Ширина складок 6—12 км. Наиболее крупной из них является антиклиналь, расположенная по правобережью р. Харпичикана. Ядро ее сложено породами нижнесивакской подсвиты, а на крыльях обнажаются отложения берендинской свиты и нижнекрестовой подсвиты. Шарнир складки плавно погружается к юго-западу. Южное крыло антиклинали срезано крупным разломом, проходящим по юго-восточным отрогам хр. Таракан и перекрыто рыхлыми аллювиальными образованиями четвертичного возраста.

Складки, расположенные к северу от описанной антиклинали, имеют асимметричное строение. Осевые плоскости их падают на северо-запад. В ядре синклинали обнажаются породы верхнекрестовой подсвиты, а в ядре антиклинали — берендинская свита. Шарнир синклинали сравнительно резко выдымается к северо-востоку, при этом в области его воздымания на южном крыле основной складки появляются антиклиналь и синклиналь второго порядка.

Накопление осадков первого структурного этажа происходило в геосинклинальных условиях и периодически сопровождалось вулканической деятельностью. О проявлении последней свидетельствуют пластовые тела спилитов, диабазов, диабазовых порфиритов, залегающих среди терригенно-кремнистых образований.

Формирование морских терригенно-флишоидных отложений юры и нижнего мела (валанжина), слагающих второй структурный этаж, происходило также в геосинклинальных условиях, о чем свидетельствует большая (более 9 км) мощность отложений и наличие среди них вулканогенно-кремнистых образований. В конце валанжинского или в готеривском веке, в момент про-

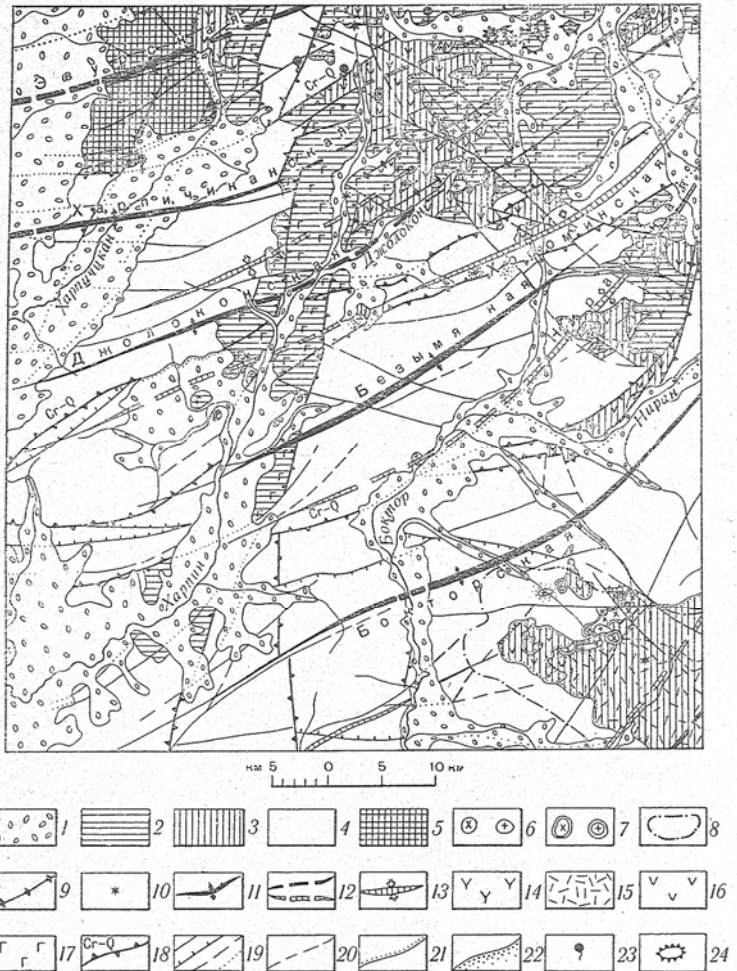


Рис. 2. Тектоническая схема территории листа М-53-VI

1 — область горизонтально залегающих рыхлых четвертичных отложений; 2 — область неогеновых и палеогеновых горизонтально залегающих вулканогенных образований; 3 — область позднемеловой (сенионской) складчатости; 4 — область раннемеловой складчатости; 5 — область палеозойской складчатости; 6 — интрузивные массивы вдоль разломов глубокого заложения; а) раннемеловой интрузивный комплекс, б) позднемеловой интрузивный комплекс; 7 — близповерхностные интрузии, генетически и пространственно связанные с полями развития вулканогенных образований амутской и холдинской (?) свит; 8 — контур интрузивного массива, не вскрытый эрозией (по данным аэромагнитной съемки); 9 — предполагаемые (по данным аэромагнитной съемки) разрывы, по которым про-

явления раннемеловой фазы складкообразования, произошло замыкание геосинклиналии. Отложения юра и валанжина на исследованной территории были собраны в крутые линейно вытянутые складки северо-восточного, местами близкого к широтному простирания.

Наиболее крупной из них является Эвурская антиклиналь (рис. 2), осевая линия которой в субширотном направлении прослеживается от р. Эвура до истоков р. Лев. Бичи и далее в бассейн р. Алдыс за пределы района. В ядре антиклиналии обнажены палеозойские отложения, а крылья сложены породами будюрской, хурбинской и ульбинской свит. Ширина антиклиналии достигает 30 км. Она осложнена более мелкими складками, шириной от 1—2 до 6 км. Углы падения слоев на крыльях складок колеблются от 40 до 80°. Шарнир Эвурской антиклиналии погружается к северо-востоку. В области двух верхних составляющих р. Харпичикана антиклиналь разорвана серией поперечных сбросов, по которым произошло формирование грабена, выполненного эфузивами амутской, кузнецкой и кизинской свит.

Южнее Эвурской антиклиналии проходит небольшая синклиналь, на площади листа почти целиком перекрыта эфузивами, а за ней располагается Харпичиканская антиклиналь, осевая линия которой прослеживается от р. Эвура до устья р. Джон-Кукана на расстоянии 22—25 км. В ядре антиклиналии обнажается будюрская свита, а на крыльях — породы хурбинской и ульбинской свит. Шарнир ее плавно погружается к северо-востоку. Харпичиканская антиклиналь осложнена более мелкими складками, шириной 1—5 км. Углы падения слоев на крыльях антиклиналии не превышают 38—55°.

От верховьев р. Сиактали к устью р. Мал. Бичи в северо-восточном направлении прослеживается синклиналь, шарнир которой в верховьях левых притоков р. Харпичикана резко вздымаются к юго-западу. Судя по замерам элементов залегания слоев и конфигурации маркирующего горизонта кремнистых сланцев в плане, описываемая синклиналь осложнена складками второго порядка, шириной 0,5—1,5 км.

К югу рассмотренная синклиналь сменяется Джолоконской антиклиналью, которая в междуречье Харпина — Бичи почти целиком перекрыта разновозрастными эфузивами. Осевая линия ее прослеживается от истоков р. Сиактали до р. Бичи и далее за пределы района в северо-восточном направлении. В ядре антиклиналии обнажаются породы ульбинской свиты, а на крыльях — силинской и падалинской свит. Шарнир антиклиналии во многих местах слабо ундулирует, но в целом располагается почти горизонтально. Углы падения слоев на крыльях складки 50—75°.

В юго-восточной части площади листа наблюдаются четыре крупные складки: Хосоминская и Ниранская синклиналии, Безымянная и Бокторская антиклиналии. Осевые линии этих складок прослеживаются в северо-восточном направлении через всю исследованную территорию и уходят за ее пределы. В ядрах синклиналей обнажаются породы горюнской свиты. Шарниры их располагаются горизонтально или слабо погружаются к северо-востоку. Крылья синклиналий осложнены серией более мелких складок, шириной 1—3 км. Углы падения слоев на крыльях составляют 30°—85°. Судя по замерам элементов залегания, среди складок второго и более мелкого порядка имеются как симметричные, так и асимметричные с округлыми замками. Юго-восточ-

исходили излияния эфузивов; 10 — предполагаемые центры вулканов; 11 — осевые линии антиклиналий; 12 — осевые линии антиклиналий и синклиналей, перекрытые рыхлыми четвертичными отложениями и мезо-кайнозойскими эфузивами; 13 — осевые линии синклиналей. Вулканические образования: 14 — нерасчлененные, 15 — кислого состава, 16 — среднего состава, 17 — основного состава; 18 — разломы регионального значения с предполагаемым временем активной деятельности; 19 — прочие разломы: а) достоверные, б) достоверные с указанием падения плоскости сместителя, в) предполагаемые, г) скрытые под рыхлыми отложениями четвертичного возраста; 20 — границы фациальных разновидностей пород; 21 — стратиграфически несогласные контакты; 22 — ореолы контактового метаморфизма; 23 — минеральные источники; 24 — останцы по-прорыва.

ные крылья Ниранской и Хосоминской синклиналей в значительной степени осложнены разрывными нарушениями.

Осевая линия Безымянной антиклинали, расположенной между Ниранской и Хосоминской синклиналями, прослеживается через всю площадь листа от истоков р. Сиякоши до верховьев р. Бичи. Шарнир антиклинали в междуречье Джолокона — Боктора на расстоянии 10 км испытывает резкое вздымание и затем погружается к северо-востоку и юго-западу. В сводовой части антиклинали, в месте вздымания шарнира, обнажаются породы ульбинской свиты, а крылья сложены породами силинских и падалинских свит. Сводовая часть ее и крылья осложнены более мелкими складками, шириной 1—2 км с углами падения крыльев от 40 до 80°.

Бокторская антиклиналь расположена в южной части площади листа. Осевая линия ее почти в субширотном (60—80°) направлении протягивается от Харпинской мари до долины р. Верх. Игдомы на расстоянии 60 км. Затем она резко поворачивает на север и далее прослеживается по азимуту 20°—40° еще на расстоянии 20 км в пределах исследованной территории и более 40 км за ее пределами, в истоках рек Бичи и Пильды. Ядро Бокторской антиклинали в ее наиболее размытой части сложено породами хурбинской свиты, а на крыльях обнажаются породы ульбинской, силинской и падалинской свит. Шарнир ее испытывает резкое вздымание в среднем течении р. Боктора и затем плавно погружается к юго-западу и северо-востоку. Сводовая часть антиклинали и крылья осложнены более мелкими складками, шириной 0,5—6 км. Среди этих складок наиболее часто фиксируются крутие асимметричные пилообразные складки с округлыми замками и с углами падения крыльев в пределах 60—85°. В плане эти складки подчеркиваются изгибами горизонтов кремнистых сланцев.

Все складки второго структурного этажа осложнены многочисленными надвигами северо-восточного простирания, которые возникли в процессе складчатых движений, проявившихся, по-видимому, в гортеривское время. По многим из них движения неоднократно возобновлялись и в последующее время, поэтому краткая характеристика всех имеющихся разрывов приведена ниже.

Вулканогенно-осадочные образования холдоминской свиты и несогласно залегающие на них эфузивы амутской свиты слагают третий структурный этаж, отделенный от второго четко выраженной поверхностью углового несогласия. Образования холдоминской и амутской свит сохранились от размыва в мульдах, являющихся остатками наложенных структур, образованных в момент проявления сенонской фазы позднемеловой складчатости *. Эти структуры характеризуются широкими пологими складками (типа брахиструктур) с углами падения крыльев от 2 до 40°. Наиболее крупные мульдообразные структуры сохранились в верховьях рек Харпина, Бичи и в юго-восточной части площади листа. В последнем случае, в истоках рек Лимури, Верхней и Нижней Игдомы мульдообразная структура осложнена куполовидным поднятием, сводовая часть которого расположена в районе сопки с отметкой 1417,0 м. Углы падения слоев в сводовой части поднятия крутые (30—40°), а на крыльях постепенно выполняются до 10—5°.

Четвертый структурный этаж сложен горизонтально залегающими вулканогенными образованиями палеогенового и неогенового возраста (кузнецковская и кизинская свиты, толща липаритов и их туфов), а также рыхлыми четвертичными образованиями. Конфигурация границ покровов эфузивов обычно согласуется в плане с горизонтальными рельефами, но иногда, в частности по правобережью р. Лев. Бичи или в верховьях р. Боктора, базальты и андезито-базальты кузнецковской свиты слагают как бы мульдообразные структуры с углами падения поверхностей отдельных потоков в пределах от 10 до 30°.

Рыхлые горизонтально залегающие четвертичные образования приурочены, главным образом, к долинам крупных рек района.

* Дислокации вулканогенных образований правильно рассматривать как пологие изгибы, связанные с дифференцированными блоковыми движениями, наблюдавшимися уже после проявления складчатости. — Прим. ред.

Пликативные формы дислокаций осложнены многочисленными разрывами трех направлений: северо-восточного с отклонением до широтного, северо-западного и субмеридионального. Большинство из них дешифрируется на аэрофотоснимках в виде четких борозд, а в поле фиксируется тектоническими брекчиями с зеркалами скольжения или минерализованными зонами дробления, несущими ртутную минерализацию. Наиболее широко распространены разрывы северо-восточного направления, секущие складчатые структуры района под острыми (до 25°) углами к простиранию. Большинство из этих нарушений являются надвигами, он же из них, которые рассекают осадочные отложения палеозоя, юры и нижнего мела и, не меняя своего направления переходят в вулканогенные образования мела и кайнозоя, проявляются как сбросы или взбросы. Многие из разрывов, в связи с этим являются долгоживущими. Предполагаемые корни эфузивных покровов по данным аэромагнитной съемки (Осипова, 1961ф; Головко, 1960ф) ориентированы в северо-восточном направлении параллельно этим разломам. По-видимому, некоторые из разломов служили подводящими путями при излиянии эфузивов амутской и кузнецковской свит.

Характерной особенностью многих разрывов является приуроченность их к крупным разломам, состоящим из серии сопряженных более или менее параллельных сравнительно крупных сбросов и оперяющих их многочисленных относительно мелких нарушений. На площади листа приблизительно можно выделить три таких крупных разлома, имеющих региональное значение. Один из них прослеживается через весь район от р. Эвура на левобережье р. Лев. Бичи и далее за его пределы вдоль долины р. Бичи. По этому тектоническому разлому в бассейне р. Харпичикана контактируют берендинская и будюрская свиты, а по левобережью р. Лев. Бичи — кузнецковская и ульбинская свиты. Приподнятым по нему является северо-западный блок. К этому разлому приурочено пять источников минеральных углекислых вод.

Второй разлом прослеживается от истоков р. Сиякоши и Сиактали до верховьев р. Бичи и далее за пределы площади листа почти на 100 км. В бассейне рек Мал. Бичи и Бичи по ним соприкасаются эфузивы кузнецковской свиты с породами силинской и горюнской свит. Самый южный сброс этого разлома в северо-западной части площади листа М-54-1 образует в рельфе четко выраженный уступ, проявляющийся даже на топографической карте. В междуречье Боктора — Джолокона с ним сопряжено два более мелких сброса, протяженностью 10—20 км. Наиболее крупный из них сопровождается мощной (более 40 м) зоной интенсивно развалцованных пород с многочисленными зеркалами скольжения. Плоскость сместителя в нем падает на юго-восток (170°) под углом 40—60°. Этим сбросом в истоках р. Ниж. Джолокона в значительной степени срезаны отложения падалинской свиты, залегающие на юго-восточном крыле Хосоминской синклинали. Амплитуда перемещения по этому разрыву, судя по ширине полосы, сложенной породами падалинской свиты в ненарушенном участке, по-видимому, около 2 км.

Третий разлом прослеживается от Харпинской мари в истоки р. Нирана и далее за пределы района. Наиболее четко здесь выделяется один крупный разрыв, простирание которого согласуется с направлением осевых линий наиболее крупных складок. В среднем течении р. Нирана по двух оперяющим его разрывам произошли блоковые перемещения, приведшие к образованию грабена. Последний четко фиксируется по наличию в долине р. Нирана полосы андезитов амутской свиты, ограниченной сбросами. Амплитуда перемещения по ним превышает 400—500 м. Более мелкие разрывы, оперяющие указанный сброс, сопровождаются, почти повсеместно, полями вторичных кварцов, несущими ртутную минерализацию. Некоторые из разрывов северо-восточного направления среди палеозойских образований сопровождаются «будинаж-структурами», а иногда микроплойчатостью и гофрировкой.

Разрывные нарушения северо-западного направления секут складчатые сооружения первого и второго структурных этажей почти под прямыми углами к простиранию. Эти нарушения являются кругопадающими (60—90°) сбросами и взбросами, несомненно более позднего заложения, чем разломы северо-восточного направления. Некоторые из них приурочены к долинам рек

(Верх. Игдоми, Ниран, Бичи). Амплитуда перемещения по ним не превышает 100—300 м. Наиболее крупными и четко выраженными из этих разрывов являются три, прослеживающиеся от истоков р. Харпина до верховьев Боктора и Бичи, а также сброс, к которому приурочена долина р. Верх. Игдоми. По последнему сбросу приподнятым оказался юго-западный блок. Благодаря этому по правобережью реки обнажаются преимущественно породы силинской свиты, а по ее левобережью на дневную поверхность выведены в виде широкой полосы отложения хурбинской свиты, слагающие ядро Бокторской антиклинали.

Разрывы субмеридионального направления в районе имеют небольшое распространение. Два из них прослеживаются по обоим бортам долины р. Харпина. Опускание участка площади между ними привело к образованию Харпинского грабена, в пределах которого сохранились от размыва основные эфузивы кузнецковской и кизинской свит, а также липариты и их туфы олигоцена (?). В верховьях р. Харпичикана по трем сбросам субмеридионального направления образован Харпичиканский грабен, контролируемый покровами имутской, кузнецковской (?) и кизинской свит. Субмеридиональные разрывы четко дешифрируются на аэрофотоснимках и сопровождаются тектоническими брекчиями с зеркалами скольжения. Установляются они также по смещению в плане отдельных горизонтов осадочных пород или эфузивных покровов. Наиболее хорошо субмеридиональные разломы прослеживаются в верховье р. Харпичикана и по левобережью р. Харпина, в его среднем течении. Разломы субмеридионального направления были заложены, скорее всего, после раннемеловой фазы складчатости, возможно перед излиянием кислых лав холдоминской свиты. Движения по ним происходили в середине палеогена, в момент заложения крупных депрессий — Эвронской, Немилен-Чукчагирской и других, а также после излияния базальтов кизинской свиты.

В четвертичный период в рассматриваемом районе имели место только незначительные колебательные тектонические движения блокового и сводово-блокового характера.

ГЕОМОРФОЛОГИЯ

Современный рельеф района сформировался на фоне молодых глыбовых дифференцированных движений переменного знака. В зависимости от амплитуды перемещения отдельных блоков и степени расчлененности рельефа, в пределах последних на площади листа выделяются следующие типы рельефа: среднегорный резко расчлененный, низкогорный резко расчлененный, низкогорный слабо расчлененный, холмисто-увалистый и аккумулятивный.

Среднегорный резко расчлененный рельеф (абсолютные отметки 550—1417 м, относительные превышения 300—850 м) наблюдается в верховьях рек Боктора, Лимури, Верх. и Ниж. Игдоми, в пределах которых в настоящее время фиксируются отчетливые восходящие движения. Этот тип рельефа развит на вулканогенно-осадочных отложениях холдоминской свиты, на терригенных образованиях юры и нижнего мела, местами прорванных интрузиями гранитондов и претерпевших контактовый метаморфизм, реже на мезо-кайнозойских эфузивах.

Морфология положительных форм описываемого рельефа в значительной мере зависит от литологии пород. В верховьях р. Боктора, где резко расчлененное среднегорье приурочено к эфузивам амутской, кузнецковской и кизинской свит и к липаритам и их туфам олигоцена, водоразделы представляют собой цепь четко выраженных плоских или конусовидных вершин, чередующихся с глубокими седловинами. Плосковерхие возвышенности сложены липаритами и их туфами. Они оконтурены более или менее резкими денудационными уступами и хорошо дешифрируются на аэрофотоснимках. Конусовидные сопки фиксируются в местах, где липариты и их туфы перекрыты базальтами кизинской свиты.

На породах холдоминской свиты отмечены узкие (10—30 м) водоразделы с глубокими седловинами и четкими куполовидными и конусовидными вершинами, часто венчающимися денудационными останцами выветривания. Скллоны возвышенностей здесь крутые (40—60°), выпуклые и покрыты крупнообломоч-

ными осыпями. Долины водных потоков в истоках имеют обычно V-образный поперечный профиль, который в среднем и нижнем течении крупных ключей сменяется ящкообразным. Изредка, в истоках рек Верх. Игдоми и Лимури отмечается ключи с каньонообразным поперечным профилем долин. Руслы ключей в этих местах выработаны в коренных породах и изобилуют порогами, высотой 1—2 м. В устьевых частях мелких ключей и распадков образуются висячие долины и четко выраженные конусы выноса. Продольный профиль речных долин имеет форму вогнутой ступенчатой кривой, круто (40—60°) поднимающейся к истокам. В пределах среднегорного резко расчлененного рельефа в верховьях ключей отмечается одна пойменная терраса с высотой уступа 0,5—1 м. В долинах более крупных водотоков появляется, кроме того, первая надпойменная терраса с высотой уступа 5—10 м.

Низкогорный резко расчлененный рельеф (абсолютные отметки 300—590 м, относительные превышения 150—300 м) узкой (до 10—15 км) полосой опоясывает с запада площадь распространения среднегорья и в виде изолированного горного узла отмечается в верховьях рек Харпичикана и Харпина. Этот рельеф развит, в основном, на осадочных породах мезозоя, недавно испытавших восходящие тектонические движения. Водораздельные пространства в пределах описываемого рельефа довольно хорошо расчленены. Поверхности водоразделов, шириной от 10 до 100 м, плавно очерчены и состоят из куполовидных возвышеностей с крутыми (30—60°) выпуклыми склонами и узких неглубоких седловин. Долины рек и ключей имеют ящкообразный поперечный профиль, кое-где в истоках ключей переходящий в V-образный. Продольный профиль долин хорошо выработан. Уклон их днища не превышает 10° и только в истоках достигает 30—40°.

Низкогорный слабо расчлененный рельеф (абсолютные отметки 200—250 м, относительные превышения 60—200 м) имеет в районе наиболее широкое распространение. Он занимает обширные площади в верховьях рек Харпина, Бичи, междуречье Харпина — Харпичикана, правобережье р. Харпина и большую часть Харпичикана — Эвурского междуречья. Для этого рельефа характерны слаженные, обычно слабо расчлененные водоразделы. Ширина их от 50 до 100 м и редко достигает 200—300 м. Вершины сопок имеют куполовидную, реже плоскую (столообразную) форму. Слоны сопок пологие (до 25—30°), вогнутые, постепенно сочленяющиеся с днищами речных долин через проливально-делювиальные шлейфы. Поперечный профиль речных долин, даже в истоках ключей, ящкообразный или бледеобразный, а продольный хорошо выработан и имеет вид слабо наклонной к устью кривой, местами принимающей горизонтальное положение. Эрозионная деятельность водотоков проявляется в плоскостной боковой эрозии и аккумуляции. Долины наиболее крупных ключей и рек имеют серию вложенных аккумулятивных, реже скульптурно-аккумулятивных террас. Наиболее широко распространена первая надпойменная аккумулятивная терраса с уступом высотой от 5 до 10 м. Вторая надпойменная терраса с уступом, высотой 12—25 м, встречается спорадически в среднем течении р. Боктора, в верховьях р. Харпина, кое-где по окраинам аллювиальной равнины (Харпинская Марь) и в среднем течении р. Харпина. Эта терраса в истоках р. Харпина и в бассейне р. Боктора часто имеет хорошо выраженный цоколь.

Описываемый рельеф сформировался на разнообразных эфузивах мела и кайнозоя, реже на осадочных породах палеозоя и мезозоя. Литологические особенности горных пород сказываются лишь на характере микроформ рельефа. На кремнистых сланцах обычно образуются узкие (5—10 м) остроконечные гребни, увенчанные отдельными денудационными останцами; для песчаников характерны куполовидные вершины. На андезитах амутской свиты образуются широкие куполовидные возвышенности с невысокими (20—40 м) конусовидными кругосклонными, как бы насыженными на них, вершинами. На базальтах и андезито-базальтах кузнецковской и кизинской свит сформированы плавно очерченные куполовидные, реже плосковерхие вершины, соединенные неглубокими широкими седловинами. Иногда (истоки рек Мал. Делян, Саричку и др.) на терригенных породах мезозоя отмечаются столовые формы вершин. Местами сохранившийся на них аллювий ($Q_1?$) указывает на то,

что они являются реликтами какой-то древней (по-видимому, плиоценовой) поверхности выравнивания.

Для рассматриваемого рельефа характерно наличие «плоских» останцов выветривания, представляющих собой денудационные останцы, почти не возывающиеся над земной поверхностью. Встречаются участки, где на гребнях хребтов на значительном (до 2 км) протяжении коренные породы обнажаются в виде сплошной (без выступов) скалы, лишь кое-где перекрытой маломощным (0,1—0,3 м) почвенно-растительным слоем. Наличие таких останцов выветривания свидетельствует, вероятно, о длительном воздействии денудации на рельеф. Хребты на территории рассматриваемого низкогорья обычно имеют симметричное строение и лишь водораздел Харпин — Лев. Бичи к северу от истоков р. Пакто резко асимметричны. Склоны этого хребта к западу от осевой линии крутые и сильно расчленены, а к востоку — пологие, плавно сливающиеся с заболоченной равниной, по которой течет р. Лев. Бичи. Это явление асимметрии поперечного профиля хребта обусловлено, по-видимому, различным положением местных базисов эрозии, так как днище долины р. Лев. Бичи возвышается над днищем долины р. Харпина на 100—150 м. В этом месте р. Харпин перехватила некоторые притоки р. Лев. Бичи.

Холмисто-увалистый рельеф (абсолютные отметки 80—300 м; относительные превышения 20—80 м) окаймляет в виде узкой (до 8 км) полосы аллювиальные равнины в долинах рек Эвура, Харпичикана, Харпина и Бичи. Этот рельеф, развитый на осадочных породах палеозоя, мезозоя и на базальтах кузнецковской свиты, представляет собой целый ряд невысоких возвышенностей и увалов с расплывчатыми очертаниями в плане, разделенных друг от друга широкими (до 4 км) заболоченными долинами рек, в поперечном сечении имеющими блюдцеобразную форму. Процессы аккумуляции в этих долинах преобладают над процессами эрозии. Уступы террас выражены очень слабо и аллювиальные отложения без резкого перегиба рельефа сменяются пролювиально-делювиальными щелевыми, спускающимися с пологих, резко вогнутых склонов возвышенностей и увалов. Образование холмисто-увалистого рельефа тесно связано с формированием аллювиальных равнин.

Акумулятивный рельеф приурочен к депрессионным участкам долин рек Харпина, Харпичикана, Эвура, Бичи и представлен аллювиальными равнинами. Эти равнины образовались на рыхлых аллювиальных отложениях четвертичного возраста и морфологически представляют собой заболоченные поверхности первой и, частично, второй надпойменных террас. Они изрезаны меандрами рек, озерами-старицами и слабо наклонены к руслам крупных рек района. Речные долины, уступы надпойменных террас и блуждающие русла некоторых крупных ключей на равнинах совершенно не выражены. Абсолютные отметки равнин колеблются от 50 до 330 м, при относительном превышении над руслом рек до 120 м.

В ряде мест района (левобережье р. Лев. Бичи, бассейн р. Прав. Хосоми, правобережье р. Харпичикана) из-под рыхлых осадков в виде денудационных останцов (останцов погружения) выступают меловые и кайнозойские эфузивы фундамента депрессий.

Формирование современного рельефа в районе началось, по-видимому, в позднем палеогене на фоне вулканической деятельности и происходило на протяжении всего четвертичного периода. Однако, основные черты его, скорее всего, были заложены в раннем палеогене. Одновременно с возникновением крупных тектонических впадин, какими являются Эвронская, Немилано-Чукчагирская и другие, по-видимому, возникли также грабенообразные долины рек Харпина и Харпичикана. Излияния неогеновых базальтов, очевидно, происходили уже на расчлененный рельеф. В четвертичный период рассматриваемая территория и прилегающие к ней районы трижды испытывали значительные по амплитуде перемещения блокового характера, прерывавшиеся длительными остановками или, их затуханием. Об этом свидетельствует наличие в районе трех эрозионных уровней. Первый эрозионный уровень (раннечетвертичный пeneуплен) устанавливается по нахождкам аллювия на гребнях Боктор-Харпинского, Эвур-Имского, Боктор — Бичинского водоразделов (Осипова,

1961ф; 1962ф; Тоноян, 1963ф; Калимбеков, 1960ф). В настоящее время древняя поверхность выравнивания имеет абсолютные отметки 230—500 м и возвышается в исследованном районе над урезом воды крупных рек на 90—180 м. Второй эрозионный уровень соответствует второй надпойменной террасе, а третьим эрозионным уровнем является поверхность первой надпойменной террасы. Установленные в районе эрозионные уровни хорошо сопоставляются с таковыми четвертичного возраста, наблюдающимися в пределах Приморья и Среднего Приамурья (Берсенев, Морозова, 1962).

ПОЛЕЗНЫЕ ИСКОПАЕМЫЕ

На территории листа на 1 июня 1963 г. среди металлических полезных ископаемых зарегистрированы проявления ртути, сурьмы, мышьяка, олова, серебра, золота, меди, цинка, свинца, вольфрама, церия и лантана, урана, железа, марганца. Все перечисленные проявления полезных ископаемых, кроме железа, марганца, церия и лантана, генетически связаны с позднемеловым магматизмом.

Неметаллические полезные ископаемые представлены глинами и строительными камнями. Кроме того, в районе установлены источники минеральных углекислых вод.

Из горючих полезных ископаемых в районе отмечаются только проявления торфа.

ГОРЮЧИЕ ПОЛЕЗНЫЕ ИСКОПАЕМЫЕ

Нефть. В процессе геологического картирования при составлении лито-геологических разрезов по р. Боктору и в верховьях рек Сияочки и Джоколона было отобрано около 100 штуков песчаников, алевролитов, глинисто-кремнистых сланцев и тектонических брекчий для производства люминесцентно-битуминологического анализа. Судя по результатам анализов, для юрских отложений изученного района характерно низкое содержание органического вещества (в среднем 0,83%). Это вещество присутствует в виде углефицированного растительного дегрита и рассеянного битуминозного вещества. Распределение этого вещества в породах различных свит неодинаково. Максимальные концентрации его (до 0,12% на объем породы) приурочены к отложениям падалинской свиты. Среднее содержание битуминозных компонентов в них достигает 0,07% и не опускается ниже 0,03%. В отложениях хурбинской, ульбинской и силинской свит битум имеет резко выраженный окисленный характер. В отложениях падалинской свиты битум становится более восстановленным. Здесь, наряду со смолистым и нейтральным компонентами, значительную роль начинают играть и восстановленные, маслянистые компоненты. Для битума пород падалинской свиты характерно высокое содержание легких углеводородных компонентов и асфальтенов. Тип этого битума осмоленный (по классификации Гуляевой). Таким образом, отложения падалинской свиты являются, возможно, нефтетератинскими. В дальнейшем нефтеносность этих отложений должна изучаться более детально.

Торф установлен в долинах рек Харпичикана, Харпина, Пакто, Прав. Хосоми и Лев. Бичи обычно вблизи зарастающих озер — стариц, наиболее крупные из которых показаны на топографических картах. Непосредственно изучению с поверхности залежи торфа доступны в нижнем течении рек Пакто и Акеты. В долине р. Пакто торфяник обнажается в крутом берегу озера. Видимая мощность его около 2 м. В низовьях р. Акеты залежь торфа, мощностью 0,4—0,5 м, наблюдается в крутом уступе пойменной террасы. Здесь она подстилается и перекрывается песчано-илистыми отложениями с незначительной примесью растительного дегрита. Цвет торфа темно-коричневый или бурый. Растительные остатки в нем почти полностью разложившиеся.

Специальных исследований по изучению залежей торфа в районе не велось, но имеющиеся данные показывают, что они могут иметь практическое значение.

МЕТАЛЛИЧЕСКИЕ ПОЛЕЗНЫЕ ИСКОПАЕМЫЕ

Железо. Бедные лимонитовые руды в виде маломощных (до 0,3 м) линз интенсивно ожелезненных галечников и песков залегают в первой надпойменной террасе рек Боктора, Харпина. Среди ожелезненных песков наблюдались скопления бурых железняков конкреционно-полосчатого строения. Химический анализ конгломератов с железистым цементом из долины р. Боктора указывает на наличие (в %) железа — 3,6 и марганца 2,3. Ожелезненные галечники и пески с содержанием железа до 20—30% широко развиты в раннечетвертичных отложениях р. Амура и ее притоков и неоднократно разведывались. Практического значения они не имеют.

Марганец. Проявления марганца приурочены к кремнистым и глинисто-кремнистым сланцам ульбинской и падалинской свит. Обломки кремнистых сланцев с нитевидными прожилками и мелкими (до 1 мм) изометрическими скоплениями вернадита наблюдались в делювии на Боктор-Джолоконском водоразделе. Содержание марганца в этих породах по данным спектрального анализа колеблется от 0,6 до 10% и более. Марганец почти повсеместно присутствует в донных осадках. Наибольшие (от 0,1 до 1% и редко более) концентрации его отмечаются в междуречье Харпина — Боктора.

Медь. Наличие меди установлено спектрометаллometрическим опробованием донных осадков. Выделены два ореола рассеяния меди (1, 3), приуроченные к полю развития вулканогенно-осадочных образований палеозоя. Контуры этих ореолов замыкаются в долине р. Эвура под рыхлыми четвертичными отложениями. Содержание меди в донных осадках колеблется от 0,001 до 0,02%. Кроме меди в некоторых пробах присутствуют повышенные концентрации ртути, олова и цинка. Практического значения выявленные ореолы меди не имеют.

Цинк и свинец. Проявления цинка и свинца выявлены лишь при спектрометаллметрическом опробовании. Свинец в тысячных, реже в сотых долях процента присутствует почти повсеместно, не образуя локализованных ореолов рассеяния. Пробы, содержащие цинк, образуют четыре ореола рассеяния. Один из них (2) частично перекрывает ореол рассеяния меди (3) на левобережье р. Эвура. Содержание цинка в донных осадках в его пределах равно 0,01—0,03%. В единичных пробах присутствует олово (0,001—0,08%), медь (0,006—0,02%), свинец (0,001—0,03%).

В верховьях р. Харпина, по его левобережью, находятся еще два спектрометаллметрических ореола рассеяния цинка (8, 25). Содержание цинка в делювии здесь 0,08—0,1%. На площади ореола развиты преимущественно гидротермально измененные андезиты и их туфы амутской свиты.

Практическая ценность выявленных ореолов цинка неясна. Серебро. Наличие серебра в районе обнаружено при спектрометаллметрическом опробовании донных осадков и делювия. Выделено шесть ореолов рассеяния с содержанием серебра от 0,0001 до 0,003% (20, 22, 23, 48, 50, 64). Площадь ореолов не превышает 1—3 км². Приурочены они либо к песчано-сланцевым отложениям мезозоя, либо к андезитам и их туфам амутской свиты, претерпевших в различной степени гидротермальные изменения. Наиболее высокие (до 0,003%) содержания серебра установлены в делювии на площади ореола № 64 по правобережью р. Боктора.

Золото зарегистрировано по одному знаку в 22 шлихах из аллювия Боктора, Харпина и Бичи. Знаки золота обычно слабо окатанные, лепешковидной или комковатой формы с мелкокамчатой или щероховатой поверхностью. Цвет золота желтый. Размер знаков 0,1—0,3 мм. Наибольшее количество шлихов с золотом отобрано в бассейне р. Боктора, где оно, по-видимому, генетически связано с гидротермальными процессами позднемеловых гранитоидов (Бокторский интрузивный массив). Наличие золота в количестве 0,02 г/т установлено также спектральным анализом в единичных пробах из вторичных кварцитов в верховьях р. Пакто. Практического значения выявленные проявления золота не имеют.

Не решенным остается вопрос о золотоносности интенсивно пропилитизированных пород в истоках рек Лимури, Верх. и Ниж. Игдоми. Геологическая

обстановка и характер гидротермальных изменений здесь сходен с таковыми на Учаминском золоторудном месторождении, расположенным в 45 км восточнее. Следует иметь в виду, что с кварц-хлорит-карбонат-сульфидной минерализацией могут быть связаны проявления тонкодисперсного золота, не улавливаемого шлиховым опробованием, а площадное спектрометаллметрическое опробование делювия и отбор проб донных осадков на этой территории не проводились. Здесь необходима постановка геологической съемки и поисков масштаба 1 : 50 000.

Олово. Проявления олова обнаружены при шлиховом опробовании аллювия р. Пакто и при спектрометаллметрическом опробовании донных осадков и делювия. Выделено шесть спектрометаллметрических ореолов рассеяния олова. Один из них (24), площадью около 50 км², находится в верховьях р. Пакто, где перекрывает спектрометаллметрические ореолы рассеяния ртути (10) и цинка (25). Содержание олова в пробах из делювия от 0,006 до 0,5%. Совместно с ним в тысячных долях процента присутствуют серебро, ртуть и цинк.

Западнее рассмотренного ореола расположен второй ореол рассеяния олова (9), площадью 30 км². На этой площади развиты главным образом песчано-сланцевые отложения мезозоя. В пробах донных осадков в пределах ореола олово содержится в количестве от 0,008 до 0,5%, а в пробах из делювия от 0,006 до 0,4%. Совместно с оловом отмечаются медь, свинец, ртуть в минимально интересных концентрациях.

Третий ореол рассеяния олова (40) охватывает истоки р. Мал. Бичи. Площадь его 33 км², сложена эфузивами амутской и кузнецкой свит и частично осадочными породами мезозоя. Содержание олова в пробах донных осадков равно 0,001—0,08%, а в пробах из делювия — от 0,006 до 0,06%. В некоторых пробах совместно с оловом отмечаются свинец (0,001—0,008%) и цинк (до 0,09%).

Контуры четвертого ореола рассеяния олова (41), расположенного в верховьях р. Бичи, к востоку открыты. Содержание олова в делювии здесь 0,006—0,4%, а в донных осадках достигает 0,008%.

Пятый ореол рассеяния олова (47) находится в междуречье Боктора — Джолокона. На его площади в 40 км² развиты песчано-сланцевые отложения мезозоя, пересеченные многочисленными разрывными нарушениями. Содержание олова в донных осадках колеблется от 0,001 до 0,04%.

Шестой ореол рассеяния олова (63) расположен в бассейне р. Лев. Хосоми преимущественно среди отложений силинской свиты. Площадь ореола 10 км². Содержание олова в донных осадках 0,01—0,3%. Оловосодержащий минерал — касситерит, в количестве 1—3 пылевидных зерен, установлен в трех шлихах, отобранных из аллювия р. Пакто (Шпагин, 1959).

Практическая ценность выявленных ореолов рассеяния олова неясна.

Вольфрам. Проявления вольфрама представлены шеелитом, который установлен люминесцентным анализом в шлихах из аллювия всех рек района в количестве от 1 до 30 зерен, размером от пылевидных до 0,3 мм. Шеелит имеет молочно-белый цвет, встречается в виде окатанных, иногда угловатых зерен неправильной формы. Практического значения проявления вольфрама на площади листа не имеют.

Редкие земли. Проявление редких земель представлено орбитом и монацитом, наличие которых установлено шлиховым опробованием аллювия гидросети. Наблюдаются эти минералы в виде единичных зерен, реже 20—30 зерен на 0,01 м³ промытой породы почти повсеместно. Однако наибольшие концентрации орбита (до 2 г/м³) тяготеют к покровам липаритов и их туfov олигоцена, в которых он присутствует в качестве аксессорного минерала. Спектральный анализ орбита показал присутствие в нем следующих элементов (в %): Si 1—10, Al 10, Mg 0,1—1,0, Ca 0,1—1,0; Fe 0,1—1,0; Mn 0,01—0,1; Ti 1,0—10,0; V 0,01; Cr 10,0; Zr 0,01; Zn 0,01—0,1; Th 0,1—1,0; J 0,01; La 1,0—10,0; Ce 1,0—10,0; Sc 0,01.

Монацит отмечается в качестве примеси в песчаниках мезозойского возраста и является аксессорным минералом позднемеловых гранодиоритов (Бельтенев, 1959).

Радиоактивные элементы. В верховьях р. Мал. Деляна и Джолокона проявление урана наблюдалось в коренном залегании. На первом участке (68) оно приурочено к пластиообразному телу спилитов, залегающему среди алевролитов и глинисто-кремнистых сланцев в верхах ульбинской свиты. Спилиты на площади 0,3 км² интенсивно раздроблены и гидротермально изменены (альбитизированы, хлоритизированы, каолинизированы, пиритизированы). Химическим анализом в них установлено содержание урана в количестве 0,003—0,14% и до 6,45% фосфорного ангидрита.

В бассейне р. Джолокона (46) проявление урана приурочено к сертифицированным окварцованным каолинизированным песчаникам ульбинской и силинской свит, пересеченных серией разрывных нарушений. Люминесцентный анализ этих пород указывает на наличие в них 0,003% урана, а спектральный анализ — ртути и серебра в тысячных долях процента.

Наличие урана в количестве от 5×10^{-4} до 15×10^{-4} %, установлено и в донных осадках в среднем течении реки Ниж. Игдоми. Пробы с повышенным содержанием урана образуют здесь четко выраженный ореол, приуроченный к полю развития песчано-сланцевых отложений мезозоя, прорванных в контактово-метаморфизованных дайками и мелкими массивами меловых гранит-порфиров и гранодиорит-порфиров. Уранодержащие минералы в районе не установлены и природа проявлений не вполне ясна. Но связь урановой минерализации с низкотемпературной позднемеловой гидротермальной деятельностью, широко проявленной на площади листа, сомнений не вызывает, что дает основание предполагать о возможном наличии в районе промышленно-интересных гидротермальных месторождений урана.

Ртуть. Проявления ртути в районе первоначально были установлены при шлиховом и спектрометаллометрическом опробовании. Затем поисковыми работами были выявлены проявления ртути в коренном залегании.

Шлиховым опробованием аллювия гидросети выявлено семь ореолов расстояния киновари и метациннабарита. Наиболее крупный из них — Харпичиканская ореол (4) *, площадью более 900 км², охватывающий верховья рек Харпина, Харпичикана и истоки рек Лев. и Мал. Бичи, к северу от района остается открытым. Контуры этого ореола замыкаются на территории листа N-53-XXXVI, в бассейне р. Эвура (Топонян, 1963ф). На площади ореола развиты вулканогенные образования амутской, кузнецкой и кизинской свит, липариты и их туфы олигоцена, песчано-сланцевые отложения юры и мела, а также вулканогенно-осадочные образования палеозоя, представленные песчаниками, алевролитами, кремнистыми сланцами, спилитами и диабазами. Все эти образования пересечены многочисленными разрывными нарушениями, сопровождающимися зонами и полями гидротермально измененных пород типа вторичных кварцитов, с которыми парагенетически связана ртутная минерализация.

Содержание киновари и метациннабарита в аллювии в пределах ореола колеблется от единичных зерен (от 1 до 10) до 14 г/м³ и распределено крайне неравномерно. Выделяется пять площадей с повышенным содержанием киновари и метациннабарита. Одна из них, размером около 15 км², расположена в верховьях левых притоков р. Тоннея и правого притока р. Харпичикана. Внутри этой площади выявлены Харпичиканская рудопроявление и рудопроявление кл. Надежного.

Харпичиканская рудопроявление (6) находится в истоках левых притоков р. Тоннея. В 1960 г. здесь был выделен ореол с повышенным содержанием киновари и внутри его, путем спектрального анализа штуфных проб, установлено наличие ртути в делювии (Осипова, Осипов, 1961ф), а в 1961 г. были вскрыты первые четыре минерализованных зон, содержащие участками промышленно-интересные концентрации ртути (Осипов, 1962ф). В настоящее время на Харпичиканском рудопроявлении известно шесть рудных зон (рис. 3), расположенных в отложениях палеозоя на границе с анде-

зитами и туфами амутской свиты, в значительной степени подверженных низкотемпературным гидротермальным изменениям: окварцеванию, каолинизации, пропилитизации. Эти зоны, прослеженные только на поверхности канавами, представлены интенсивно раздробленными и гидротермально измененными окварцованными, каолинизированными и т. п. диабазами и спилитами, содержащими прожилки и вкрапленность киновари и метациннабарита.

Рудные зоны имеют четкие границы, пологое (до 40—50°) падение и ориентированы в северо-западном направлении. Площадь, занятая ими, составляет 0,3 км². На севере эти зоны выклиниваются, переходя в неизмененные алевролиты, а на юге обрываются покровом андезитов и туфов амутской свиты, в которых отмечаются лишь расплывчатые первичные ореолы рассеяния с содержанием ртути от 0,0003 до 0,01%. Из выявленных шести зон, три минерализованные зоны, длиной 80,180 и 50 м, при мощности 5—8 м, характеризуются весьма убогим содержанием ртути, на фоне которого изредка встречаются гнезда, содержащие ртуть в количестве 0,1—5,0%.

Четвертая рудная зона в спилитах имеет мощность около 2 м, а в месте перекрытия ее каолинизированными туфами андезитов, играющих роль экрана для рудоносных растворов, приобретает грибообразную форму, с мощностью «шляпы» около 1 м, при содержании ртути свыше 1%. Параметры рудного тела под покровом андезитов и туфов пока не установлены. Пятая рудная зона в плане имеет форму овала, размером 100×60 м². Судя по трем пересечениям, сделанным вкрест ее простириания через 20 м на длину 18, 180 и 8 м промышленные содержания ртути (от 0,1% до единиц) наблюдаются в первом пересечении на 5 м, во втором на 4,8 м, а в третьем на 8 м. Шестая рудная зона, длиной более 100 м, при ширине 10—40 м, видимую вкрапленность киновари содержит лишь вблизи контакта с покровом андезитов. Изучение пятой и шестой зон продолжается. Минералогический состав руды в зонах следующий: кварц, кальцит, доломит, гематит, пирит, халькопирит, железная слюда, лимонит, пирофиллит, каолинит, хлорит, киноварь, метациннабарит, флюорит, апатит, барит, псиломелан. По данным спектрального анализа рассматриваемые руды содержат (%): Si 1,0; Al 0,1—10,0; Mg 0,1—3,0; Ca 0,05—4,0; Fe 2—10,0; Mn 0,01—0,3; Co 0,001—0,003; Ti 0,1—1,0; V 0,004—0,03; Zr 0,001—0,03; Cu 0,002—0,04; Pb 0,001—0,005; Zn 0,01—0,3; Ni 0,001—0,008; Ge 0,001—0,002; Ga 0,001—0,004; Na 0,3—3,0; Ba 0,01—0,1; Be 0,001—0,002; Y 0,001—0,004; Yb 0,001.

В настоящее время на Харпичиканском рудопроявлении ведутся поисково-разведочные работы с применением наземных горных выработок, колонкового бурения и разнообразных геофизических исследований: электроразведки, гравиразведки, ВЭЗ. Скважины на простириании третьей и четвертой рудных зон на глубине от 30 до 80 м от поверхности под пачкой каолинизированных туфов вскрыто рудное тело, мощностью от 1—2 до 20 м, местами с видимой вкрапленностью киновари *.

Рудопроявление кл. Надежного (7) расположено среди поля развития каолинизированных, окварцованных, пропилитизированных туфов андезитов в истоках небольшого ключа в верховьях правого притока р. Харпичикана, в 1,5 км южнее Харпичиканского рудопроявления. На площади 0,73 км² содержание киновари в шлихах из делювия от 50 зерен до 0,8 г/м³, а содержание ртути в штуфных пробах и пробах из делювия колеблется от 0,0001 до 0,02%. Сейчас на площади рудопроявления ведутся поисково-разведочные работы.

Вторая площадь с повышенным содержанием киновари в шлихах из аллювия, размером около 100 км², охватывает верховья р. Пакто и, частично, междууречье Харпина — Харпичикана к северу от г. Якучан. В ее пределах установлены восемь рудопроявлений (13, 21, 26, 27, 28, 29, 30, 31) и спектрометаллометрический ореол рассеяния ртути (10). Содержание ртути в пробах донных осадков в пределах этого ореола от 0,00005 до 0,006%. Кроме того,

* В скобках указаны номера ореолов и рудопроявлений на карте полезных ископаемых.

* К 1 ноября 1963 г. на Харпичиканском рудопроявлении руд с промышленными концентрациями ртути не встречено и работа прекращена.

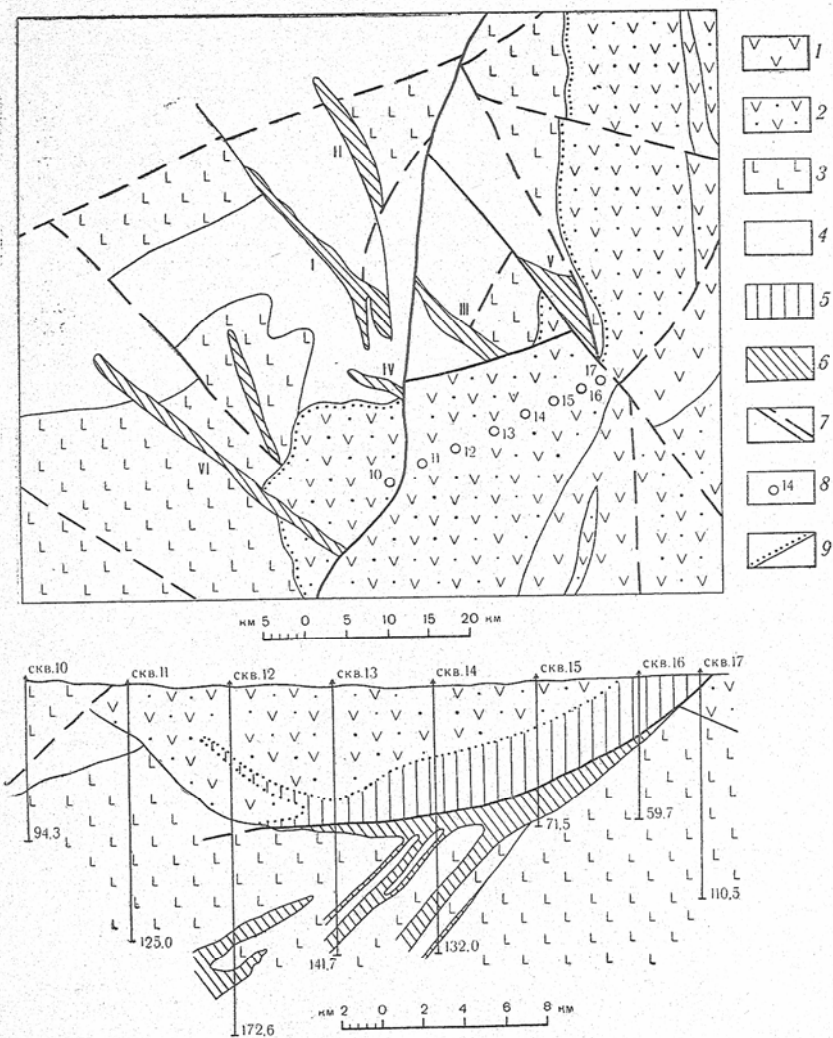


Рис. 3. Схематическая геологическая карта Харпичканского рудопроявления масштаба 1:5000 и геологический разрез по линии буровых скважин масштаба 1:2000, составленные В. С. Сушенцевым

Верхнемеловые образования: 1 — андезиты, 2 — туфы и туфобрекции андезитов; девонские образования: 3 — диабазы, 4 — алевролиты с прослоями песчаников; 5 — интенсивно каолинизированные и пропилитизированные породы; 6 — рудные зоны; 7 — разрывные нарушения (пунктиром показаны предполагаемые разломы); 8 — буровые скважины и их номера; 9 — стратиграфически несогласный контакт

отмечаются следы олова, свинца и меди. Наиболее интересными из восьми рудопроявлений являются «Малютка», «Пакто» и рудопроявление ключа «Обещающего».

Рудопроявление «Малютка» (13) расположено в верховьях р. Харпичканы, в 4 км севернее г. Якучан. На площади рудопроявления развиты окварцованные и каолинизированные андезиты и их туфы амутской свиты. Канавами вскрыто три минерализованные зоны дробления с содержанием ртути до 0,003%. Мощность зон 1—1,5 м, по простирию они не прослежены. Учитывая, что шлихи из делювия содержат киноварь и метациннабарит в количестве до 0,5 кг/м³, есть основание предполагать о наличии на площади рудопроявления еще не скрытых промышленных рудных зон. На рудопроявление «Малютка» ведутся поисково-разведочные работы.

Рудопроявление «Пакто» (21) выявлено в истоках р. Пакто среди гидротермально измененных андезитов и туфов амутской свиты. Представлено оно десятью минерализованными зонами дробления с узкой вкрапленностью киновари. Мощность зон колеблется от 1,5 до 20 м, по простирию некоторые из них прослежены на 0,5—1,5 км. Содержание ртути в зонах не превышает 0,02%.

Рудопроявление кл. «Обещающего» (26) находится в 2 км южнее рудопроявления «Пакто» на левобережье р. Пакто. На его площади выделено пять минерализованных зон дробления, мощностью до 7 м, протяженностью до 1 км. Зоны имеют крутое падение и северо-западное или северо-восточное простирания. Содержание ртути в них не превышает 0,02%.

Рудопроявления (27, 28, 29, 30, 31) на воротаделе Пакто — Харпин, представлены делювиальными свалами брекчированных окварцовых и каолинизированных андезитов и их туфов. В трех из них (27, 28, 30) максимальное содержание ртути равно 0,0008%. В двух других (28, 31), кроме ртути (0,001—0,002%), присутствуют мышьяк (0,06—0,5%) и сурьма (0,006—0,02%).

На всех выявленных рудопроявлениях в верховьях р. Пакто необходима постановка поисково-разведочных работ с применением колонкового бурения и геофизических исследований. Вероятно, что промышленно интересные скопления ртути здесь расположены на границе эфузивного покрова с терригенными отложениями юры, а в современном эрозионном срезе обнажены либо первичные ореолы рассеяния ртути.

Третья площадь с повышенным содержанием киновари и метациннабарита в аллювии, размером около 10 км², находится в бассейне крупного правого притока р. Харпина, впадающего в 3 км ниже устья р. Джолокона. В отличие от двух предыдущих площадей здесь метациннабарит резко преобладает над киноварью. Рассматриваемая площадь располагается внутри крупного (около 24 км²) спектрометаллургического ореола рассеяния ртути (18). Донные осадки в пределах этого ореола содержат ртуть (от 0,00005 до 0,0009%) и изредка олово (0,001—0,5%), свинец (0,001—0,008%), медь (0,006—0,008%).

Четвертая и пятая площади, размерами 10 и 5 км², расположены по левобережью р. Джолокона. В их пределах выделены рудопроявления ключей Горелого и Веселого.

Рудопроявление кл. Горелого (43) находится в верховьях первого от устья притока р. Джолокона среди песчано-сланцевых отложений падалинской свиты, которые перекрыты многочисленными разрывными нарушениями и гидротермально изменены (окваркованы, каолинизированы, опализированы). Содержание ртути в спектропробах из делювия равно 0,00005—0,0003%. В шлихах из делювия содержание киновари и метациннабарита не превышает 50—60 зерен. Канавами пересечены три зоны интенсивно дробленых гидротермально измененных пород, при штрафном опробовании которых содержание ртути не обнаружено. Проходка горных выработок и опробование сильно затруднены заболоченностью участка и большим притоком подземных вод. Поисковые работы здесь необходимо ставить зимой.

Рудопроявление кл. Веселого (49) находится среди песчано-сланцевых отложений горюнской свиты, пересеченные разломами северо-восточного направления. Содержание метациннабарита, реже киновари в шлихах из делювия здесь достигает 5 г/м^3 , а содержание ртути в спектропробах из делювия не превышает 0,01%. Канавами пересечено три минерализованных зоны дробления, содержащих до 0,002% ртути. Содержание ртути в окварцованных тектонических брекчиях по песчаникам и алевролитам, наблюдающихся в аллювии ключа, равно 0,01%.

В пределах Харпин-Харпичиканского шлихового ореола выделяются еще два спектрометаллометрических ореола рассеяния ртути (33, 51). Один из них (51) расположен в истоках р. Лев. Хосоми среди гидротермально измененных песчаников силинской свиты. Содержание ртути в донных осадках в пределах ореола равно 0,0001—0,0008%. Второй ореол (33), площадью около 17 км^2 , расположен в верховьях р. Джолокона. Содержание ртути в пробах донных осадков составляет 0,00005—0,0009%, а в делювии — 0,00003—0,0009%. В пределах ореола выделено пять рудопроявлений ртути (34, 35, 36, 44, 45), представленных делювиальными свалами брекчированных и гидротермально измененных андезитов и туфов амутской свиты. Содержание ртути в этих породах колеблется от 0,001 до 0,004%, а в двух рудопроявлениях (34, 45), кроме того, отмечается наличие сурьмы (до 0,2% и мышьяка до 0,02%).

Близи описанных рудопроявлений в истоках р. Джон-Куакана среди эфузивов кузнецковской свиты установлено еще одно рудопроявление (32), представленное обломками андезито-базальтов с нитевидными прожилками и мелкими гнездами халцедоновидного кварца, содержащего точечную вкрапленность киновари и пирита. Практического значения это рудопроявление не имеет.

К югу от г. Якучан среди песчаников будюрской свиты, пересеченных разломами северо-восточного направления, в делювии (17) наблюдались обломки окварцованных брекчированных песчаников, штуф которых, весом 0,3 кг, содержит 30 зерен киновари. Спектральный анализ дает содержание ртути в этих породах до 0,004%.

Второй шлиховой ореол рассеяния киновари (37), площадью около 12 км^2 , расположжен по правобережью р. Бичи среди гидротермально измененных андезитов амутской свиты, перекрытых базальтами кузнецковской (?) свиты и пересеченных разломами северо-восточного направления. Содержание киновари в аллювии достигает $0,4 \text{ г/м}^3$. В пределах этого ореола расположен спектрометаллометрический ореол рассеяния ртути (38), площадью около 3 км^2 . Содержание ртути в пробах донных осадков колеблется от 0,0001 до 0,0009%. К югу от этих ореолов, в бассейне р. Бичи, расположено еще два спектрометаллометрических ореола рассеяния ртути (39, 42), площадью 5 и 8 км^2 . Содержание ртути в донных осадках в пределах этих ореолов составляет 0,00005—0,009%. Кроме того, отмечается олово, свинец в количестве до 0,008%.

Третий ореол рассеяния киновари (52) оконтурен в истоках р. Сиячки. Контуры его замыкаются западнее границы района. Содержание киновари в аллювии достигает 100 зерен на $0,01 \text{ м}^3$. В южной части ореола расположен спектрометаллометрический ореол рассеяния ртути (55), площадью более 18 км^2 . Контуры его к западу также открыты. Содержание ртути в донных осадках в его пределах равно 0,00005—0,005%. В истоках рек Прав. Хосоми, Сиячки находится еще один спектрометаллометрический ореол рассеяния ртути (53), с содержанием ртути в пробах донных осадков от 0,00005 до 0,0005%. В пределах этих ореолов расположены два рудопроявления ртути. Одно из них (54) находится на водоразделе Сиактали и Прав. Хосоми и представлено минерализованной зоной дробления субширотного простириания, залегающей среди песчаников падалинской свиты. Мощность зоны около 80 м. По простирию она прослежена на расстоянии около 2 км. Содержание ртути в зоне, судя по одному пересечению, равно 0,0001—0,001%. Кроме того, присутствует медь (0,003%) и сурьма (до 0,4%). Второе рудопроявление (56) находится в верховьях р. Сиячки среди песчаников силинской свиты, пересеченных разломами субширотного и северо-восточного направлений, вдоль

которых наблюдаются зоны гидротермально измененных пород. Спектральный анализ штуфных проб из этих зон указывает на наличие ртути в количестве 0,01%.

Четвертый ореол рассеяния киновари и метациннабарита (57) охватывает истоки р. Легдокое и двух правых притоков р. Харпина. На площади ореола, равной 60 км^2 , развиты песчано-сланцевые отложения падалинской и силинской свит, пересеченные многочисленными разрывными нарушениями северо-восточного и субширотного направлений. Содержание киновари и реже метациннабарита в аллювии колеблется от единичных зерен до $0,5 \text{ г/м}^3$. Рассматриваемый шлиховой ореол перекрывается почти равным ему по площади спектрометаллометрическим ореолом рассеяния ртути (59). Содержание ртути в пробах донных осадков и в пробах из делювия в его пределах равно 0,00009—0,006%. На площади ореола выявлено четыре рудопроявления: «Легдокое» (северный), «Легдокое» (западный), «Легдокое» (восточный), рудопроявление на водоразделе Акета и Нукдука — правых притоков р. Харпина.

Рудопроявление «Легдокое» (северный) (58) представлено четырьмя зонами дробления в окварцованных каолинизированных песчаников, мощностью 0,6—16,0 м с узкой вкрапленностью киновари. По простирианию зоны прослежены на 50—150 м. Площадь, занятая ими, составляет $0,65 \text{ км}^2$. Содержание ртути в зонах колеблется от 0,00003 до 0,001%. Кроме того, присутствуют свинец, цинк и медь в количестве от 0,001 до 0,006%.

Рудопроявление «Легдокое» (западный) (60) выражено полосой окварцованных каолинизированных песчаников субширотного направления, шириной 240 м, длиной более 600 м. В пределах этой полосы отмечается множество разрывных нарушений, сопровождающихся зонами дробления, мощностью до 1—2 м, содержащих нитевидные прожилки и вкрапленность киновари и метациннабарита. Одна из таких крутопадающих зон субширотного направления, мощностью 0,6 м и протяженностью более 200 м, судя по одному пересечению, содержит, по данным химического анализа бороздовой пробы, 0,17% ртути. Содержание ртути в штуфных пробах, отобранных по всей ее длине, судя по спектральному анализу, не превышает 0,05%. Во вмещающих гидротермально измененных породах спектральный анализ штуфных проб указывает на наличие ртути в количестве от 0,0003 до 0,05%, а также свинца, цинка и меди от 0,001 до 0,008%.

Рудопроявление «Легдокое» (восточный) (61) установлено при производстве копуш делювия с отбором шлихов. Содержание киновари в них на площади $0,2 \text{ км}^2$ достигает 14 г/м^3 . Спектральный анализ проб из делювия указывает на наличие в них ртути в количестве от 0,00005 до 0,001%.

Рудопроявление на водоразделе Акета и Нукдука — правых притоков р. Харпина (62) представлено зоной окварцованных, каолинизированных лимонитизированных тектонических брекчий с содержанием ртути 0,003%.

На всех рудопроявлениях в бассейнах рек Легдокое и Сиячка сейчас ведутся поисково-разведочные работы.

Пятый и шестой ореолы рассеяния киновари (65, 67) расположены по левобережью р. Харпина в ее среднем течении. Площадь ореола, находящегося в бассейне р. Мал. Делян, равна 5 км^2 , а площадь второго ореола составляет 25 км^2 . Содержание киновари в аллювии в пределах этих ореолов не превышает 50 зерен на $0,01 \text{ м}^3$ промытой породы. В пределах ореолов распространены песчано-сланцевые отложения мезозоя, пересеченные многочисленными разрывными нарушениями северо-восточного направления.

Седьмой ореол рассеяния киновари (66) находится в среднем течении р. Верх. Игдоми. На его площади, размером около 4 км^2 , развиты песчано-сланцевые и кремнистые отложения мезозоя, прорванные разрывными нарушениями и местами гидротермально измененные. Содержание киновари в пробах из аллювия достигает 2 г/м^3 .

Во всех описанных ореолах рассеяния киноварь и метациннабарит наблюдаются в виде окатанных зерен неправильной формы, размером от пылевидных до 0,5—1,0 мм. Киноварь имеет ярко-красный или буровато-красный цвет

с характерным алмазным блеском. Буровато-красный цвет ее обусловлен пленками ржаво-бурых гидроокислов железа. Метациннабарит обычно темно-серый или темно-бурый до черного с полуметаллическим блеском. Совместно с киноварью и метациннабаритом в шлихах встречаются циркон, рутил, лейкоксен, гранат, хромит, эпидот, турмалин, апатит, антаз, ортит, шеелит, монацит, гематит, лимонит, лимонит по пириту, роговая обманка, пироксен, барит, псиломелан. Главными спутниками киновари и метациннабарита являются циркон, рутил, лейкоксен, хромит, лимонит, гематит.

Основная фаза ртутной минерализации в районе связана с газогидротермальной деятельностью позднемелового возраста. Циркуляция газогидротермальных растворов с небольшим содержанием ртути по разломам в кузнецовой свите является как бы отголоском основного этапа рудной минерализации, свидетелем длительной, периодически возобновляющейся гидротермальной деятельности, связанной с глубинным долгоживущим магматическим очагом.

Геологоструктурная обстановка, на фоне которой проявлена ртутная минерализация, на данной стадии изученности района, не вполне ясна. Однако имеющиеся материалы уже позволяют говорить о некоторых рудоконтролирующих факторах, главными из которых являются:

1. Пространственная и парагенетическая связь ртутной минерализации с гидротермально измененными породами типа вторичных кварцитов.

2. Весьма существенная роль в локализации рудных тел разрывных нарушений северо-восточного и северо-западного направлений, по которым происходила циркуляция газогидротерм.

3. Наиболее благоприятными рудовмещающими породами являются песчаники, диабазы и спилиты, а роль экранов для гидротерм в определенных условиях играли пласти каолинизированных туфов и алевролитов. Промышленно интересные скопления рудных минералов следует ожидать, скорее всего, на границе осадочных образований палеозоя и мезозоя с эфузивами амутской свиты.

Отсутствие среди вторичных кварцитов на исследованной территории высокоглиноземистых фаций (корундовой, андалузитовой) и широкое распространение монокварцевой и каолинитовой фаций является весьма положительным фактором, указывающим на возможное наличие в районе промышленных скоплений металлических полезных ископаемых, в частности ртути (Наконник, 1954, 1959).

Сурьма, мышьяк. Проявления сурьмы и мышьяка установлены лишь при спектральном анализе штуфных проб из окварцованных, каолинизированных пород. В большинстве случаев (рудопроявления 29, 31, 34, 45, 54) сурьма (от 0,006 до 0,4%) и мышьяк (от 0,06 до 0,5%) сопутствуют ртути. Однако в двух местах (14, 16) к северу от г. Якутск встречаены дельвиимальные обломки гидротермально измененных туфов андезитов амутской свиты, в которых спектральным анализом установлены сурьма (от 0,01 до 0,05%), мышьяк (от 0,02 до 0,4%) и олово (от 0,001 до 0,02%) без признаков ртутной минерализации.

Практическая ценность проявлений сурьмы и мышьяка неясна.

В целом на территории листа промышленный интерес сейчас представляет только ртуть. Почти все проявления ртути локализуются в пределах харпичанской ртутоносной площади, приуроченной к крупной ртутоносной зоне северо-восточного направления (рис. 4). Эта зона, длиной около 450 км и шириной более 25 км протягивается от верховьев р. Кур через Мяо-Чанской рудный район в истоке р. Им. По обе стороны от нее располагается еще две не менее крупные ртутоносные зоны того же направления. В Комсомольском районе и на прилегающих к нему территориях в эти три зоны, контролируемые региональными разломами северо-восточного направления, группируются все, известные в настоящее время, месторождения и проявления ртути.

Наличие на территории листа в пределах ртутоносной площади, кроме ртути, солевых ореолов рассеяния олова, серебра, меди и цинка, минералы которых шлиховым опробованием не улавливаются, увеличивает перспективы района в смысле его рудоносности. Совместное нахождение олова, серебра,

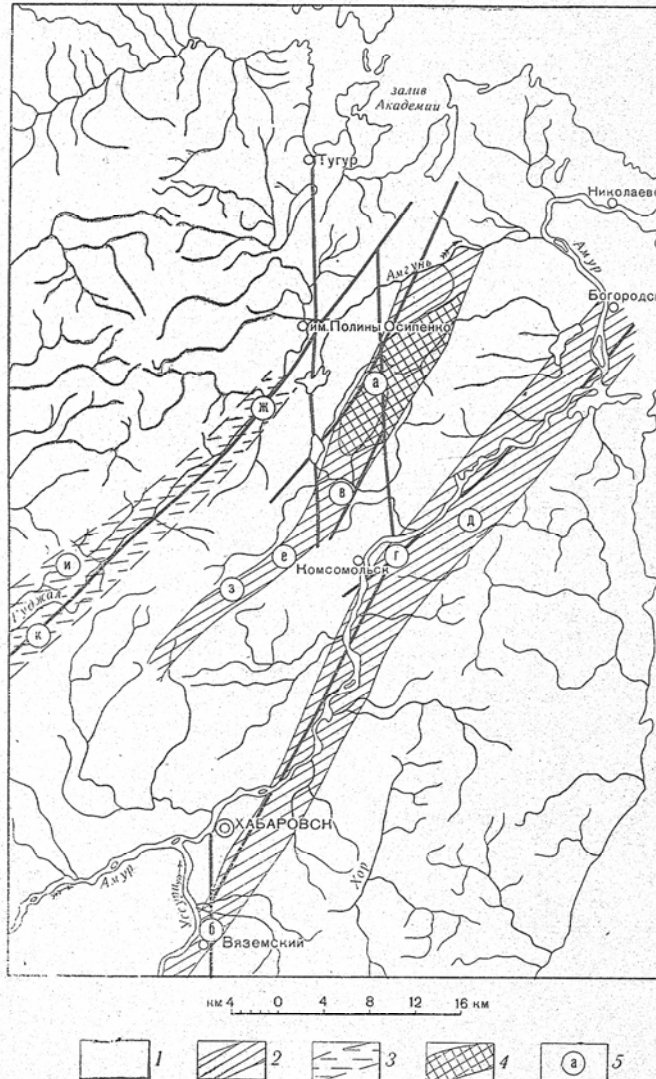


Рис. 4. Схема структурного контроля ртутоносных зон регионального значения. Масштаб 1 : 4 000 000

1 — разломы регионального значения; 2 — ртутоносные зоны регионального значения; 3 — предполагаемое распространение ртутоносных зон; 4 — Харпичанская ртутоносная площадь; 5 — известные месторождения и проявления: а) Харпичанская рудопроявление, б) Вяземское месторождение, в) Северное месторождение, г) Чаваринское месторождение, д) рудопроявление в бассейне р. Шчелкова, е) рудопроявление «Ясное», ж) рудопроявление «Усть-Дукинское», з) рудопроявление «Бранна-Якуньское», и) рудопроявление в верховьях р. Амгуни, к) рудопроявление р. Гуджал

полиметаллов и меди свидетельствует о том, что олово в районе присутствует, по-видимому, в виде сульфастаннатов меди или свинца, станина, франкита, кильлиндриита, тиллита и др.), — весьма неустойчивых в гипогенных условиях. Вероятно, что в бассейнах рек Харпина и Харпичикана, так же как и в Мяо-Чанском рудном районе (Онихимовский, 1962), на глубине, вблизи залегающих там интрузивных массивов, имеются кварцево-турмалиновые и турмалиновые вторичные кварциты, несущие оловянную минерализацию. Ближе к поверхности, особенно в эфузивах амутской свиты, не исключено наличие полиметаллических руд с сульфастаннатами олова. На современном эрозионном уровне обнажены лишь самые крайние низкотемпературные части рудного поля. Учитывая это обстоятельство, при проведении поисковых работ, особенно в верховых р. Пакто, где спектрометаллометрические ореолы рассеяния ртути, серебра, олова и цинка перекрывают друг друга, следует пробурить несколько глубоких скважин. Без этого выяснить перспективы района на олово и полиметаллы невозможно.

НЕМЕТАЛЛИЧЕСКИЕ ПОЛЕЗНЫЕ ИСКОПАЕМЫЕ

В исследованном районе имеются большие запасы глин и строительных камней.

Глины. Наиболее широким распространением пользуются глины осадочного происхождения, слагающие проловиально-делювиальные шлейфы и верхнюю часть аллювиальных отложений в долинах рек Эвура, Харпичикана, Лев. Бичи и Харпина. Мощность глин местами достигает 6 м и более. Специальным исследованиям глины не подвергались, но большинство из них благодаря своей пластичности могут применяться как кирпичные глины.

По левобережью р. Пакто в пониженных заболоченных участках, на площади развития гидротермально измененных туфов андезитов наблюдались монтмориллонитовые первичные глины. Мощность глин достигает 2 м и более. Макроскопически глины желтовато-белого цвета комковатые, в воде не разбухают. Суспензия молочно-белая устойчивая. Рентгеноструктурный анализ глины указывает на наличие в ней монтмориллонита, пирофиллита и минералов из группы каолинита-дикикита. Химический анализ глин следующий (в %): SiO_2 55—60; Al_2O_3 17—27; TiO_2 1,1—1,3; Fe_2O_3 2,6; CaO 0,18—1,66; MgO 0,5—1,4; SO_3 1,2—2,9; п. п. 7—12; Na_2O 0,2—1,0; K_2O 0,35—1,0; H_2O 4,3—5,8. Химический состав глин и способность их не набухать в воде делают их весьма сходными с Са — монтмориллонитовыми глинами, которые могут применяться в качестве адсорбционных глин. Практическая ценность описываемых глин в районе не вполне ясна.

Строительные камни. Разведанных месторождений строительных камней в настоящее время в районе не имеется. При экономическом освоении территории листа в качестве строительного камня могут быть использованы песчаники, андезиты и базальты, запасы которых в районе не ограничены. Среди базальтов несомненно имеются разности, которые можно использовать как петрографическое сырье.

Минеральные источники. На территории листа в настоящее время известны пять источников минеральных вод и газа: «Наймука», «Сухой», «Малютка», «Сюрприз» и «Махровый»*. Все они приурочены к зоне разломов северо-восточного направления, протягивающейся от долины р. Эвура в истоках р. Лев. Бичи (см. рис. 2). Минеральные источники постоянно посещаются дикими животными и были открыты благодаря хорошо протренированным зверевым тропам, веером сходящимся к ним.

Источник «Наймука» (5) находится на левом берегу кл. Наймуки, правого притока р. Харпичикана, в 1,8 км от его устья среди аллювиальной равнины. Источник представлен большим количеством мелких (0,02—0,1 м)

* Источники «Махровый» и «Сюрприз» выявлены в 1960 г. (Осипова, 1961ф, Осипов, 1963ф), а остальные в 1954 г. А. Ф. Шпагиным (Шпагин, 1955).

воронкообразных углублений в глинисто-илистых отложениях, через которые периодически (через 1—2 мин.) происходит выделение минеральной воды и газа. Значительная часть грифонов располагается в русле ключа под водой. Общий дебит воды из грифонов, находящихся на берегу, равен 0,01 л/сек, а газа 0,15 л/сек. На глубине 0,4 м от поверхности дебит газа увеличивается в два раза. Для замера истинного дебита воды и газа источника необходимо провести специальные работы с отводом русла кл. Наймуки. Химический анализ воды (табл. 2) из источника показал, что она углекислая гидрокарбонатная магниево-кальциево-натриевая и по классификации, принятой в СССР, очень сходна с водой известного минерального углекислого источника «Ласточка» в Приморском крае. Химический анализ газа указывает на наличие (в %) CO_2 98,47, O_2 0,28, N_2 1,25. Глина, слагающая воронки вокруг грифонов: воды и газа, по данным спектрального анализа, содержит (в %): Si 10,0; Al 6,9; Mg 0,3—0,6; Ca 0,2—0,4; Fe 3—6; Mn 0,04; Ni 0,002; Ti 0,3; V 0,08; Cr 0,02; Zr 0,008; Be, Y 0,001; Cu, Pb, Ga 0,002; Na 2,0; Ba до 0,1; Sr 0,03. Примерно такой же состав элементов, но несколько в других концентрациях, был получен при спектральном анализе сухого остатка воды.

Источник «Махровый» (19) находится на северной границе плодородия листа в истоках одного из левых притоков р. Лев. Бичи. По характеру выхода на поверхность минеральных вод и газа рассматриваемый источник очень похож на источник «Наймука». Дебит воды в источнике, замеренный в наиболее крупных грифонах, расположенных на берегу ключа, составляет 0,1—0,3 л/сек. Дебит газа не замерялся. Вода источника холодная (+4°C). Химический анализ указывает на принадлежность ее к углекислым гидрокарбонатным магниево-натриевым водам. Состав газа по данным химического анализа следующий (в %): CO_2 43,80; O_2 5,19; $m\text{C}_n\text{H}_{2n+2}$ 2,89; N_2 48,37. Высокое содержание азота указывает либо на глубокое проникновение атмосферного воздуха по тектоническим разломам, либо на некачественный отбор проб. Наличие непредельных углеводородов можно объяснить присутствием в отложениях, содержащих минеральные воды, обуглившегося растительного дегтрята.

Источник «Сухой» (15) расположен на правом берегу правого крупного притока р. Харпичикана, в 1,2 км от его устья среди аллювиальных отложений, перекрывающих базальты кузнецкой свиты, пересеченные многочисленными разрывными нарушениями. Место выхода источника «Сухого» представляет собой торфяниковое болото, размером 30×40 м², вокруг которого расстиляется заболоченная кочкарниковая марь. В центре болота, истоптанного копытами диких животных, отобрана проба воды, химический анализ которой указал, что вода в источнике углекислая гидрокарбонатная кальциево-натриевая. В сухом остатке, по данным спектрального анализа, содержится (в %): Si 10,0; Al 4,0; Mg 0,3; Ca 1,5; Fe 1,0; Mn 0,05; Co 0,004; Ni 0,04; Ti 0,006; Cr 0,001; Mo 0,003; Zr 0,001; Cu 0,003; Ga 0,005; Na 6,0; Be 0,001; Sr 0,05. Замеры дебитов газа и воды в источнике, а также отбор наиболее представительных проб невозможны без специальных работ по осушению болота и расчистке источника.

Источник «Малютка» (12) находится в истоках левого верхнего притока р. Харпичикана и расположен в пойме небольшого ключа среди аллювиальных отложений, которые перекрывают песчано-сланцевые образования хурбинской свиты, разорванные крупным нарушением северо-восточного направления. Гравийно-галечниковые отложения в местах выхода источника покрыты слоем грязи, мощностью 0,2—0,3 м, истоптанной копытами животных. В углублениях копыт, заполненных молочно-белой водой, кое-где выделяются пузырьки газа. Химический анализ воды указывает на принадлежность ее к минерализованным гидрокарбонатно-натриевым водам с незначительной примесью углекислоты. Слабая концентрация солей в воде объясняется, по-видимому разупорожденностью минеральных вод поверхностными и подземными водами, связанными с аллювиальными отложениями.

Источник «Сюрприз» (11) находится на правом берегу долины р. Харпина, в 6 км на северо-восток от г. Якучан. Место выхода источника приурочено к пойме небольшого ключа и представляет собой участок грязи,

Таблица 2

Название минеральных источников	"Наймуга"				"Махровый"				"Сухой"				"Малютка"			
	M_2	$M_2 \cdot \text{экв}$	% $M_2 \cdot \text{экв}$	M_2	M_2	$M_2 \cdot \text{экв}$	% $M_2 \cdot \text{экв}$	M_2	$M_2 \cdot \text{экв}$	% $M_2 \cdot \text{экв}$	M_2	$M_2 \cdot \text{экв}$	% $M_2 \cdot \text{экв}$	M_2	$M_2 \cdot \text{экв}$	% $M_2 \cdot \text{экв}$
Содержание в литре																
Катионы																
Na ⁺	415,0	18,02	39	208,0	9,05	46	217,0	9,43	46	203,5	8,85	76				
K ⁺	8,5	0,22	1	4,6	0,12	55,0	60,0	0,14	6	4,6	0,32	1				
NH ₄ ⁺	1,2	0,07	32	99,7	4,98	25	123,2	6,14	16	0,1						
Ca ²⁺	298,0	14,92	32	5,58	29	56,2	4,62	30	29,0	1,45	13					
Mg ²⁺	155,9	12,89	28	67,8				2,2	14,0	1,15	10					
Итого	878,6	46,08	100	380,1	19,77	100	458,4	20,64	100	252,2	11,57	100				
Анионы																
Cl ⁻	16,0	0,45	1	Нет	—	—	Нет	—	—	Нет	—	—				
SO ₄ ²⁻	2824,3	46,30	99	1211,7	19,70	99	1281,0	21,0	100	73,20	12,00	100				
HCO ₃ ⁻																
Итого:	1428,1	46,75	100	613,3	19,85	100	640,5	21,0	100	36,60	12,0	100				
Жесткость общая																
" карбонатная																
pH				6,1		6,2		6,2		6,2		7,4				
Углекислота св.																
Окисляемость (O ₂)	1388,8															
SiO ₂	15,2															
Сухой остаток при =110°	52,0			2362,0		3,50										
Fe ₂ O ₃	—			—												

* Суммировано 1/2 HCO₃

Продолжение табл. 2

Название минеральных источников	"Наймуга"				"Махровый"				"Сухой"				"Малютка"			
	M_2	$M_2 \cdot \text{экв}$	% $M_2 \cdot \text{экв}$	M_2	$M_2 \cdot \text{экв}$	% $M_2 \cdot \text{экв}$	M_2	$M_2 \cdot \text{экв}$	% $M_2 \cdot \text{экв}$	M_2	$M_2 \cdot \text{экв}$	% $M_2 \cdot \text{экв}$	M_2	$M_2 \cdot \text{экв}$	% $M_2 \cdot \text{экв}$	
Содержание в литре																
Прозрачность																
Цвет	Опалесцирующая															
Запах	Желтоватый															
Осадок	Без запаха															
	Глинистый (значительный)															

площадью около 1000 м², истоптаннойкопытами животных. Мощность слоя гравия равна 0,5—0,8 м, вследствие чего, по-видимому, минеральные воды на поверхность почти не выходят и поэтому не опробованы.

Вышеописанные минеральные источники свидетельствуют об открытии на Дальнем Востоке новой провинции холодных минеральных углекислых вод, бальнеологические свойства которых пока еще не изучены.

ПОДЗЕМНЫЕ ВОДЫ

По условиям залегания среди подземных вод района можно выделить трещинные и трещинно-жильные воды коренных пород, мощность которой по данным скважин, пробуренных в источниках р. Харпичанка на Харпичанском ртутном рудопроявлении, более 40—60 м. В зависимости от литолого-петрографических особенностей пород, вмещающих трещинные воды, последние могут быть подразделены на: 1) трещинные воды осадочных отложений палеозоя и мезозоя, 2) трещинные воды вулканогенных образований мела и кайнозоя.

Выходы подземных вод на дневную поверхность из осадочных отложений палеозоя и мезозоя наблюдаются редко и, как правило, располагаются в источниках ключей. Дебит источников равен 0,07—0,6 л/сек. Вытекают они преимущественно из песчаников, что свидетельствует, вероятно, о большей их водообильности по сравнению с другими осадочными породами. Ключи, протекающие по палеозойским и мезозойским осадочным породам, берут свое начало на низких гипсометрических уровнях, а в засушливое время года сильно мелеют или пересыхают. Это свидетельствует либо о небольших запасах подземных вод в осадочных отложениях, либо связано, скорее всего, с тем, что зона интенсивной трещиноватости в них очень мощная и трещинные воды циркулируют на глубине, не выходя на дневную поверхность. Описываемые воды прозрач-

ны и холодные (+7, +10° С). Химический анализ указывает на принадлежность их к гидрокарбонатным существенно-кальциевым, натриево-кальциевым или магниево-кальциевым водам. Причем магниево-кальциевые воды характерны для терригенно-кремнистых отложений, натриево-кальциевые — для песчаников, а кальциевые наблюдаются среди алевролитовых отложений. Величина сухого остатка в них колеблется в пределах 60—100 мг/л, общая жесткость равна 0,3—0,9 мг·экв/л.

Наиболее водообильными являются эфузивные образования мелового, палеогенового и неогенового возрастов, представленные кварцевыми порфирами, фельзит-порфирами, липаритами, андезитами, их туфами, базальтами и андезито-базальтами. О водообильности этих отложений говорит множество источников трещинных вод, встречающихся в приводораздельных частях хребтов или на хребтах. Дебит источников не превышает 0,1—0,5 л/сек. Вода в них холодная приятная на вкус. Большинство источников дают начало ключам и рекам, которые отличаются значительным расходом воды и многие из них полноводны даже в засушливое время года. В зимний период в верховьях ключей (левые притоки р. Пакто, верховья рек Лимури, Сияни, Харпина и т. д.) образуются наледи, указывающие на непрерывно действующие источники подземных вод. Химический анализ свидетельствует о принадлежности описываемых вод к минерализованным гидрокарбонатным магниево-кальциевым или сульфатно-гидрокарбонатным кальциево-магниевым или кальциево-натриевым. Количество сухого остатка в них 156—312 мг/л, жесткость общая колеблется от 2,19 до 4,25 мг·экв/л.

Трещинно-жильные воды. По химическому составу можно разделить на минеральные и слабо минерализованные. Выходы слабо минерализованных подземных вод, циркулирующих вдоль крупных разрывных нарушений, установлены в истоках левого притока р. Ниж. Джолокона и в междуречье Харпина — Доолдии. В первом случае источник с дебитом 3 л/сек вытекает из зоны интенсивно раздробленных развалцованных алевролитов падалинской свиты, мощностью около 40 м. Химический анализ воды из этого источника указывает на принадлежность ее к гидрокарбонатно-кальциевым с сухим остатком в количестве 80 мг/л. Жесткость общая равна 0,9 мг·экв/л.

Формула химического состава воды по Курлову: $M_{0,08} \text{Ca}_{59} \text{Mg}_{15} \text{Na}_{14} \text{HCO}_3^{100}$

Второй источник «Сохатинский» расположен среди покрова олигоценовых липаритов и их туфов вблизи разрывного нарушения субширотного направления. Дебит источника равен 3,65 л/сек.*. Вода в источнике холодная (+5, +7° С), прозрачна или слегка опалесцирующая, без цвета и запаха, очень приятна на вкус. Источник посещают дикие животные. Химический анализ указывает на то, что вода является гидрокарбонатно-натриево-кальциевой. Сухой остаток равен 67,5 мг/л, а жесткость общая 0,26 мг·экв/л. Формула

химического состава воды по Курлову: $M_{0,06} \text{Ca}_{4,4} \text{Na}_{3,5} \text{K}_8 \text{HCO}_3^{100}$

Порово-пластовые воды. Наибольшие запасы подземных вод заключены в аллювиальных отложениях долин современных рек и особенно в обширных аллювиальных равнинах, в долинах рек Эвуря, Харпичикана, Харпина, Боктора и Бичи. Накопление подземных вод в рыхлых четвертичных образованиях происходит благодаря их довольно однородному песчано-гравийно-галечниковому или песчано-гравийному составу, сравнительно большой (более 30 м) мощности и обширностям сложенных ими равнин.

На исследованной территории в пределах аллювиальных равнин не имеется ни скважин, ни глубоких колодцев, поэтому о мощности и глубине залегания водоносных горизонтов в настоящее время сказать конкретно ничего нельзя. В пределах Харпинской Мари Я. М. Грайсманом (1955ф) буровыми скважинами был установлен водоносный горизонт, залегающий на глубине

1—1,5 м от поверхности. Мощность этого водоносного горизонта, сложенного песчано-гравийным и песчаным материалом, более 8 м. Воды слабо напорные. Кровлей служит суглинок с галькой и гравием.

Наличие мощного водоносного горизонта с напорными водами весьма вероятно в долине р. Харпина, где верхняя часть аллювиальных отложений представлена глинами и суглинками с линзами песков, а нижняя — гравийно-галечниковым и песчаным материалом, который часто обнажается вблизи бортов речной долины. Через него проходит инфильтрация основной массы атмосферных осадков в более глубокие горизонты аллювиальных отложений. Первый водоносный горизонт в долине р. Харпина, к югу от р. Джолокона, залегает, вероятно, на глубине более 4 м, т. е. ниже глинистых отложений, которые являются его кровлей. В бассейне р. Боктора первый водоносный горизонт можно ожидать сравнительно неглубоко, возможно, в 1,5—3 м от поверхности. Воды первого водоносного горизонта здесь, вероятно, будут иметь повышенные концентрации железа. На это указывает интенсивная окислительность аллювиальных отложений поймы и первой надпойменной террасы, среди которых циркулируют воды первого горизонта.

Выходы вод аллювиальных отложений на дневную поверхность весьма редки. Установлены они только в верховьях рек Харпичикана и Харпина в виде нисходящих источников с дебитом 0,1—0,2 л/сек, которые заболачивают поверхность или образуют потоки с едва заметным течением. Химический анализ воды указывает, что она гидрокарбонатно-кальциевая очень мягкая. Сухой остаток равен 71 мг/л, а жесткость общая не превышает 0,71 мг·экв/л.

На наличие подземных вод в аллювиальных отложениях современной гидросети района указывают также многочисленные бурые вспучивания (гидролакколиты), диаметром по 15—20 м, наблюдающиеся в верховьях рек Харпина и Харпичикана. Формирование гидролакколитов происходит зимой при постоянном подтоке подземных вод. Некоторые гидролакколиты за короткое, хотя и жаркое лето растаять не успевают и являются как бы «островками» многолетней мерзлоты.

Подземные воды, залегающие в толще элювиально-делювиальных отложений, фиксируются в виде нисходящих источников, с дебитом 0,05—0,1 л/сек, у подошвы склонов речных долин, на их склонах и реже на гребнях в глубоких седловинах. Химический анализ воды из источника, расположенного на Харпин — Харпичиканском водоразделе среди песчано-сланцевых отложений мезозоя показал, что она гидрокарбонатно-кальциевая слабо минерализованная. Сухой остаток равен 73,6 мг/л, а жесткость общая 0,48 мг·экв/л. Большинство источников подземных вод, залегающих среди элювиально-делювиальных отложений, функционируют преимущественно в периоды дождей и практического значения для водоснабжения не имеют.

Описываемый район находится в области распространения островной многолетней мерзлоты с преобладанием таликов. Поэтому многолетняя мерзлота существенного влияния на формирование и движение подземных вод, по-видимому, не оказывает. Наличие ее в районе способствует лишь образованию верховодки, особенно в областях распространения аллювиальных равнин, поверхности которых на обширных площадях покрыты заболоченными марами.

Территория листа вполне обеспечена водой, пригодной для питьевых и технических целей. Основным источником водоснабжения населенных пунктов и предприятий могут служить порово-пластовые воды аллювиальных отложений и трещинно-жильные воды коренных пород.

Весьма важным для Хабаровского края является открытие на исследованной территории источников минеральных углекислых вод, расположенных в непосредственной близости от города Комсомольска-на-Амуре. Уже в настоящее время эти источники могут быть использованы для лечебных целей, но необходимо проведение работ по изучению их дебита и бальнеологических свойств.

* Замер дебита источника производился в период длительной засухи.

ЛИТЕРАТУРА

Опубликованная

Бельтенев Е. Б., Савченко А. И. и др. Геологическая карта СССР масштаба 1 : 200 000, серия Нижне-Амурская, лист М-54-I. Объяснительная записка. Госгеолтехиздат, 1960.

Бельтенев Е. Б., Исакова А. И. Геологическая карта СССР масштаба 1 : 200 000, серия Нижне-Амурская, лист М-53-XII. Объяснительная записка. Госгеолтехиздат, 1960.

Берсенев И. И., Морозова В. Р. и др. Нов. данные по стратиграфии аллювиальных, озерно-аллювиальных и озерных четвертичных отложений Приморья и Среднего Приамурья. «Советская геология». 1962, № 9. Заваринский А. Н. Изверженные горные породы. Изд-во АН СССР, М., 1956.

Зытнер И. Я. и др. Геологическая карта СССР масштаба 1 : 200 000, серия Нижне-Амурская, лист М-53-XI. Объяснительная записка. Госгеолтехиздат, 1960.

Красный Л. И. Основные вопросы тектоники Хабаровского края и Амурской области. Мат-лы ВСЕГЕИ, нов. серия, вып. 37, Л. 1960.

Наковник Н. И. Вторичные кварциты, их минеральные фации, генезис и практическое значение. Изв. АН СССР, серия геологич. № 1, 1959.

Наковник Н. И. О «новом» взгляде на вторичные кварциты, о гидротермально измененных породах и вопросах с ними связанных. Отдельный выпуск из «Известий АН Армянской ССР» (серия геологическая и географическая), том XII, № 1, 1959.

Наковник Н. И. Вторичные кварциты. Сб. статей под редакцией Н. Н. Курека. Госгеолтехиздат, 1954.

Онихимовский В. В. Еще раз о вторичных кварцитах. «Советская геология», 1962, № 4.

Осипова Н. К. Геологическая карта СССР масштаба 1 : 200 000 серия Нижне-Амурская, лист М-53-XVII. Объяснительная записка. Госгеолтехиздат, 1962.

Павловский Е. В., Ефремов И. А. Геологический очерк западной половины Озера района Приамурья. Тр. совета по изучению производительных сил, серия Дальневосточная, АН СССР, вып. 1, Л. 1933.

Плахотник В. Г. Стратиграфия верхнемеловых и кайнозойских вулканогенных образований Северо-Восточного Сихотэ-Алиня. «Советская геология», 1962, № 3.

Савченко А. И. Мезозой Северного Сихотэ-Алиня и Нижнего Приамурья. «Советская геология», 1962, № 12.

Фондовая

Бельтенев Е. Б. Геологическое строение и полезные ископаемые северо-восточной, юго-западной и юго-восточной частей площади листа М-53-XII. Фонды ДВГУ, 1958.

Головко Б. А., Колчин А. Д. Отчет о результатах аэрофотосъемочных работ Эвурской партии за 1959 г. Фонды ДВГУ, 1960.

Грайсман Я. М. и др. Отчет о геологосъемочных и поисковых работах масштаба 1 : 1 000 000, проведенных партиями 3 и 16 в 1954 г. Фонды ДВГУ, 1959.

Калимбеков Б. А. и др. Геология, гидрогеология и полезные ископаемые среднего течения р. Бичи, лист N-54-XXXI за 1958—1959 гг. Фонды ДВГУ, 1960.

Иванов Н. В. Отчет о результатах работ аэромагнитной партии 7 за 1953—1954 гг. Фонды ДВГУ, 1955.

Изох Э. П. и др. Металлогения Северного Сихотэ-Алиня и Левобережья р. Амура. Фонды ДВГУ, 1962.

Колодезный О. Ф., Евтушенко В. А. и др. Геологическое строение и полезные ископаемые бассейна рек Солонки, Льянчи и Сивой. Фонды ДВГУ, 1963.

Николаев С. Я. Отчет Бокторской геологосъемочной партии 353 о геологических исследованиях в бассейне р. Боктора в 1951 г. Фонды ДВГУ, 1952.

Осипова Н. К., Осипов Н. Г. Геологическое строение и полезные ископаемые северной части площади листа М-53-VI. Фонды ДВГУ, 1961.

Осипова Н. К. Геологическое строение и полезные ископаемые юго-западной части площади листа М-53-VI. Фонды ДВГУ, 1962.

Осипова Н. К. Геологическое строение и полезные ископаемые юго-восточной части площади листа М-53-VI. Фонды ДВГУ, 1963.

Осипов Н. Г. Геологическое строение и полезные ископаемые бассейна верхнего течения р. Харпичикана. Фонды ДВГУ, 1962.

Осипов Н. Г., Матвеев Б. Г. Геологическое строение и полезные ископаемые бассейна верхнего течения р. Харпина. Фонды ДВГУ, 1963.

Осипов Н. Г. Геологическое строение территории листа М-53-IV. Фонды ДВГУ, 1960.

Саврасов Н. П. Геологические исследования в бассейне верхнего течения р. Бичи в 1944 г. Фонды ДВГУ, 1945.

Савченко А. И. Геология центральных районов Хабаровского края. Фонды ДВГУ, 1961.

Сущенцов В. С., Лукашов Л. М. Проект поисково-разведочных работ на ртуть в Комсомольском районе Хабаровского края на 1963—1964 гг. (Харпичиканская партия). Фонды ДВГУ, 1963.

Тоноян Р. М., Кянно А. И. и др. Геологическое строение и полезные ископаемые юго-восточной части площади листа N-53-XXXVI. Фонды ДВГУ, 1963.

Шапочка И. И., Диценко С. И., Казачихина А. И. Отчет о результатах аэромагнитных работ Амгуинской партии за 1958—1960 гг. Фонды ДВГУ, 1960.

Шкляев П. Д. Геологическое строение верхнего течения рек Лимури и Пильда. Фонды ДВГУ, 1952.

Шпагин А. Ф., Альбов Ю. А. и др. Геологическое строение и полезные ископаемые бассейна нижнего течения р. Горюн. Фонды ДВГУ, 1955.

ПРИЛОЖЕНИЕ 1

**СПИСОК МАТЕРИАЛОВ, ИСПОЛЬЗОВАННЫХ ДЛЯ СОСТАВЛЕНИЯ
КАРТЫ ПОЛЕЗНЫХ ИСКОПАЕМЫХ**

№ п/п	Фамилия и инициалы автора	Название работы	Год состав- ления или издания	Местонахождение материала, его фондовый № или место издания
1	Николаев С. Я.	Отчет Бокторской геологосъемочной партии № 353 о геологических исследованиях в бассейне р. Боктора в 1951 г.	1952	Фонды ДВГУ, № 06073
2	Осипова Н. К., Осипов Н. Г.	Геологическое строение и полезные ископаемые северной части площади листа М-53-VI	1961	Фонды ДВГУ, № 08874
3	Осипова Н. К.	Геологическое строение и полезные ископаемые юго-западной части площади М-53-VI	1962	Фонды ДВГУ, № 09218
4	Осипова Н. К.	Геологическое строение и полезные ископаемые юго-восточной части площади листа М-53-VI	1963	Фонды ДВГУ, № 09799
5	Осипов Н. Г.	Геологическое строение и полезные ископаемые бассейна верхнего течения р. Харпичикана	1962	Фонды ДВГУ, № 09273
6	Осипов Н. Г., Матвеев Б. Г.	Геологическое строение и полезные ископаемые бассейна верхнего течения р. Харпина	1963	Фонды ДВГУ, № 09756

ПРИЛОЖЕНИЕ 2
СПИСОК ПРОЯВЛЕНИЙ ПОЛЕЗНЫХ ИСКОПАЕМЫХ, ПОКАЗАННЫХ НА ЛИСТЕ М-53-VI КАРТЫ ПОЛЕЗНЫХ ИСКОПАЕМЫХ МАСШТАБА 1 : 200 000

№ по карте	Индекс клетки на карте	Название (местонахождение) полезного ископаемого	Характеристика проявления	№ исполь-зованного материала по списку (прил. 1)	Примечание
1	1-1	М е д ь Северо-западные отроги хр. Таркан	Спектрометаллометрический ореол рассеяния. В аллювии содержание меди до 0,02%	2	
3	1-1	Бассейн левых притоков р. Эвурда	Спектрометаллометрический ореол рассеяния. В аллювии содержание меди 0,02—0,06%	2	
2	1-1	Ц и н к Бассейн левых притоков р. Эвурда	Спектрометаллометрический ореол рассеяния. Аллювий содержит Zn 0,01—0,03%, Sn 0,001—0,08%, Cu 0,006—0,02%, Pb 0,001—0,03%	2	
8	1-2	Верховья р. Харпина	Спектрометаллометрический ореол рассеяния. В рыхлом деловиальном материале содержание Zn _{II} до 0,1%	2	
25	1-3	Бассейн среднего течения р. Пакто	Спектрометаллометрический ореол рассеяния. В рыхлом деловиальном материале Zn _{II} содержится в количестве 0,03—0,1%	2	
14, 16	1-2	М а ш ь я к, с у р ь м а Правобережье р. Харпина	Свалы гидротермально измененных туфов и туффобрекций порфириитов, содержание Sb до 0,05%, As 0,02—0,4%, Sn 0,001—0,02%	2	
20	1-3	С е р е б р о Верховья р. Пакто	Спектрометаллометрический ореол рассеяния. В рыхлом деловиальном материале содержание Ag до 0,00001%.	2	
22, 23	1-3	Водораздел Харпина и Лев. Бичи	Спектрометаллометрический ореол рассеяния. В рыхлом деловиальном материале содержание Ag до 0,00001%.	2	
48	11-3	Бассейн левых притоков р. Ниж. Джолокона	Спектрометаллометрический ореол рассеяния. В рыхлом деловиальном материале содержание Ag до 0,001%	4	
64	111-3	Правобережье р. Боктора	Спектрометаллометрический ореол рассеяния. В рыхлом деловиальном материале содержание Ag до 0,003%	4	
50	11-3	Левая Джолокон	Спектрометаллометрический ореол рассеяния.	4	
9	1-2	О л о в о Харпин-Харничиканский водораздел	Спектрометаллометрический ореол рассеяния. В аллювии олово содержится до 0,5%, в рыхлом деловиальном материале 0,006—0,4%	2	

Продолжение прилож. 2

№ по карте	Индекс кластера на карте	Название (местонахождение) проявления и вид полезного ископаемого	Характеристика проявления	№ исполь- зованного материала по списку (прилож. 1)	Примечание
24	1-3	Бассейн среднего течения р. Пакто	Спектрометаллометрический рассеяния. В рыхлом деловиальном материале содержание Sn до 0,006— 0,5%	2	
40	1-4	Левобережье р. Мал. Бичи и верховья правого притока р. Боктора	Спектрометаллометрический рассеяния. В аллювии и в рыхлом деловиальном материале содержание Sn до 0,08%, Pb до 0,008%, Zn 0,09%	2	
41	1-4	Ворховья р. Бичи	Спектрометаллометрический рассеяния. В аллювии и в рыхлом деловиальном материале содержание Sn до 0,4%	2	
47	11-3	Водораздел р. Джолокон	Спектрометаллометрический рассеяния. В аллювии содержание Sn до 0,04%	4	
63	111-2	Бассейн левого притока р. Лев. Хосомы	Спектрометаллометрический рассеяния. Содержание олова в ал- лювии до 0,3%	4	
46	11-3	Ураин Водораздел Джолокона и Нижнего Джолокона	Обломки гидротермально изменен- ных песчаников содержат U 0,003%	2, 4	Проделено детальное обследование с радио- метром СРГ-2 и назем- ные горные работы
68	IV-2	Верховья р. Мал Делян	В гидротермально измененных спи- литах содержание урана до 0,014% и P ₂ O ₅ до 6,45%	3, 4	Проведены гамма- и эмиссионная съемка на площади 3 км ² и назем- ные горные работы
6	1-2	Хартичанское	Шесть рудных зон длиной 50— 100 м при ширине 20—30 м с содер- жанием Hg до 5%	5	
7	1-2	Кл. Надежный	В деловии содержание Hg до 0,2%	5	
13	1-2	«Малотка»	Три минерализованных зоны дробле- ния шириной 1—1,5 м с содержанием до 0,003%	5	
17	1-2	Район г. Якутск	Обломки брекчированных песчани- ков с содержанием Hg 0,004%	2	
21	1-3	«Пакто»	10 минерализованных зон мощ- ностью 1,5—2,0 м с содержанием Hg до 0,02%	2	Проведены детальные поисковые работы мас- штаба 1:10 000 на пло- щади 3 км ²
26	1-3	Кл. Обенгацкий	Пять минерализованных зон мощ- ностью до 7 м, содержащих Hg до 0,02%	2	Проведены детальные поисковые работы мас- штаба 1:10 000 на пло- щади 13 км ²
	28, 29	Водораздел Харпин-Пакто	Обломки гидротермально изменен- ных* пород с содержанием Hg до 0,0008%	2	Произведения не изуча- лись

* Пол. гидротермально измененными породами здесь и дальше понимаются породы типа вторичных кварцитов

Продолжение прилож. 2

№ по карте	Индекс кластера на карте	Название (местонахождение) появления и вид исследованного исключаемого	Характеристика проявления	№ использо- ванного материала по списку (прил. 1)	Примечание
					Проведены поисковые работы масштаба $1:10000$ на площа- ди $3,6 \text{ км}^2$
29, 31	I-3	Водораздел Харпин-Пакто	Свалы гидротермально измененных пород с содержанием Hg до 0,002%, As до 0,5%, Sb до 0,02%	2	
32	I-3	Правобережье р. Джон-Кужана	Обломки и свалы андезито-базальтов, пересеченные интрузиями прожилками халицонового кварца, содержащего точечную вкрапленность киновари. В шлифе из протолочки штуфа, весом 100 г — единичные зерна киновари, ильменит, пирит, кварц	2	
34	I-3	Верховье р. Джолокона	Деловидные высыпки брекчированных порфиритов, содержащих Hg 0,002%, 0,02%, Sb 0,01%	2	
35, 36	I-3	Верховья р. Джолокона	Обломки гидротермально измененных пород с содержанием Hg до 0,002%	2	
43	II-2	Кл. Горелый	Содергражание ртути в рыхлом деловидном материале гидротермально измененных пород до 0,0003%	2	
44	II-3	Верховья р. Джолокона	Обломки гидротермально измененных эфузивов с содержанием Hg до 0,002%	2	
45	II-3	Верховья р. Джолокона	Обломки брекчированных окварцированных песчаников, содержащих Hg 0,004%, Sb 0,2%	2	
49	II-3	Кл. Веселый	Три минерализованных зоны дробления с содержанием Hg 0,002—0,01%	4	Проведены поисковые работы масштаба $1:10000$ на площа- ди $3,2 \text{ км}^2$
54	III-1	Водораздел Снектали и Прав. Хосоми	Минерализованная зона дробления протяженностью более 1 км, мощностью около 80 м с содержанием Hg 0,0001—0,001%, Sb до 0,4%, Cu 0,003%	3	
56	III-1	Верховья р. Сникочи	Обломки гидротермально измененных тектонических брекчий с содержанием Hg 0,01%	3	Проведены поиско- вые работы масштаба $1:10000$ на площа- ди 5 км^2
58	III-1	Легдокое (северный)	Четыре минерализованных зоны дробления мощностью от 0,6 м до 16 м с содержанием Hg до 0,001%, Pb, Zn, Cu 0,001—0,006% и Sn 0,001%	3	
60	III-1	Легдокое (западный)	Минерализованная зона, прослеженная по просекам на 200 м, содержит Hg до 0,17%, Pb 0,001—0,002%, Zn 0,004—0,006%, Cu 0,001—0,02%, Sn 0,001%	3	
61	III-1	Легдокое (восточный)	Содержание ртути в рыхлом деловидном материале до 0,001%	3	

№№ по карте	Индекс клетки на карте	Название (местонахождение) проявления и вид последнего ископаемого	Характеристика проявления	№ исполь- зованного материала по списку (прил.к. 1)	Примечание
62	III-1	Водораздел Акета и Нуку- ка	Обломки видоизменен- ных пород. Содержание Hg в штуфе 0,003%	3	
4	I-1; I-2; I-3; II-2; II-3	Харпин-Харничиканское	Шлиховой ореол рассеяния. Аллю- вий рек Харпина, Харничикана и да- же самых малых их притоков со- держит киноварь и метадиннабарит до 14 г/м³	2, 3, 4, 5, 6	
37	I-4	Правобережье р. Бичи	Шлиховой ореол рассеяния. В ал- лювиальном содржании киновари «лосы» гает 0,4 г/м³	2	
52	III-1	Верховья р. Сиякочи	Шлиховой ореол рассеяния. В ал- лювиальном содржании киновари до 125 зерен на шлих	3	
57	III-1	Верховья рек Легдоке и Нукдукы	Шлиховой ореол рассеяния. В ал- лювиальном содржании киновари до 0,5 г/м³		
65	III-2	Бассейн р. Осыктакая	Шлиховой ореол рассеяния. Содер- жание киновари до 50 зерен на шлих		
66	III-4	Бассейн левого притока р. Верхней Игдомы	Шлиховой ореол рассеяния. В ал- лювиальном содржании киновари до 2 г/м³		
67	IV-2	Бассейн левых притоков р. Бол. Дельяна	Шлиховой ореол рассеяния. В ал- лювиальном содржании киновари до 10 зерен	4	
10	I-2	Бассейн верхнего течения р. Харпина и р. Пакто	Спектрометаллометрический ореол рассеяния. В аллювии содержание рутти до 0,006%		
18	I-2	Харпин-Харничиканский водораздел	Шлиховой ореол рассеяния. Содер- жание рутти в аллювии до 0,009%, олова до 0,5%, Pb до 0,008%, Cu до 0,008%	2, 3	
33	I-3	Верховья р. Джолокона	Спектрометаллометрический ореол рассеяния. В аллювии и в рыхлом делювиальном материале содержание Hg до 0,0009%, As < 0,001%	2, 6	
38	I-4	Правобережье р. Бичи	Спектрометаллометрический ореол рассеяния. В аллювии правого при- тока р. Бичи содержание Hg до 0,0009%, Pb 0,001—0,008%	2	
39	I-4	Правобережье р. Бичи	Спектрометаллометрический ореол рассеяния. Содержание ртуты в ал- лювии до 0,0009%, Sn, Pb до 0,008%	2	
42	I-4	Верховья правого притока р. Бичи	Спектрометаллометрический ореол рассеяния. Содержание ртуты в ал- лювии до 0,0009%, Sn, Pb до 0,008%	2	
51	II-3	Верховья р. Лев. Хосома	Спектрометаллометрический ореол рассеяния. В аллювии содержание рутти до 0,0008%	4	

№№ по карте	Индекс клетки на карте	Название (местонахождение) проявления и вид полезного ископаемого	Характеристика проявления	№ исполь- зованного материала по списку (прил. 1)	Примечание
53	III-1	Бассейн левой составляющей р. Прав. Хосоми	Спектрометаллометрический ореол рассеяния. В аллювии содержание Hg до 0,0005 %	3	
55	III-1	Верховья р. Сиякочи	Олекрометаллометрический ореол рассеяния. В рыхлом дельвиальном материале и в аллювии содержание Hg до 0,006 %		
59	III-1	Верховья рек Легдокес и Нуткуки	Спектрометаллометрический ореол рассеяния. В аллювии и рыхлом дельвиальном материале содержание Hg до 0,006 %		
5	1-1	Минеральные источники	Многочисленные грифоны в русле ключка с общим дебитом минераль- ной воды 0,01 л/сек	2	
19	1-3	Р. Лез. Бичи, источник Мах- ровый	То же с общим дебитом минераль- ной воды 0,1—0,3 л/сек	2	
15	1-2	Правый приток р. Харнич- кан, источник Сухой	Небольшое болото с минеральной водой среди торфяной мари	2	
12	1-2	Левый приток р. Харничкан, источник Маджотка	Просачивание минеральной воды из аллювиальных отложений	2	
11	1-2	Правый борт долины р. Хар- ничкан, источник «Сюрприз»	Просачивание (?) минеральной во- ды из аллювия	2	

СОДЕРЖАНИЕ

Введение	3
Стратиграфия	6
Интузивные образования	27
Тектоника	33
Геоморфология	38
Полезные ископаемые	51
Подземные воды	55
Литература	58
Приложения	61

Стр.

Редактор издательства *Е. Я. Соколовская* Техн. редактор *В. В. Романова*
Корректор *Т. М. Столярова*

Подписано в печать 1/IV 1970 г.
Формат 60×90¹/₁₆. Печ. л. 4,75 с 1 вкл. Уч.-изд. л. 7,6
Тираж 100 экз. Заказ № 05253

Издательство «Недра»
Ленкартфабрика ВАГТ

Таблица 1

№ п/п	Название породы	Н. К. Основа, номер образца	Весовые содержания													Числовые характеристики													
			SiO ₂	TiO ₂	Al ₂ O ₃	Fe ₂ O ₃	FeO	MnO	MgO	CaO	K ₂ O	Na ₂ O	P ₂ O ₅	SO ₃	CO ₂	H ₂ O ⁺ (H ₃ O ⁻)	z	a	c	b	S	c'	a'	m'	f'	n	t	φ	Q
1	Гранодиорит-порфир	9076	61,26	0,55	17,71	1,55	3,54	0,07	1,45	2,84	4,00	4,50	0,22	—	1,34	1,62 (0,08)	100,65	16,09	3,57	8,47	71,87	—	13,22	29,75	57,02	63,48	0,68	15,7	7,99
2	Гранодиорит-порфир	8983	62,40	0,48	16,00	5,21	1,26	0,07	2,00	3,84	3,84	3,70	0,24	0,01	0,36 (1,30) (1,11)	100,10	13,1	4,3	9,9	72,7	4,9	—	35,2	59,9	63,4	0,57	46,9	14,9	
3	Гранит-порфир	8837-12	76,83	0,12	11,94	0,40	1,65	0,02	0,23	0,06	4,51	4,04	0,02	0,01	0,36 (0,06)	0,42	100,61	14,65	0,07	2,65	82,63	—	14,63	14,63	70,73	57,71	0,08	14,63	35,89
4	Роговообманковый андезит	47	60,05	0,91	16,46	5,81	0,45	0,11	3,84	4,39	2,81	3,71	—	—	—	1,26 (1,76)	99,87	12,4	4,9	12,5	70,7	3,8	—	52,4	43,6	66,3	1,1	39,8	11,2
5	Биотит-пироксеновый кварцодержащий андезит	9003	60,02	0,9	16,89	2,75	3,82	0,14	1,26	3,46	3,46	3,80	0,44	—	1,79 (0,00)	1,73	100,46	13,93	4,43	9,50	72,14	—	9,77	23,31	66,92	62,56	1,09	25,56	11,99
6	То же	9006	58,61	0,9	16,97	2,28	4,84	0,13	2,19	4,07	2,8	3,65	0,44	—	1,92 (0,02)	1,65	100,45	12,72	5,15	11,58	70,55	—	6,79	33,95	59,26	66,29	1,11	17,28	10,51
7	Диоритовый порфирит	1216	59,49	0,8	17,11	3,68	1,78	0,14	2,92	4,96	2,41	4,78	—	—	—	1,83 (0,28)	99,99	14,1	4,6	11,5	69,6	12,6	—	43,4	43,9	75,3	1,0	27,7	6,6
8	Кварцево-диоритовый порфирит	51	61,78	0,64	17,79	3,19	1,23	0,14	2,79	5,01	2,40	4,09	—	—	—	0,68 (1,12)	99,83	12,5	5,9	9,2	72,2	3,0	—	52,2	44,7	72,2	0,7	30,3	13,7
9	Гранодиорит-порфир	778	66,89	0,56	15,34	2,28	1,59	0,06	1,73	4,62	2,03	4,17	—	—	—	0,42 (0,13)	99,96	12,00	4,2	7,7	76,0	17,5	—	37,7	47,7	75,8	0,6	24,5	23,9

Зак. 05253